

PRUŽNOST A PEVNOST (132PPA)

2+2 Z, ZK

Doporučená literatura:

Šejnoha J., Bitnarová J.: **Pružnost a pevnost,**
ES ČVUT, 2006

Bitnarová J. a kol.: **Pružnost a pevnost –**
příklady, ES ČVUT, 2006

Šejnoha J., Bitnarová J.: **Pružnost a pevnost 20,**
ES ČVUT, 2003

Bitnarová J. a kol.: **Pružnost a pevnost 20 –**
příklady, ES ČVUT, 2004

ÚVOD

Cíl předmětu

Určit

- přetvoření
- napjatost

v konstrukci od vlivu zatížení

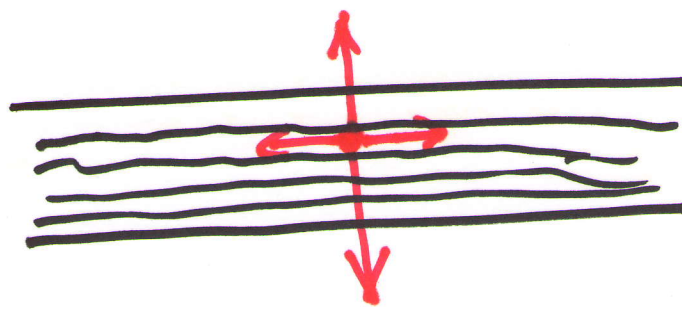
Nutno uvažovat **těleso poddajné**, nikoli dokonale tuhé (jako např. při výpočtu reakcí).

Teorie pružnosti: určit posunutí všech bodů tělesa

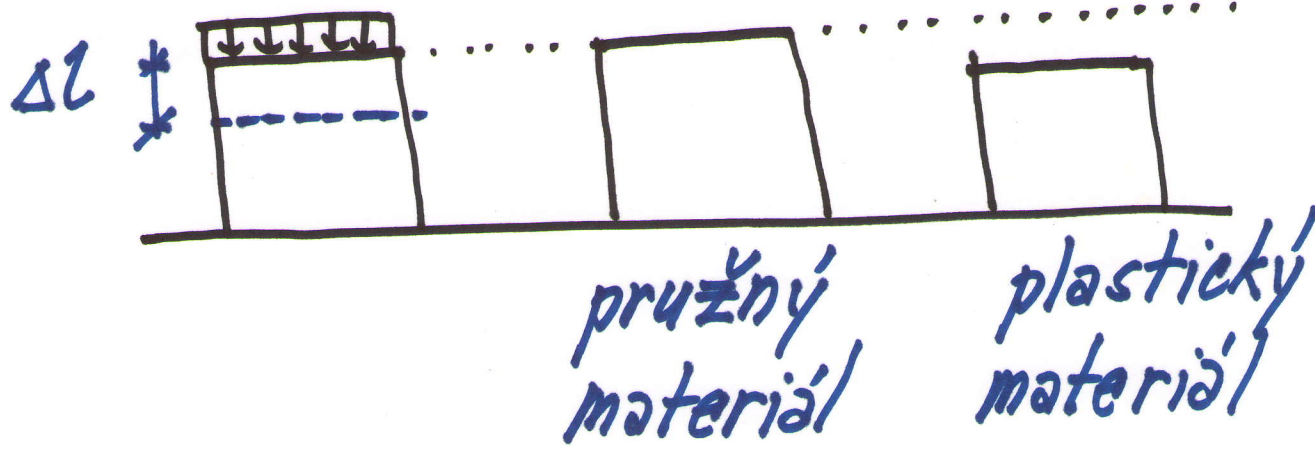
Nauka o pevnosti: určit napětí a jejich meze podle druhu materiálu

Základní předpoklady

- Kontinuum... těleso je souvisle vyplněno hmotou
(ocel, dřevo, beton - uspokojivý předpoklad zeminy, kompozity - nevyhovující).
- Homogenní materiál: vlastnosti stejné ve všech bodech.
- Izotropní materiál: vlastnosti stejné ve všech směrech
(opakem je anizotropie, zvláštní případ je ortotropie).
- Elementární vnitřní sily jsou spojité rozloženy v kontinuu – umožní definovat napětí.
- Dokonale pružný materiál – těleso se po odtízení vrátí do původního tvaru (vznik trvalých deformací ► teorie plasticity).



ortotropie



- Statické působení – zatížení roste nekonečně pomalu (neuplatní se setrvačné síly). Disciplina zabývající se vlivem setrvačných sil ► dynamika.
- Vliv času se neuvažuje (pokud je třeba uvážit vliv času ► reologie – např. dotvarování betonu).
- Předpoklad jednoznačně určených fyzikálních, geometrických vlastností i zatížení, tj. deterministická mechanika. (Pro navrhování konstrukcí je nutno uvážit náhodné vlastnosti materiálů i zatížení ► stochastická mechanika).

Kurz PRPA:

- Základní rovnice teorie pružnosti
- Analýza prutů (ohyb, smyk za ohybu, kroucení)
- Stabilita přímých prutů
- Dvojrozměrná napjatost, úvod do řešení stěn a desek

ZÁKLADNÍ ROVNICE TEORIE PRUŽNOSTI

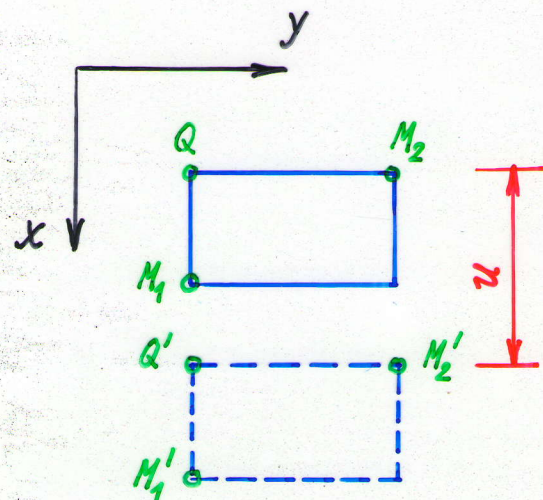
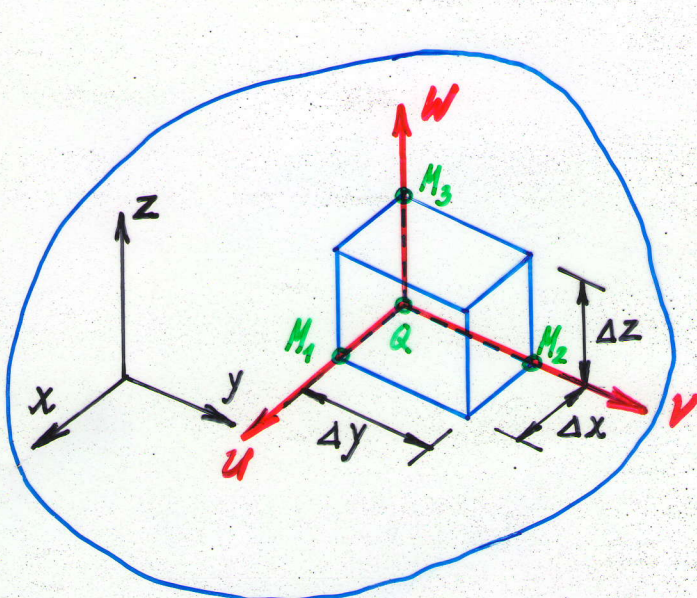
POPIS STAVU DEFORMACE GEOMETRICKÉ ROVNICE

Změna tvaru a objemu těles se nazývá **deformace**

Popis deformace

- složkami posunutí u, v, w
- složkami deformace $\varepsilon_x, \varepsilon_y, \varepsilon_z, \gamma_{xy}, \gamma_{yz}, \gamma_{zx}$

Složky posunutí a deformace lze vysvětlit na tvarových změnách elementárního kvádru:

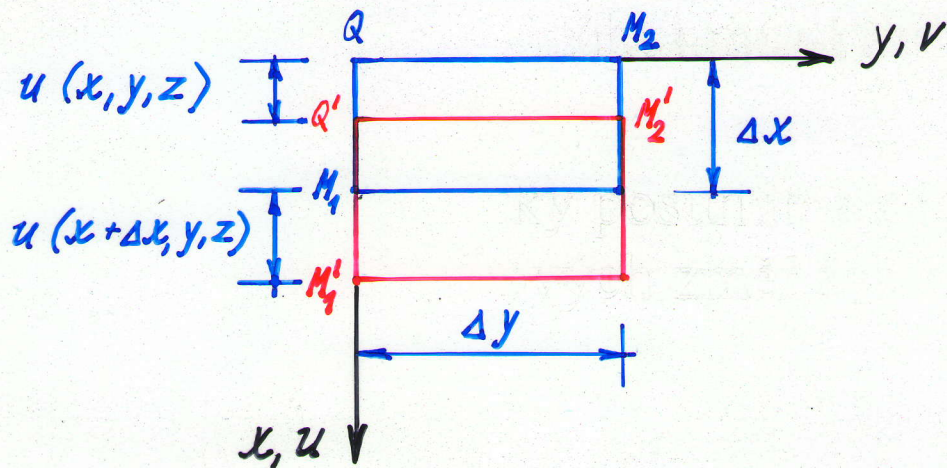


Složky deformace:

- poměrné délkové deformace $\varepsilon_x, \varepsilon_y, \varepsilon_z$
- poměrné úhlové deformace $\gamma_{xy}, \gamma_{yz}, \gamma_{zx}$

Pole deformace: $\{\varepsilon\} = \{\varepsilon_x, \varepsilon_y, \varepsilon_z, \gamma_{yz}, \gamma_{zx}, \gamma_{xy}\}^\top$

1. deformační model: pouze protažení hran

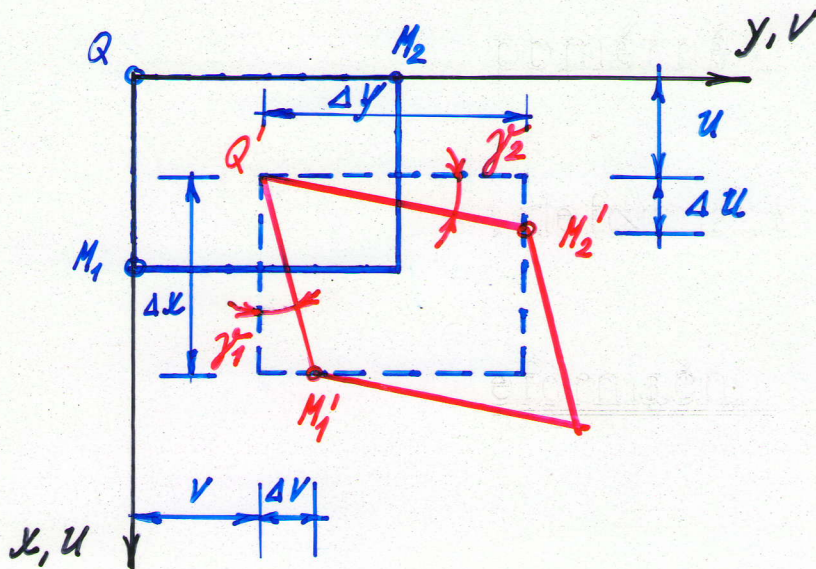


Relativní změna délky hrany QM₁:

$$\underline{\varepsilon_x} = \lim_{\Delta x \rightarrow 0} \frac{\Delta u}{\Delta x} = \lim_{\Delta x \rightarrow 0} \frac{u(x + \Delta x, y, z) - u(x, y, z)}{\Delta x} = \underline{\frac{\partial u}{\partial x}}$$

Cyklickou záměnou indexů se odvodí další dvě rovnice – tzv. geometrické rovnice.

2. deformační model: pouze změny pravých úhlů, délky hran jsou zachovány



Relativní změna pravého úhlu:

$$\underline{\gamma_{xy} = \gamma_1 + \gamma_2 = \lim_{\Delta x \rightarrow 0} \frac{\Delta v}{\Delta x} + \lim_{\Delta y \rightarrow 0} \frac{\Delta u}{\Delta y} = \frac{\partial v}{\partial x} + \frac{\partial u}{\partial y}}$$

$$\varepsilon_x = \frac{\partial u}{\partial x} \quad \varepsilon_y = \frac{\partial v}{\partial y} \quad \varepsilon_z = \frac{\partial w}{\partial z}$$

$$\gamma_{xy} = \frac{\partial v}{\partial x} + \frac{\partial u}{\partial y} \quad \gamma_{yz} = \frac{\partial w}{\partial y} + \frac{\partial v}{\partial z} \quad \gamma_{zx} = \frac{\partial u}{\partial z} + \frac{\partial w}{\partial x}$$

Celkem 6 geometrických rovnic – popisují vztahy mezi složkami posunutí a složkami deformace.

Poznámka:

Soustavu šesti geometrických rovnic lze zapsat v maticovém tvaru

$$\{\epsilon\} = [\partial]^T \{u\}$$

kde $[\partial]^T$ je tzv. geometrická matice, která obsahuje pouze diferenciální operátory

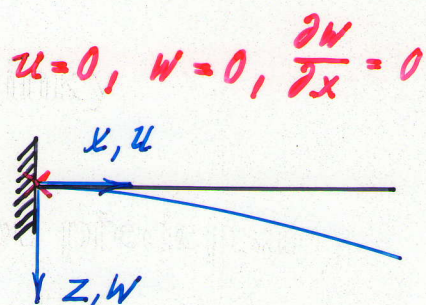
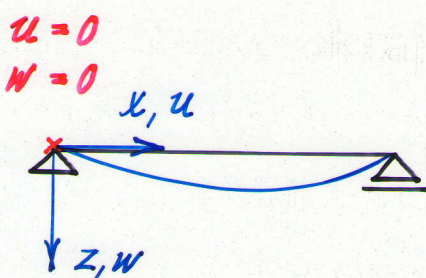
$$\frac{\partial}{\partial x}, \frac{\partial}{\partial y}, \frac{\partial}{\partial z}$$

Geometrické okrajové podmínky

Na části hranice tělesa Γ_u jsou předepsány některé složky posunutí případně jejich derivace.



$$\{u\} = \{\bar{u}\}$$



POPIS STAVU NAPĚtí STATICkÉ ROVNICE

Hledáme podmínky, za nichž bude libovolná částice tělesa v rovnováze.

V podmírkách rovnováhy se uplatní dva druhy sil:

- vnější (zatížení)

1. objemové [N/m^3]

(např.gravitační)

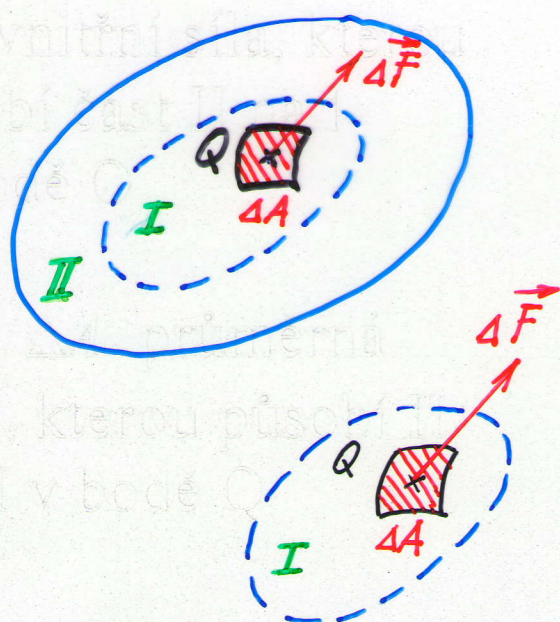
2. povrchové

$[N/m^2]$ plošné

$[N/m]$ liniové

$[N]$ bodové

- vnitřní (působí plošně mezi česticemi tělesa)

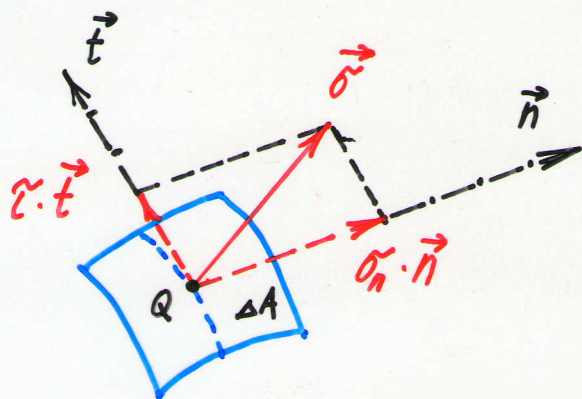


$\Delta\vec{F}$ vnitřní síla, kterou působí část II na I v bodě Q

$\Delta\vec{F}/\Delta A$ průměrná síla, kterou působí II na I v bodě Q

Vektor napětí : $\vec{\sigma} = \lim_{\Delta A \rightarrow 0} \frac{\Delta \vec{F}}{\Delta A}$ [N/m²] = [Pa]

- rozklad $\vec{\sigma}$ do směru normály a tečny



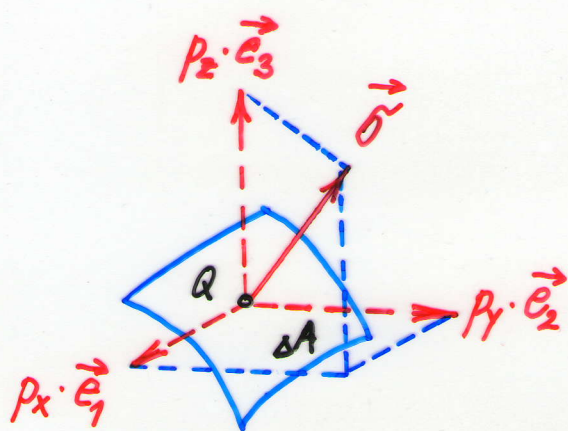
σ_n ... normálové napětí

τ ... smykové napětí

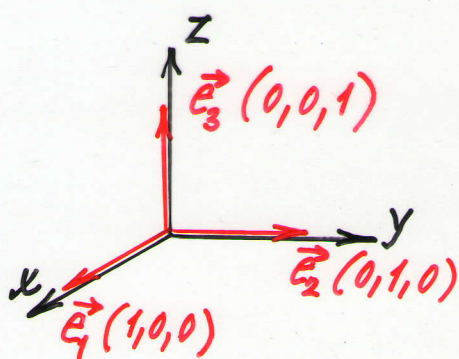
$\vec{\sigma} = (\sigma_n, \tau)$

- rozklad $\vec{\sigma}$ do směrů os souřadnic

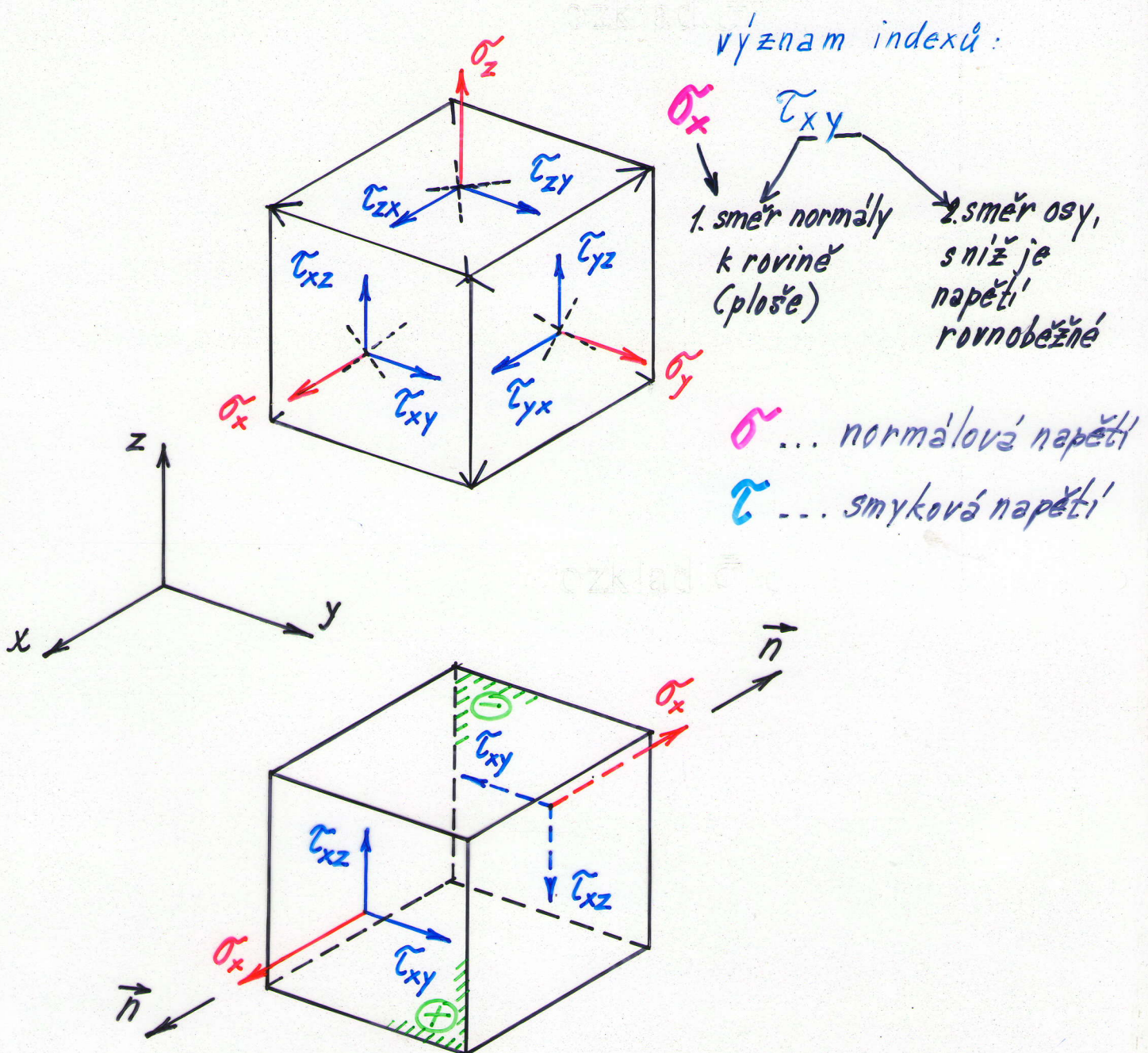
p_x, p_y, p_z ... kartézské složky vektoru napětí



$\vec{\sigma} = (p_x, p_y, p_z)$

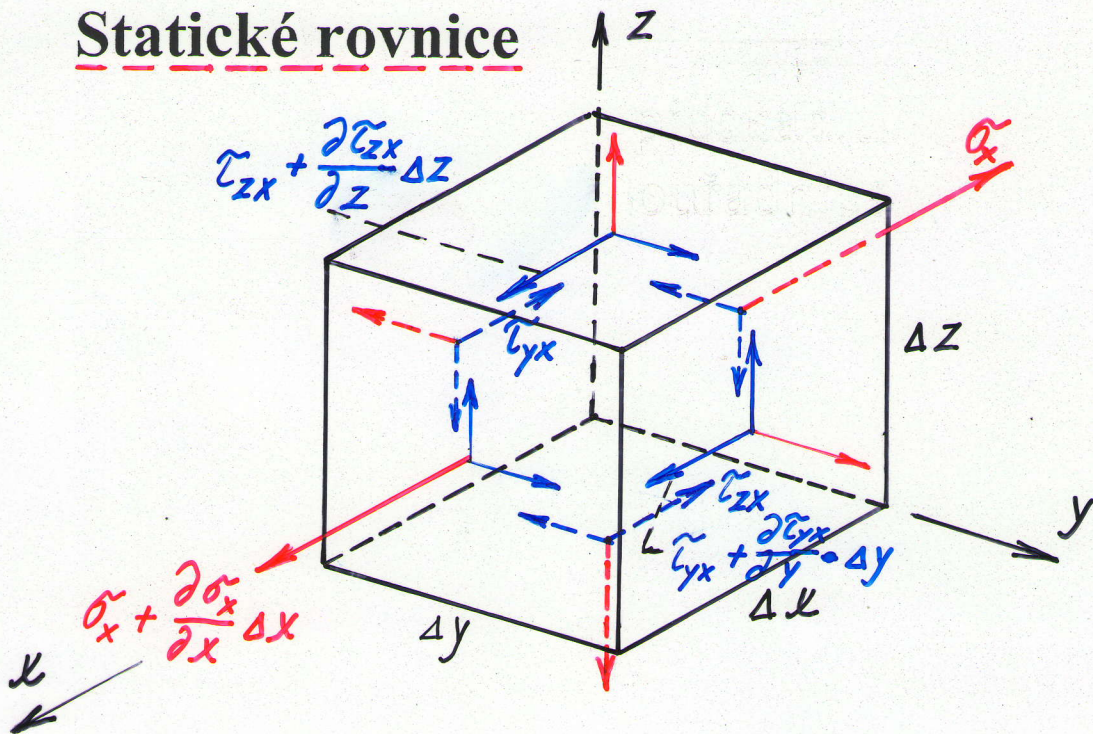


- složky napětí na elementárním kvádru (ploška ΔA je rovnoběžná se souřadnicovými rovinami)



Pole napětí: $\{\sigma\} = \{\sigma_x, \sigma_y, \sigma_z, \tau_{yz}, \tau_{zx}, \tau_{xy}\}^T$

Statické rovnice



- Cauchyho statické rovnice

(ze silových podmínek rovnováhy)

\vec{X} :

$$\left(\sigma_x + \frac{\partial \sigma_x}{\partial x} \Delta x \right) \Delta y \Delta z - \sigma_x \Delta y \Delta z + \left(\tau_{yx} + \frac{\partial \tau_{yx}}{\partial y} \Delta y \right) \Delta x \Delta z$$

$$- \tau_{yx} \Delta x \Delta z + \left(\tau_{zx} + \frac{\partial \tau_{zx}}{\partial z} \Delta z \right) \Delta x \Delta y - \tau_{zx} \Delta x \Delta y$$

$$+ X \Delta x \Delta y \Delta z = 0 \quad / \cdot \frac{1}{\Delta x \Delta y \Delta z}$$

(pro směry Y,Z analogicky, resp. cyklická záměna indexů). $X, Y, Z \dots$ objemové síly

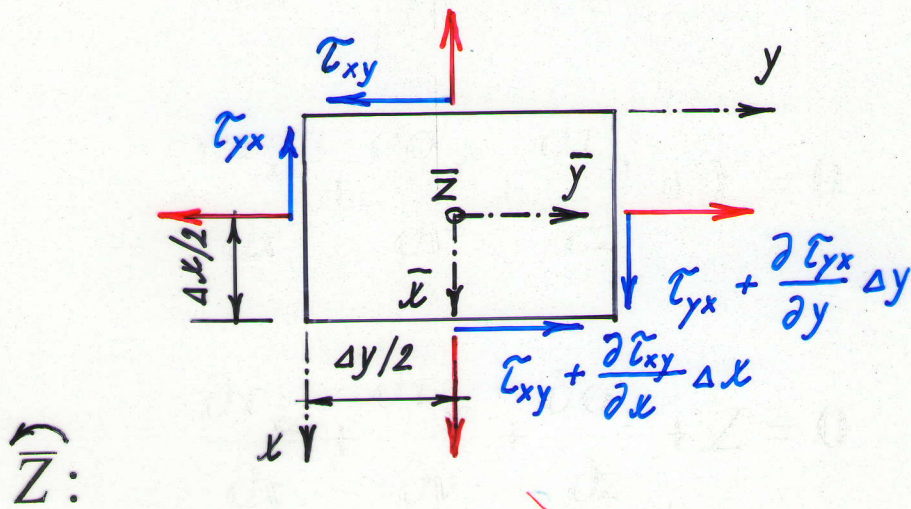
$[N/m^3]$ (např. objemová tlīha)

$$\frac{\partial \sigma_x}{\partial x} + \frac{\partial \tau_{yx}}{\partial y} + \frac{\partial \tau_{zx}}{\partial z} + X = 0$$

$$\frac{\partial \tau_{xy}}{\partial x} + \frac{\partial \sigma_y}{\partial y} + \frac{\partial \tau_{zy}}{\partial z} + Y = 0$$

$$\frac{\partial \tau_{xz}}{\partial x} + \frac{\partial \tau_{yz}}{\partial y} + \frac{\partial \sigma_z}{\partial z} + Z = 0$$

- Věta o vzájemnosti smykových napětí
(z momentových podmínek)



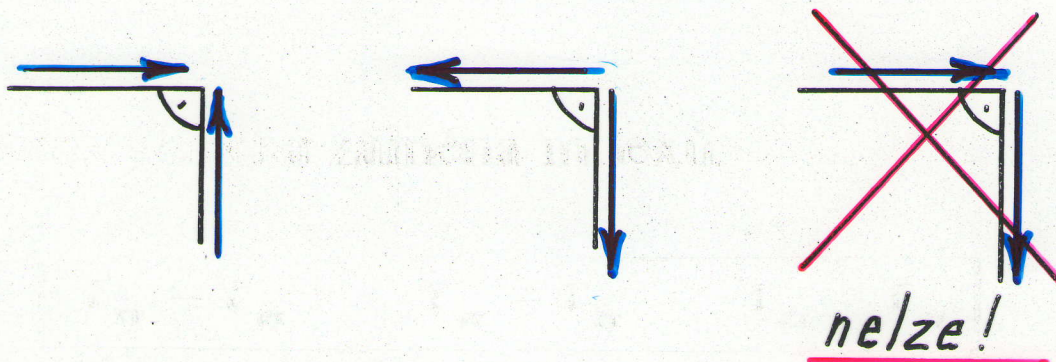
$$\begin{aligned}
 & \tau_{xy} \Delta y \Delta z \frac{\Delta x}{2} + \left(\tau_{xy} + \frac{\partial \tau_{xy}}{\partial x} \Delta x \right) \Delta y \Delta z \frac{\Delta x}{2} \\
 & - \tau_{yx} \Delta z \Delta x \frac{\Delta y}{2} - \left(\tau_{yx} + \frac{\partial \tau_{yx}}{\partial y} \Delta y \right) \Delta z \Delta x \frac{\Delta y}{2} = 0
 \end{aligned}$$

4.r.

Dále cyklická záměna indexů.

$$\tau_{xy} = \tau_{yx} \quad \tau_{yz} = \tau_{zy} \quad \tau_{zx} = \tau_{xz}$$

Smyková napětí na dvou vzájemně kolmých ploškách jsou stejně velká a obě směřují buď k průsečníci obou plošek nebo od ní.



Poznámka:

Statické rovnice lze zapsat v maticovém tvaru

$$[\partial]\{\sigma\} + \{X\} = \{0\}$$

kde $[\partial]$ je tzv. statická maticce obsahující diferenciální operátory.

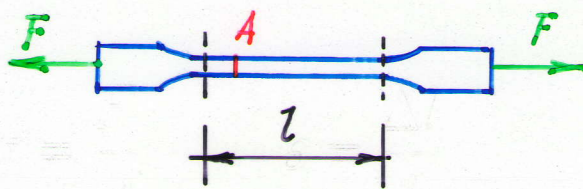
FYZIKÁLNÍ ROVNICE

Vztahy mezi složkami napětí $\{\sigma\}$ a složkami deformace $\{\varepsilon\}$.

Určeny experimentálně, vyjadřují fyzikální vlastnosti materiálu.

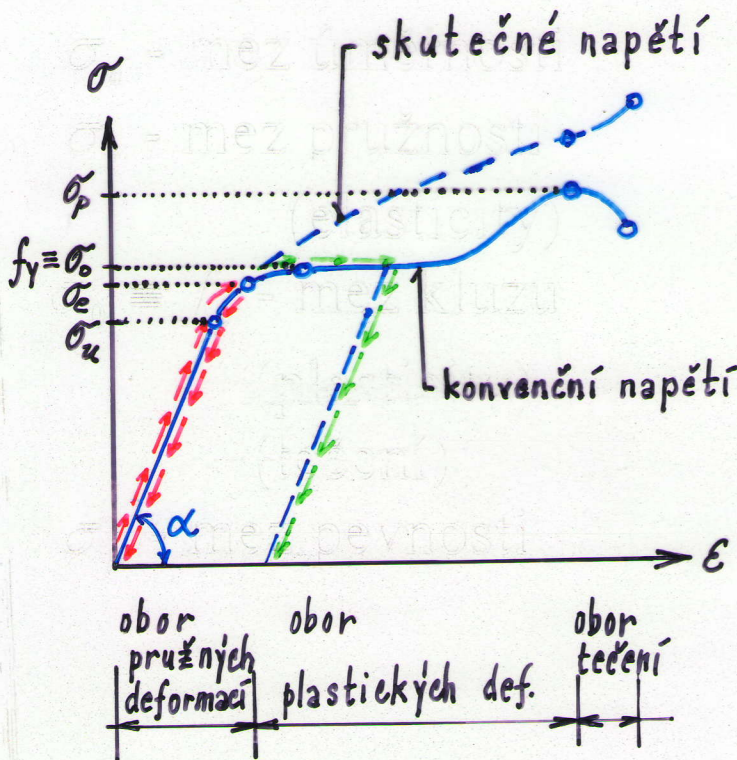
- Jednoosá napjatost

tahová zkouška ➤ pracovní diagram



$$\sigma = \frac{F}{A} \quad \varepsilon = \frac{\Delta l}{l}$$

příklad – pracovní diagram oceli



σ_u - mez úměrnosti

σ_e - mez pružnosti
(elasticity)

$\sigma_0 \equiv f_y$ - mez kluzu
(plasticity)
(tečení)

σ_p - mez pevnosti

odtěžování'

Hookeův zákon

Platí pouze v pružné oblasti až do meze úměrnosti ($\sigma \leq \sigma_u$)

$$\sigma = E \cdot \epsilon$$

$E = \operatorname{tg} \alpha$ [Pa] ... Youngův modul pružnosti

ocel: $2,1 \cdot 10^5$ MPa

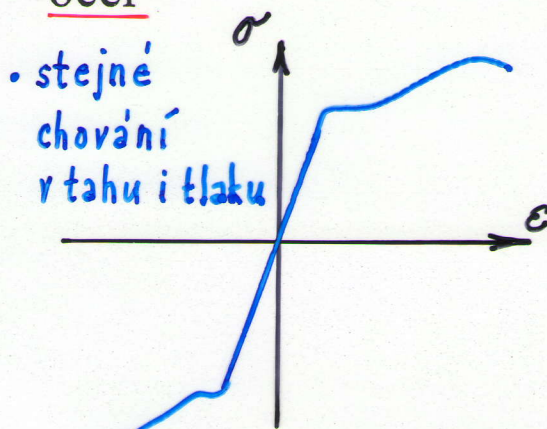
beton: $2,1 \cdot 10^4$ MPa

dřevo: 10^4 MPa

zeminy: ~ 25 MPa

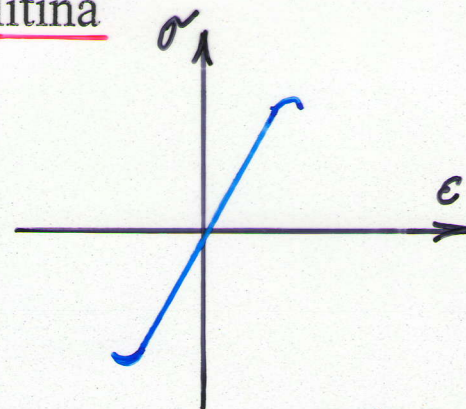
Příklady:

ocel



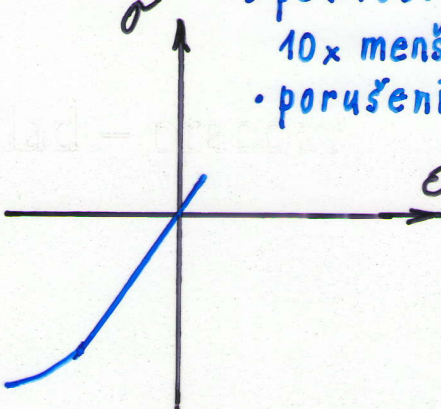
- stejné chování v tahu i tlaku

litina



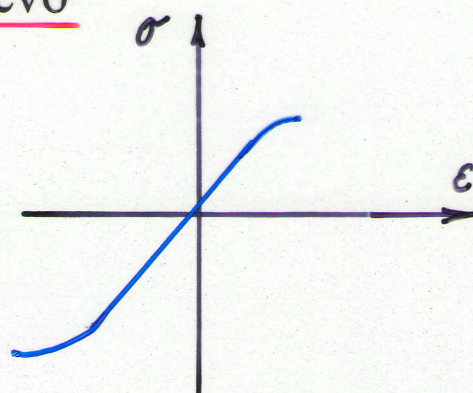
- křehký materiál (nemá plastickou oblast)

beton



- pevnost v tahu 10x menší než v tlaku
- porušení nastává na hle

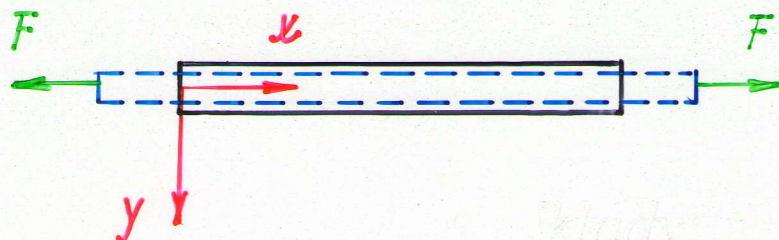
dřevo



• Trojosá napjatost

Rozšířený Hookeův zákon (platí v lineárně pružné oblasti)

Vliv příčné kontrakce (zúžení) při tahové zkoušce:



$$\sigma_x \gg \varepsilon_x = \frac{\sigma_x}{E} \quad \varepsilon_y = -\nu \cdot \frac{\sigma_x}{E} \quad \varepsilon_z = -\nu \cdot \frac{\sigma_x}{E}$$

ν ... [-] Poissonovo číslo (součinitel příčné kontrakce)

$$\boxed{\nu = -\frac{\varepsilon_y}{\varepsilon_x}} \quad 0 \leq \nu \leq 0,5$$

ocel: $\nu \approx 0,3$

beton: $\nu \approx 0,15$

$(m = \frac{1}{\nu} \dots \text{Poissonova konstanta})$

$$\sigma_y \quad \blacktriangleright \quad \varepsilon_y = \frac{\sigma_y}{E} \quad \parallel \quad \varepsilon_x = -\nu \cdot \frac{\sigma_y}{E} \quad \varepsilon_z = -\nu \cdot \frac{\sigma_y}{E}$$

$$\sigma_z \quad \blacktriangleright \quad \varepsilon_z = \frac{\sigma_z}{E} \quad \parallel \quad \varepsilon_x = -\nu \cdot \frac{\sigma_z}{E} \quad \varepsilon_y = -\nu \cdot \frac{\sigma_z}{E}$$

Vliv změny teploty na relativní protažení:

$$\underline{\varepsilon_x^t = \varepsilon_y^t = \varepsilon_z^t = \alpha t}$$

$\frac{\alpha}{t}$ [K⁻¹] ... součinitel teplotní roztažnosti
 t [K] ... změna teploty

(ocel, beton: $\alpha = 12 \cdot 10^{-6}$ K⁻¹)

$$\varepsilon_x = \frac{1}{E} (\sigma_x - \nu \sigma_y - \nu \sigma_z) + \alpha t$$

$$\varepsilon_y = \frac{1}{E} (\sigma_y - \nu \sigma_z - \nu \sigma_x) + \alpha t$$

$$\varepsilon_z = \frac{1}{E} (\sigma_z - \nu \sigma_x - \nu \sigma_y) + \alpha t$$

$$\gamma_{xy} = \frac{\tau_{xy}}{G} \quad \gamma_{yz} = \frac{\tau_{yz}}{G} \quad \gamma_{zx} = \frac{\tau_{zx}}{G}$$

fyzikální

rovnice

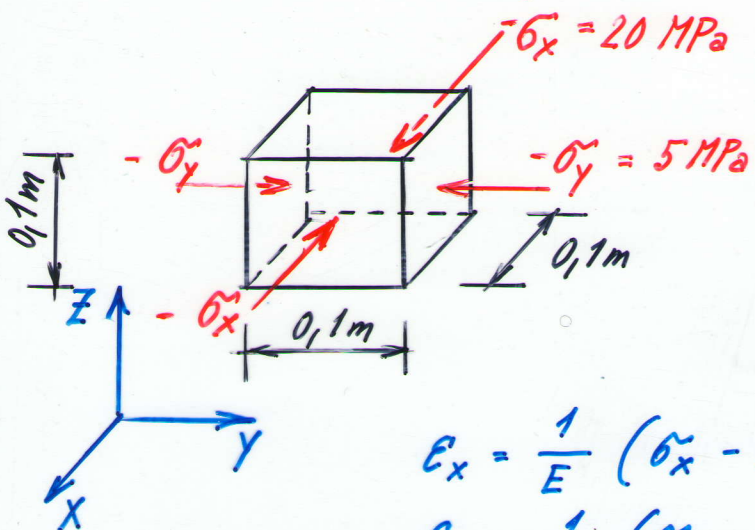
G [Pa] ... modul pružnosti ve smyku

$$G = \frac{E}{2(1+\nu)}$$

(jen 2 konstanty nezávislé) !!

Příklady

1) Urcete materiálové charakteristiky vzorku ve tvaru krychle s hranou 0,1m, která je zatížena ve dvou kolmých směrech napětím $\tilde{\sigma}_x = -20 \text{ MPa}$, $\tilde{\sigma}_y = -5 \text{ MPa}$. Hrana rovnoběžná s osou X se zkrátila o 0,1 mm, hrana rovnoběžná s osou Y se zkrátila o 0,01 mm.



$$\epsilon_x = \frac{-0,0001}{0,1} = -0,001$$

$$\epsilon_y = \frac{-0,00001}{0,1} = -0,0001$$

$$\tilde{\sigma}_z = 0$$

$$\epsilon_x = \frac{1}{E} (\tilde{\sigma}_x - \nu \tilde{\sigma}_y)$$

$$\epsilon_y = \frac{1}{E} (\tilde{\sigma}_y - \nu \tilde{\sigma}_x)$$

$$-0,001 = \frac{1}{E} [-20 - \nu(-5)]$$

$$-0,0001 = \frac{1}{E} [-5 - \nu(-20)]$$

$$E = 19231 \text{ MPa}$$

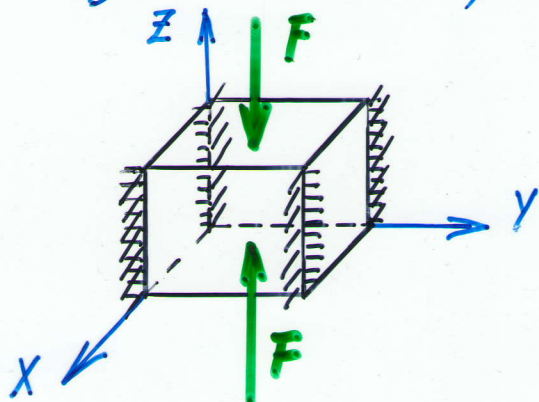
$$\nu = 0,154$$

$$G = \frac{E}{2(1+\nu)} = 8332 \text{ MPa}$$

Jedná se o beton.

2) Jak se stláčí betonová krychle ohraně 0,2m, jestliže je nepoddajně upnuta ve dvou kolmých směrech a ve třetím směru je zatížena silou $F=200\text{ kN}$.

$$E_b = 20\,000 \text{ MPa}, \nu_b = 0,15$$



$$\tilde{\sigma}_Z = \frac{-F}{A} = \frac{-200}{0,2 \cdot 0,2} = -5000 \text{ kPa} \\ = -5 \text{ MPa}$$

$$\epsilon_x = 0; \epsilon_y = 0; \epsilon_z \neq 0$$

Z fyz. rovnic plynε:

$$0 = \frac{1}{20\,000} [\tilde{\sigma}_x - 0,15 \tilde{\sigma}_y - 0,15 (-5)] \quad (a)$$

$$0 = \frac{1}{20\,000} [\tilde{\sigma}_y - 0,15 \tilde{\sigma}_x - 0,15 (-5)] \quad (b)$$

$$\underline{\underline{\epsilon_z}} = \frac{1}{20\,000} [-5 - 0,15 \tilde{\sigma}_x - 0,15 \tilde{\sigma}_y] \quad (c)$$

$$\underline{\underline{\epsilon_x}} = -0,75 = \tilde{\sigma}_x - 0,15 \tilde{\sigma}_y \quad (a)$$

$$\underline{\underline{\epsilon_y}} = -0,75 = \tilde{\sigma}_y - 0,15 \tilde{\sigma}_x \quad (b)$$

$$\underline{\underline{\sigma_x}} = -0,88235 \text{ MPa}$$

$$\underline{\underline{\sigma_y}} = -0,88235 \text{ MPa}$$

$$\underline{\underline{\epsilon_z}} = \frac{1}{20\,000} [-5 + 0,15 \cdot 0,88235 + 0,15 \cdot 0,88235] \quad (c)$$

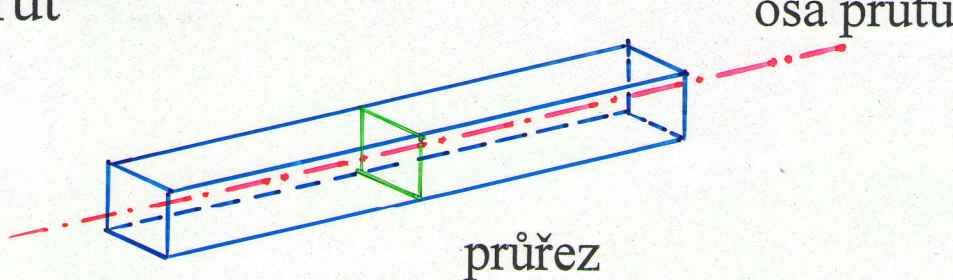
$$= -2,3676 \cdot 10^{-4}$$

Absolutní stláčení

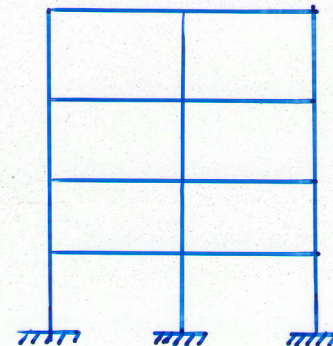
$$\underline{\Delta L} = \underline{\epsilon_z} \cdot L_z = -2,3676 \cdot 0,2 \cdot 10^{-4} = -4,735 \cdot 10^{-5} \text{ m} = \\ = -0,047 \text{ mm}$$

ANALÝZA PRUTŮ

Prut

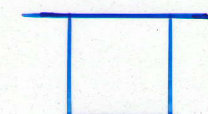


Prutové konstrukce



Průřezy

masivní



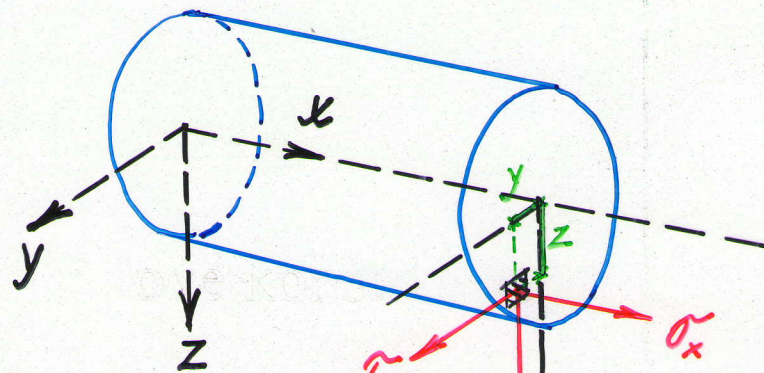
Základní algoritmus:

- Stanovení vnitřních sil v průřezech (statika)
- Výpočet napětí a deformací v bodech průřezů (pružnost a pevnost)

Integrální definice vnitřních sil

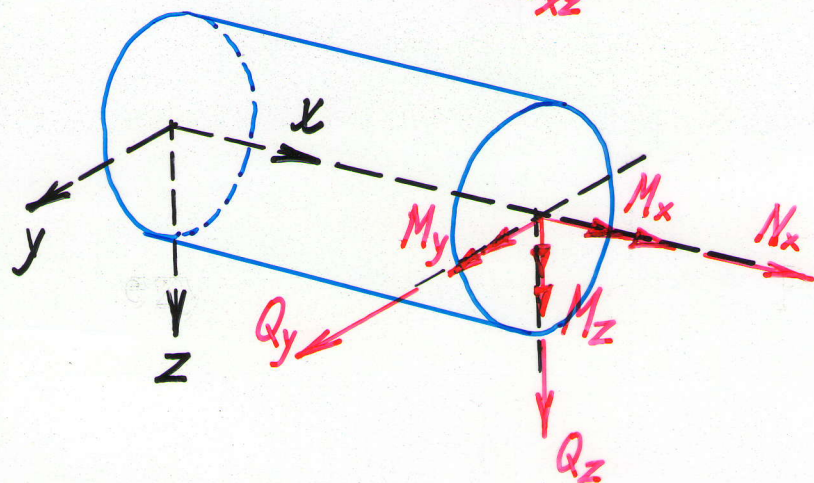
Složky napětí
v průřezu prutu

$$\sigma_x, \tau_{xy}, \tau_{xz}$$



Vnitřní síly
v průřezu prutu

$$N_x, Q_y, Q_z \\ M_x, M_y, M_z$$



$$N_x = \iint_A \sigma_x dA$$

$$M_x = \iint_A (\tau_{xz}y - \tau_{xy}z)dA$$

$$Q_y = \iint_A \tau_{xy} dA$$

$$M_y = \iint_A \sigma_x z dA$$

$$Q_z = \iint_A \tau_{xz} dA$$

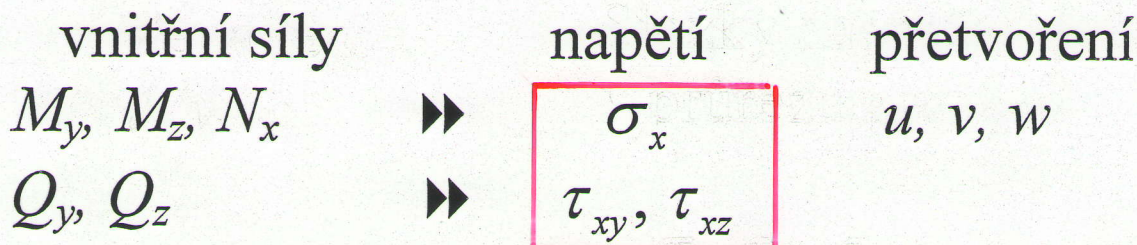
$$M_z = \iint_A -\sigma_x y dA$$

$N_x, M_y, M_z, Q_y, Q_z \gg$ ohyb

M_x

\gg kroucení

OHYB PRUTŮ

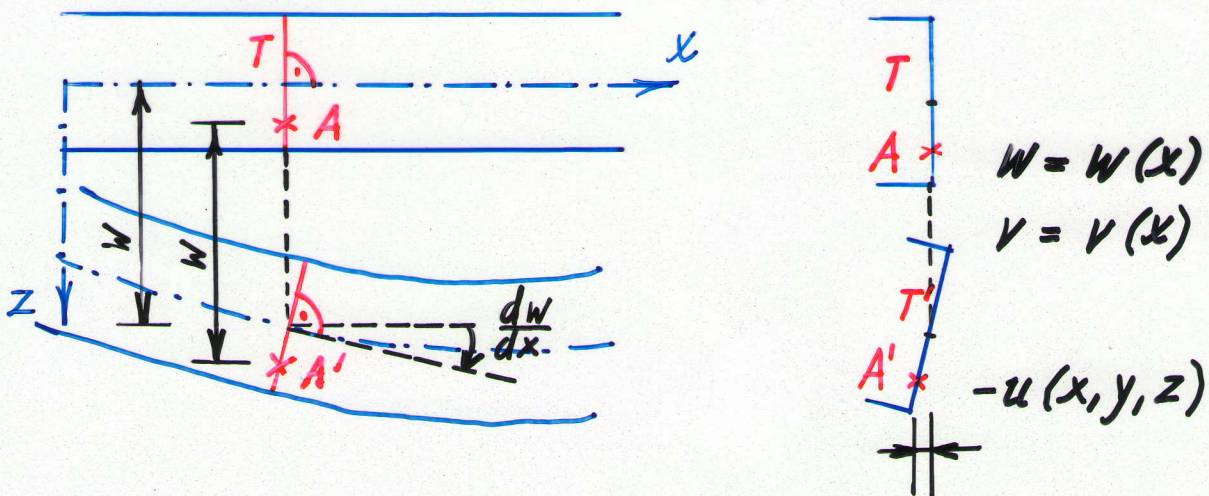


Předpoklady: podélná deformace ε_x je řádově větší než ostatní složky deformace

- a) $\varepsilon_y = \varepsilon_z = \gamma_{yz} = 0$... tvar průřezu se nemění
- b) $\gamma_{xy} = \gamma_{xz} = 0$... zachování pravých úhlů v rovinách XY a XZ

Bernoulli – Navierova hypotéza:

Průřezy rovinné a kolmé k ose prutu před deformací zůstávají rovinné a kolmé k ose prutu i po deformaci



Funkce posunutí $u(x, y, z)$ je lineární funkce v souřadnicích (y, z) :

$$u(x, y, z) = A(x) + B(x) \cdot y + C(x) \cdot z$$

(v průřezu $x=x_0$ jsou A, B, C konstanty)

$$\underline{A(x)=u_0} \\ (\text{translace})$$

Z předpokladu b) plyně:

$$\alpha) \gamma_{xy} = 0 \quad \dots \quad \frac{\partial u(x, y, z)}{\partial y} + \frac{\partial v(x)}{\partial x} = 0$$

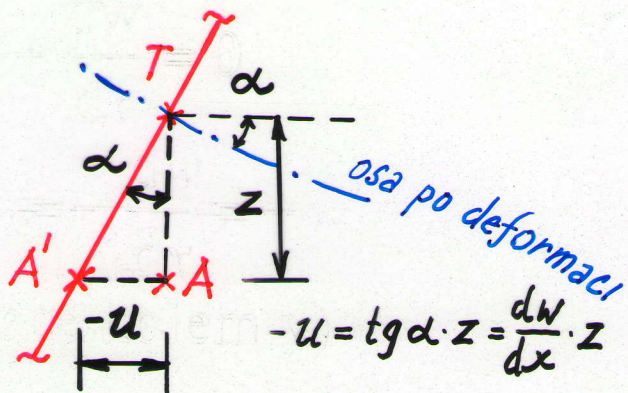
$$B(x) + \frac{dv}{dx} = 0$$

$$\underline{B(x) = -\frac{dv}{dx} = -v'} \\ (\text{rotace kolem } z)$$

$$\beta) \gamma_{xz} = 0 \quad \dots \quad \frac{\partial u(x, y, z)}{\partial z} + \frac{\partial w(x)}{\partial x} = 0$$

$$C(x) + \frac{dw}{dx} = 0$$

$$\underline{C(x) = -\frac{dw}{dx} = -w'} \\ (\text{rotace kolem } y)$$



$$\underline{u = u_0 - v'(x) \cdot y - w'(x) \cdot z}$$

Normálové napětí

Z fyzikálních rovnic:

$$\sigma_x = E\varepsilon_x = E \frac{\partial u}{\partial x} = E(u'_0 - v'' \cdot y - w'' \cdot z)$$

Parametry deformace u'_0, v'', w'' určíme
z definičních vzorců vnitřních sil:

$$N_x = \iint_A \sigma_x dA = E \left(u'_0 \underbrace{\iint_A dA}_{A} - v'' \underbrace{\iint_A y dA}_{S_z} - w'' \underbrace{\iint_A z dA}_{S_y} \right)$$

$$-M_z = \iint_A \sigma_x y dA = E \left(u'_0 \underbrace{\iint_A y dA}_{S_z} - v'' \underbrace{\iint_A y^2 dA}_{I_z} - w'' \underbrace{\iint_A yz dA}_{D_{yz}} \right)$$

$$M_y = \iint_A \sigma_x z dA = E \left(u'_0 \underbrace{\iint_A z dA}_{S_y} - v'' \underbrace{\iint_A yz dA}_{D_{yz}} - w'' \underbrace{\iint_A z^2 dA}_{I_y} \right)$$

V maticovém tvaru:

$$\begin{Bmatrix} N_x \\ -M_z \\ M_y \end{Bmatrix} = E \underbrace{\begin{bmatrix} A & S_z & S_y \\ S_z & I_z & D_{yz} \\ S_y & D_{yz} & I_y \end{bmatrix}}_{\text{matice tuhosti průřezu}} \begin{Bmatrix} u'_0 \\ -v'' \\ -w'' \end{Bmatrix}$$

matice tuhosti průřezu

pro těžiště rové osy y, z platí: $S_y = S_z = 0$

Řešení soustavy rovnic:

$$\underline{u'_0} = \frac{N_x}{EA}$$

$$\underline{-v''} = -\frac{M_z I_y + M_y D_{yz}}{EI}$$

$$\underline{-w''} = \frac{M_y I_z + M_z D_{yz}}{EI}$$

$$I = I_y I_z - D_{yz}^2$$

Vzorec pro funkci σ_x , jsou-li Y,Z libovolné těžišťové osy:

$$\sigma_x = \frac{N_x}{A} - \frac{M_z I_y + M_y D_{yz}}{I} y + \frac{M_y I_z + M_z D_{yz}}{I} z$$

Vzorec pro funkci σ_x , jsou-li Y,Z hlavní těžišťové osy ($D_{yz}=0$):

$$\sigma_x = \frac{N_x}{A} - \frac{M_z}{I_z} y + \frac{M_y}{I_y} z$$

σ_x je lineární funkce y, z a představuje rovinu, protínající průřez v přímce nazývané neutrální osa ($\sigma_x=0$).

Zvláštní případy namáhání

1. Prostý tah (tlak) $N_x \neq 0$ ($M_y = M_z = 0$)

2. Jednoduchý ohyb $M_y \neq 0$ ($M_z = N_x = 0$)

nebo

$M_z \neq 0$ ($M_y = N_x = 0$)

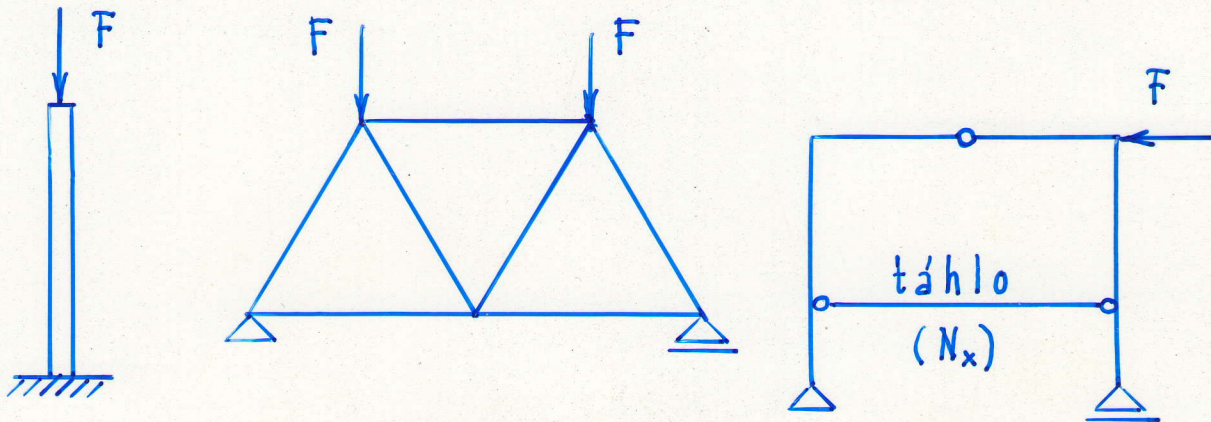
3. Šikmý ohyb $M_y \neq 0, M_z \neq 0$ ($N_x = 0$)

4. Kombinace tahu (tlaku) s ohybem

$N_x \neq 0, M_y \neq 0, M_z \neq 0$

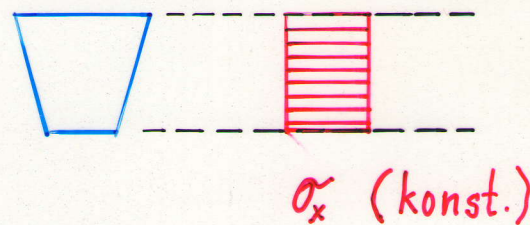
1. Prostý tah (tlak)

- V průřezu vzniká pouze normálová síla N_x



- Normálové napětí rozloženo po průřezu rovnoměrně. Neutrální osa ($\sigma_x = 0$) leží v nekonečnu.

$$\sigma_x = \frac{N_x}{A}$$



- Deformace ε_x

$$\varepsilon_x = \frac{\sigma_x}{E} + \alpha t$$

(fyzikální rovnice)

$$\varepsilon_x = \frac{du}{dx}$$

► $u = \dots$ (geometrická rovnice)

- Zvláštní případ: $N_x, A, E, t \dots$ konstantní
Prodloužení (zkrácení) prutu:

$$\Delta l = u(l) - u(0) = \int_0^l \varepsilon_x dx = \int_0^l \left(\frac{N_x}{EA} + \alpha t \right) dx$$

$$\boxed{\Delta l = \frac{N_x l}{EA} + \alpha t l}$$

$$\frac{l}{EA} \dots \underline{\text{poddajnost prutu v tahu (tlaku)}}$$

$$\frac{EA}{l} \dots \underline{\text{tuhost prutu v tahu (tlaku)}}$$

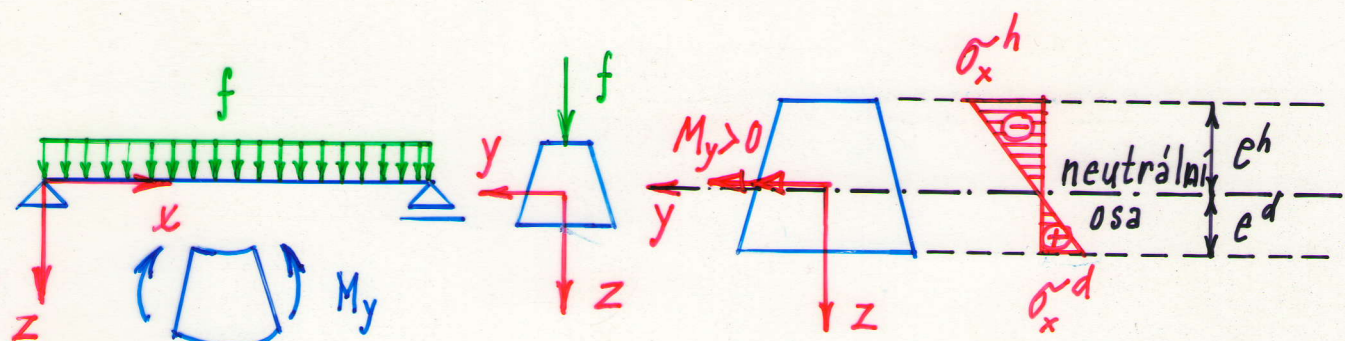
2. Jednoduchý ohyb

Rovina vnějšího zatížení obsahuje jednu z hlavních centrálních os y, z.

Osa prutu zůstává i po deformaci v rovině zatížení.

V průřezu vzniká pouze ohybový moment M_y , nebo M_z .

a) $M_y \neq 0$



$$\sigma_x = \frac{M_y}{I_y} z$$

neutrální osa $\sigma_x = 0 \Rightarrow z = 0$

kolmá k rovině zatížení a prochází těžištěm

Vzorce vhodné pro návrh průřezu:

$$\sigma_x^d = \frac{M_y}{I_y} e^d$$

$$|\sigma_x^d| = \frac{|M_y|}{W_y^d}$$

$$W_y^d = \frac{I_y}{|e^d|} [\text{m}^3]$$

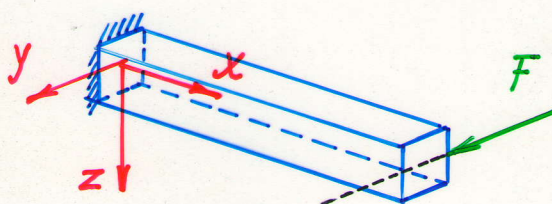
$$\sigma_x^h = \frac{M_y}{I_y} (-e^h)$$

$$|\sigma_x^h| = \frac{|M_y|}{W_y^h}$$

$$W_y^h = \frac{I_y}{|e^h|} [\text{m}^3]$$

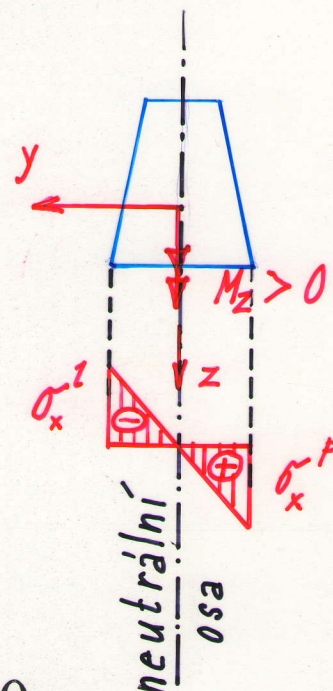
W ... průřezový modul

b) $M_z \neq 0$



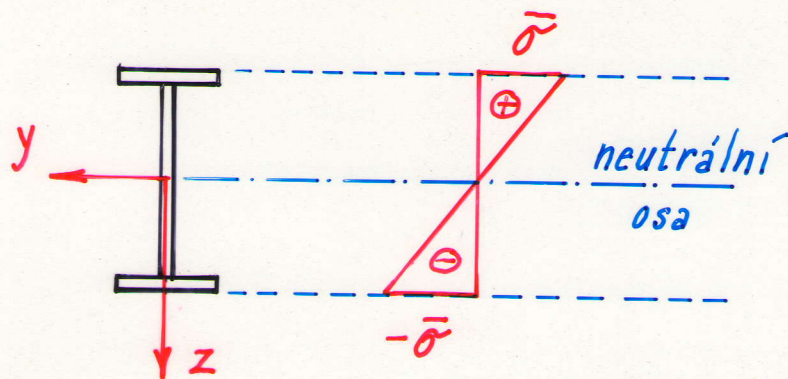
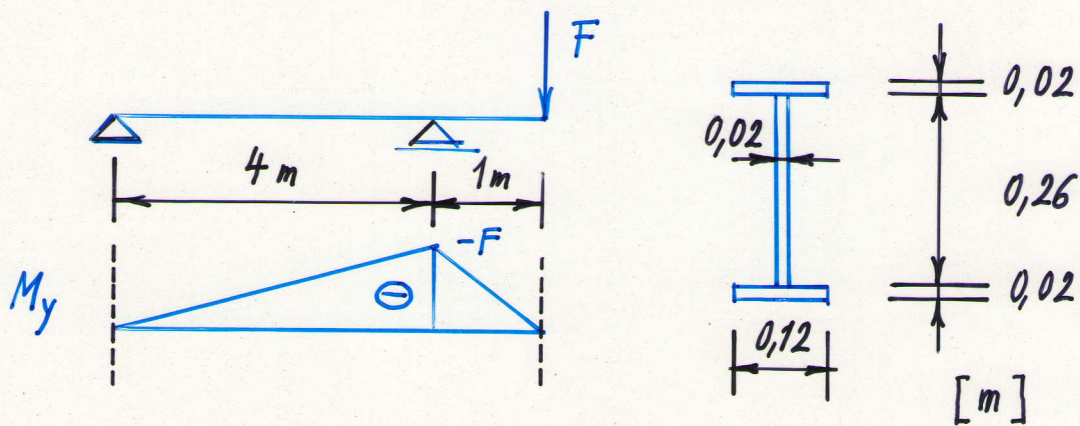
$$\sigma_x = -\frac{M_z}{I_z} y$$

neutrální osa $\sigma_x = 0 \Rightarrow y = 0$



Poznámka: pokud v průřezu nevznikají posouvající síly, označuje se případ jako **prostý ohyb**.

Příklad: Jak velká síla F může namáhat nosník s převislým koncem, aby největší napětí nepřekročilo hodnotu $\bar{\sigma} = 160 \text{ MPa}$?



$$\max M_y = -F$$

$$I_y = 1,235 \cdot 10^{-4} \text{ m}^4$$

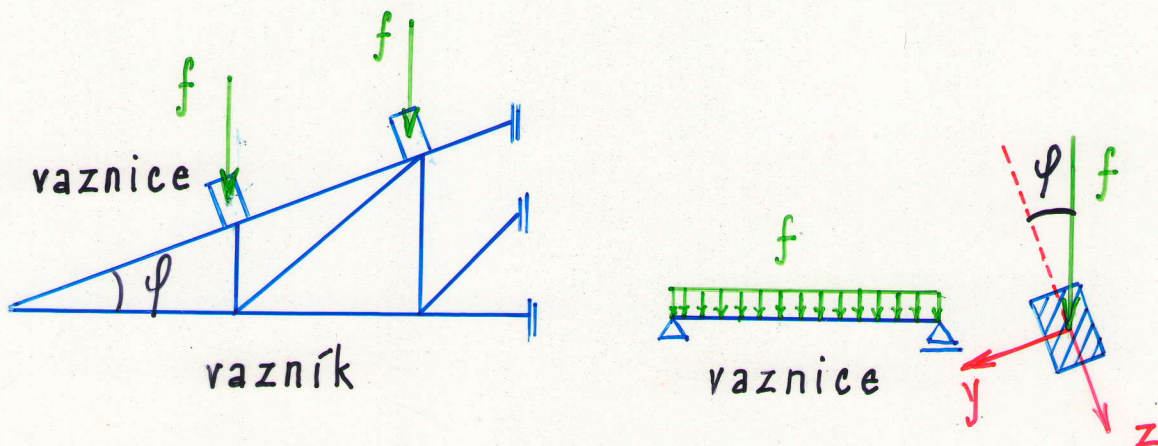
$$W_y = \frac{1,235 \cdot 10^{-4}}{0,15} = 8,2355 \cdot 10^{-4} \text{ m}^3$$

$$\bar{\sigma} = \frac{\max M_y}{W_y}$$

$$\underline{F = W_y \cdot \bar{\sigma} = 0,132 \text{ MN}}$$

3. Šikmý ohyb

Rovina zatížení neobsahuje žádnou z hlavních centrálních os.



- a) Vyjádření v hlavních osách y, z
 $(M_y \neq 0, M_z \neq 0)$

$$\sigma_x = -\frac{M_z}{I_z} y + \frac{M_y}{I_y} z$$

- b) Vyjádření pro osy y, z, které nejsou hlavní

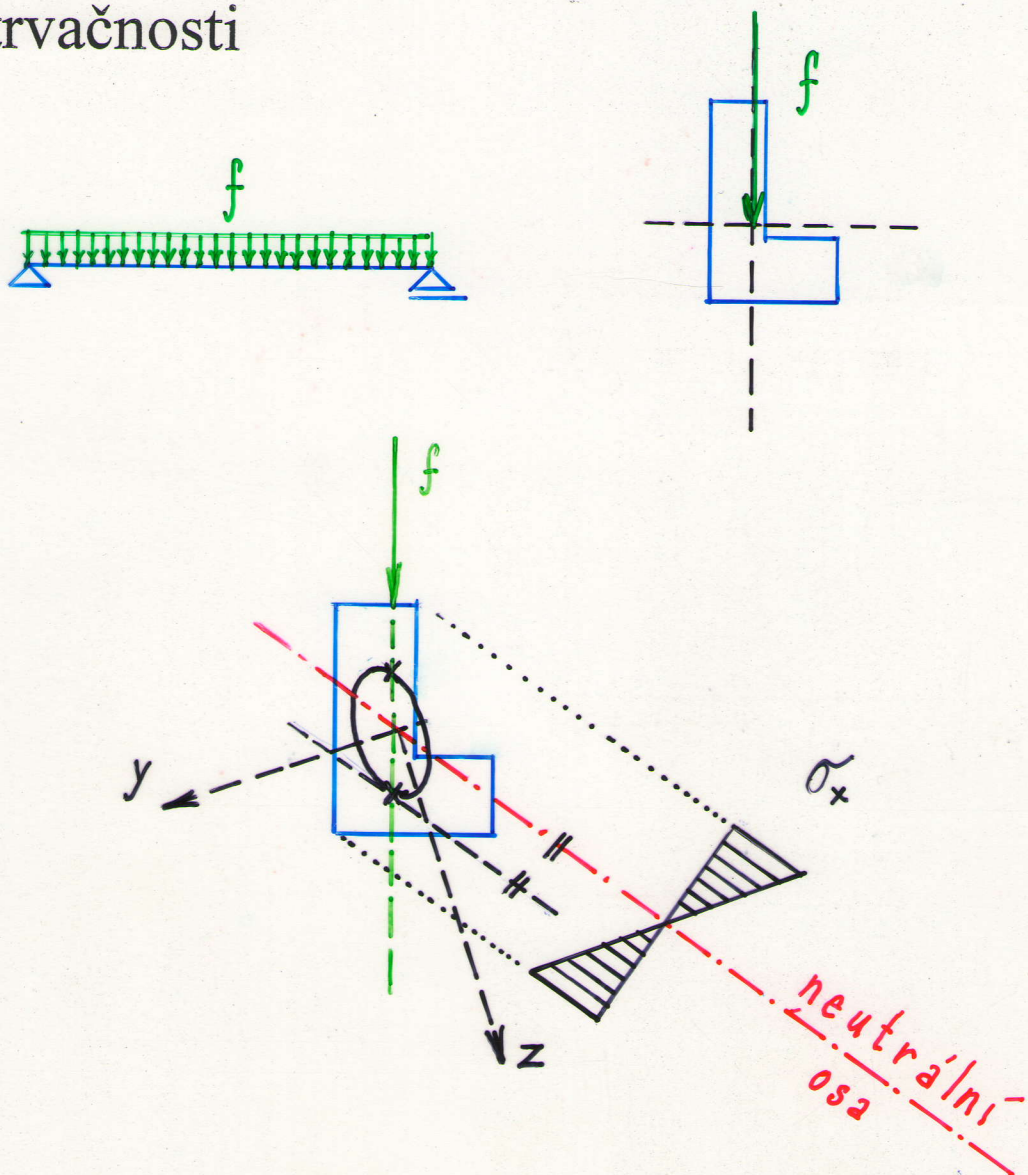
$$\sigma_x = -\frac{M_z I_y + M_y D_{yz}}{I} y + \frac{M_y I_z + M_z D_{yz}}{I} z$$

$$I = I_y I_z - D_{yz}^2$$

Neutrální osa: $\sigma_x = 0$

$$-\frac{M_z}{I_z}y + \frac{M_y}{I_y}z = 0$$

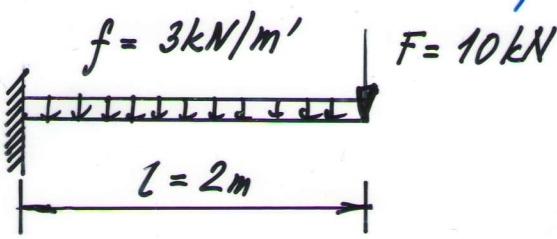
- je přímka procházející těžištěm průřezu
- není kolmá k rovině zatížení
- paprsek zatížení a neutrální osa tvoří sdružené směry v hlavní centrální elipse setrvačnosti



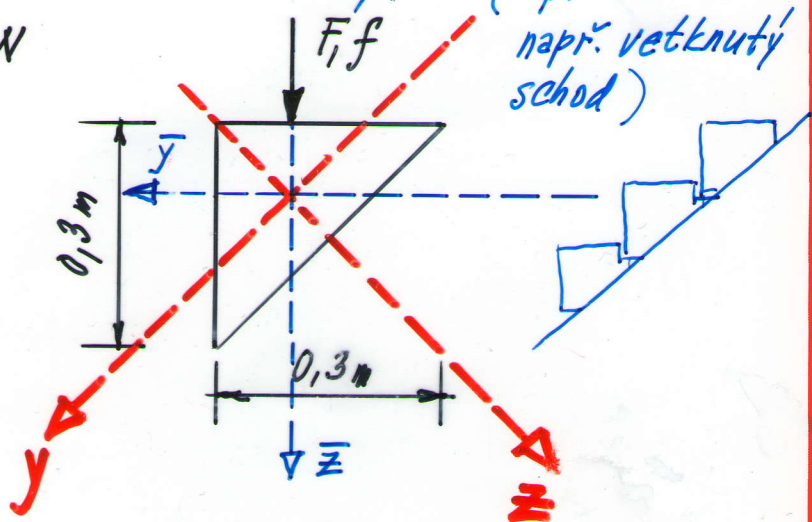
Příklad: Vypočítejte průběh normálového napětí v nejvíce namáhaném průřezu konzoly.

(Aplikace:

napr. větrný schod)



y, z ... hlavní osy
 \bar{y}, \bar{z} ... pomocné osy

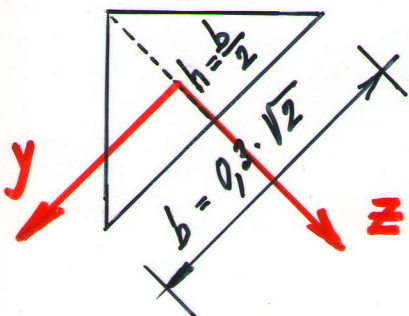
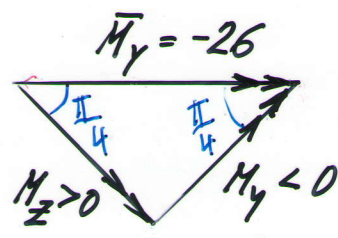


① Řešení v hlavních osách y, z

$$\max M_y = -FL - f \frac{c^2}{2} = -26 \text{ kNm}$$

$$\max M_y = -|\max M_y| \cdot \sin \frac{\pi}{4} = -18,4 \text{ kNm}$$

$$\max M_z = |\max M_y| \cdot \cos \frac{\pi}{4} = +18,4 \text{ kNm}$$



$$b = 0,42 \text{ m} \quad h = 0,21 \text{ m}$$

$$I_y = \frac{1}{36} b h^3 = 1,125 \cdot 10^{-4} \text{ m}^4$$

$$I_z = \frac{1}{48} h b^3 = 3,375 \cdot 10^{-4} \text{ m}^4$$

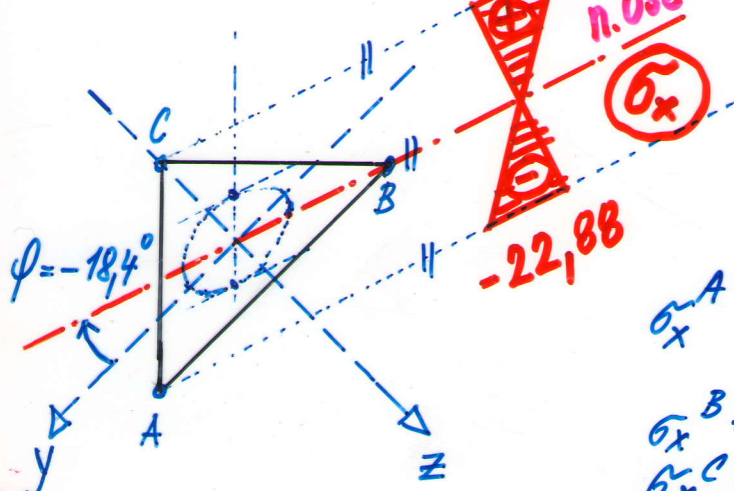
$$\sigma_x = -\frac{M_z}{I_z} y + \frac{M_y}{I_y} \alpha y$$

$$\sigma_x = -\frac{18,4 \cdot 10^{-3}}{3,375 \cdot 10^{-4}} y + \frac{-18,4 \cdot 10^{-3}}{1,125 \cdot 10^{-4}} \alpha \text{ [MPa]}$$

$$\sigma_x = -54,47 y - 163,42 \alpha$$

$$\text{n. osa: } -54,47 y - 163,42 \alpha = 0$$

$$\operatorname{tg} \varphi = \frac{\alpha}{y} = -\frac{1}{3} \Rightarrow \varphi = -18,4^\circ$$



$$A [0,21; 0,07]$$

$$B [-0,21; 0,07]$$

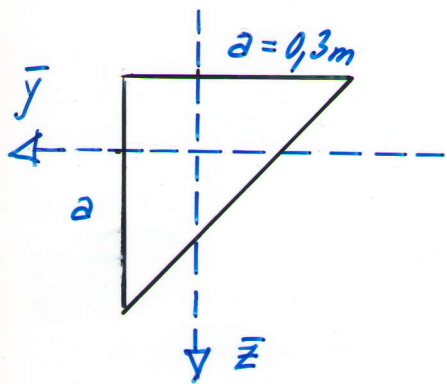
$$C [0; -0,14]$$

$$\sigma_x^A = -54,47 \cdot 0,21 - 163,42 \cdot 0,07 = \\ = -22,88 \text{ MPa}$$

$$\sigma_x^B = 0$$

$$\sigma_x^C = 22,88 \text{ MPa}$$

(2) Řešení v pomocných osách \bar{y}, \bar{z}



$$\bar{M}_y = -26 \text{ kNm} ; \quad \bar{M}_z = 0$$

$$\bar{I}_y = \bar{I}_z = \frac{1}{36} a^4 = 2,25 \cdot 10^{-4} \text{ m}^4$$

$$\bar{D}_{yz} = \frac{1}{72} a^4 = 1,125 \cdot 10^{-4} \text{ m}^4$$

$$I = \bar{I}_y \bar{I}_z - \bar{D}_{yz}^2 = 3,8 \cdot 10^{-8} \text{ m}^8$$

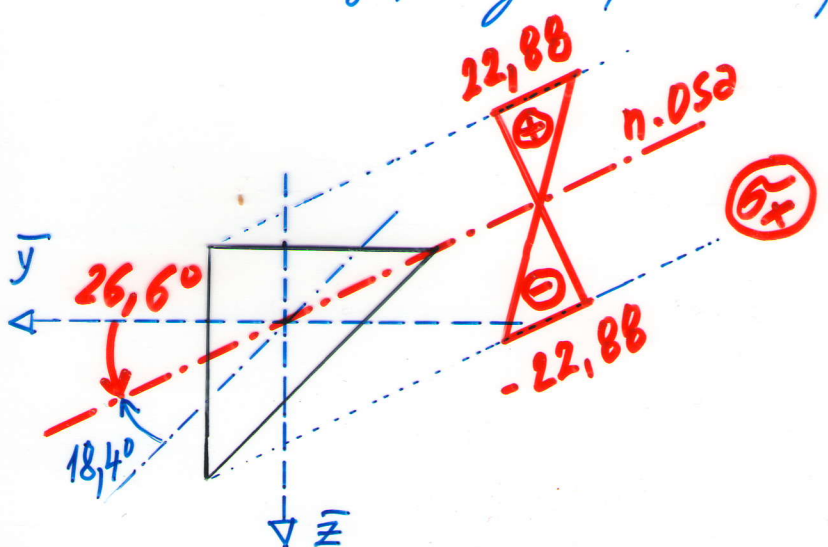
$$\sigma_x = - \frac{\bar{M}_z \bar{I}_y + \bar{M}_y \bar{D}_{yz}}{I} \bar{y} + \frac{\bar{M}_y \bar{I}_z + \bar{M}_z \bar{D}_{yz}}{I} \bar{z}$$

$$[\text{MPa}] \quad \tilde{\sigma}_x = - \frac{-0,026 \cdot 1,125 \cdot 10^{-4}}{3,8 \cdot 10^{-8}} \bar{y} + \frac{-0,026 \cdot 2,25 \cdot 10^{-4}}{3,8 \cdot 10^{-8}} \bar{z}$$

$$\tilde{\sigma}_x = 76,974 \bar{y} - 153,947 \bar{z}$$

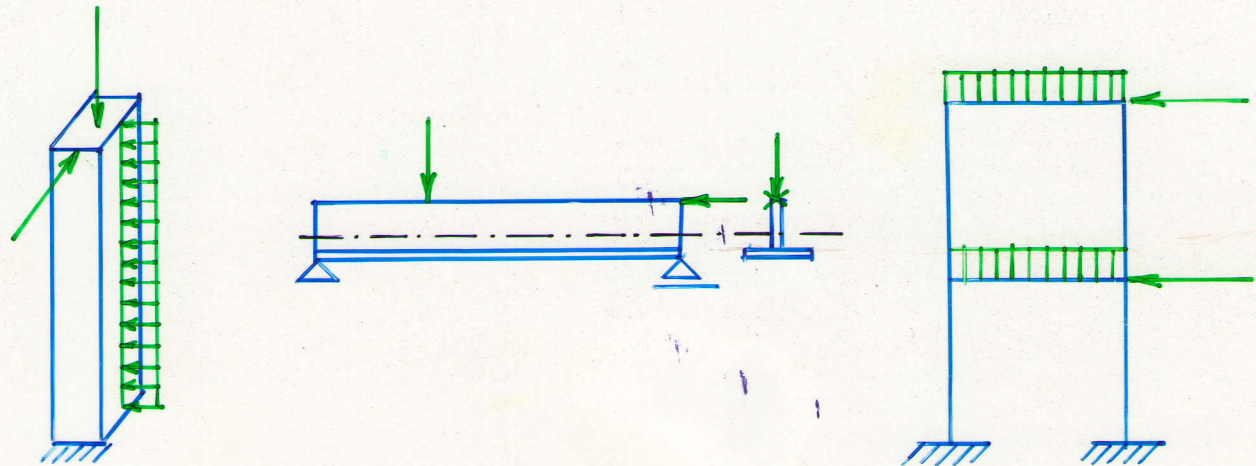
$$\text{n.0sa: } 76,974 \bar{y} - 153,947 \bar{z} = 0$$

$$\tan \varphi = \frac{\bar{z}}{\bar{y}} = 0,5 \rightarrow \varphi = 26,6^\circ$$



4. Kombinace tahu (tlaku) s ohybem

Účinek N_x, M_y, M_z



Normálové napětí σ_x :

a) Vyjádření v hlavních osách y, z

$$\sigma_x = \frac{N_x}{A} - \frac{M_z}{I_z} y + \frac{M_y}{I_y} z$$

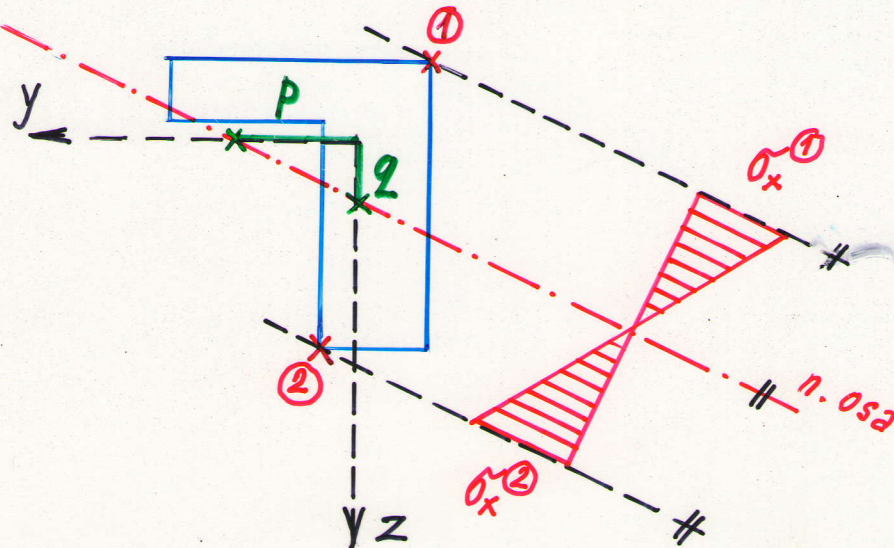
b) Vyjádření v osách y, z, které nejsou hlavní

$$\sigma_x = \frac{N_x}{A} - \frac{M_z I_y + M_y D_{yz}}{I} y + \frac{M_y I_z + M_z D_{yz}}{I} z$$

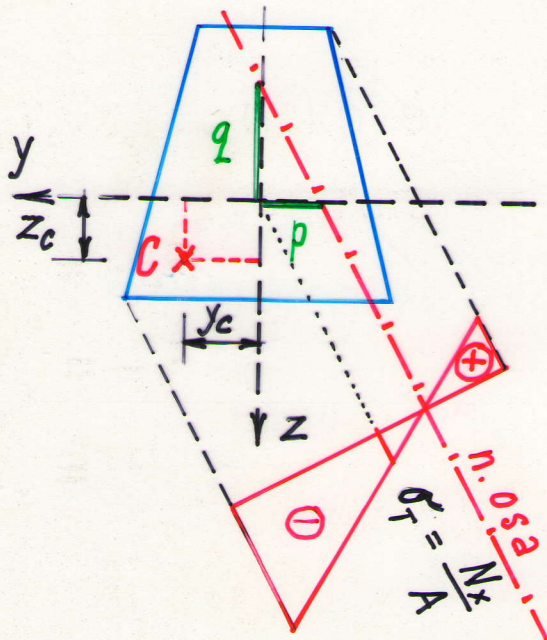
$$I = I_y I_z - D_{yz}^2$$

(n.o. neprochází tříšklem)

Poloha neutrální osy ($\sigma_x = 0$): $a + b y + c z = 0$
 úsekový tvar přímky... $z = 0 \Rightarrow p = y_N = \dots$
 $y = 0 \Rightarrow q = z_N = \dots$



- Excentricky působící tlaková síla F ... zvláštní případ
 rovnoběžná s osou x (osy y, z jsou hlavní)



$C(y_c, z_c)$... tlakové centrum

$$N_x = -F$$

$$M_y = -F \cdot z_c$$

$$M_z = F \cdot y_c$$

neutr. osa: $0 = -\frac{F}{A} - \frac{F \cdot y_c}{i_z^2 \cdot A} y - \frac{F \cdot z_c}{i_y^2 \cdot A} z \quad | \cdot \frac{-A}{F}$

$$I_z = A \cdot i_z^2$$

$$I_y = A \cdot i_y^2$$

$$0 = 1 + \frac{y_c}{i_z^2} y + \frac{z_c}{i_y^2} z$$

Úseky neutrální osy na hlavních osách y, z:

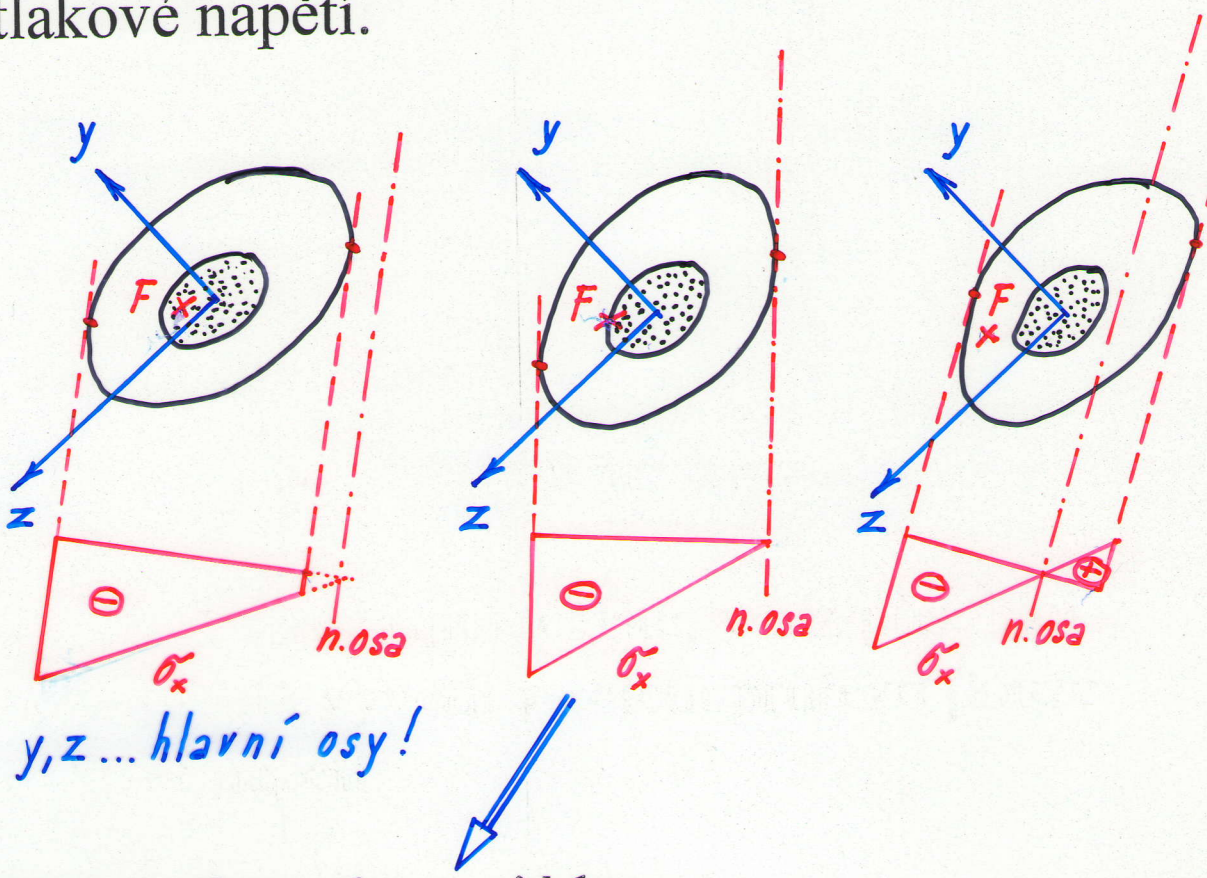
$$z = 0 \dots \boxed{p = -\frac{i_z^2}{y_c}}$$

$$y = 0 \dots \boxed{q = -\frac{i_y^2}{z_c}}$$

Vzorce se využijí pro konstrukci tzv. **jádra průřezu**.

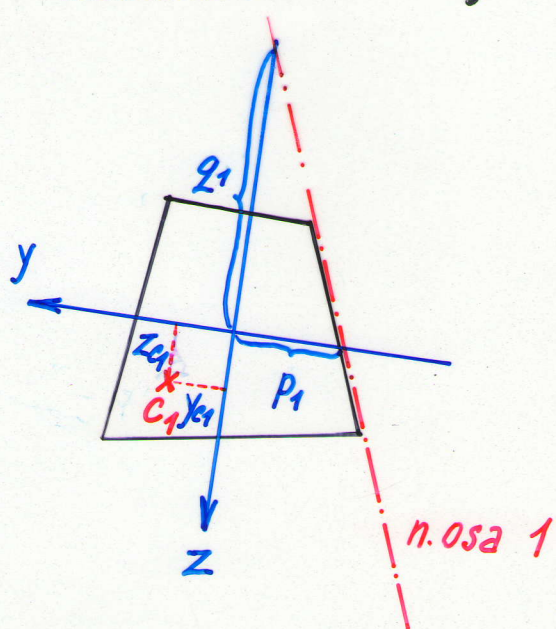
Jádro průřezu

je oblast obsahující těžiště, v níž působící tlaková síla vyvodí v celém průřezu pouze tlakové napětí.

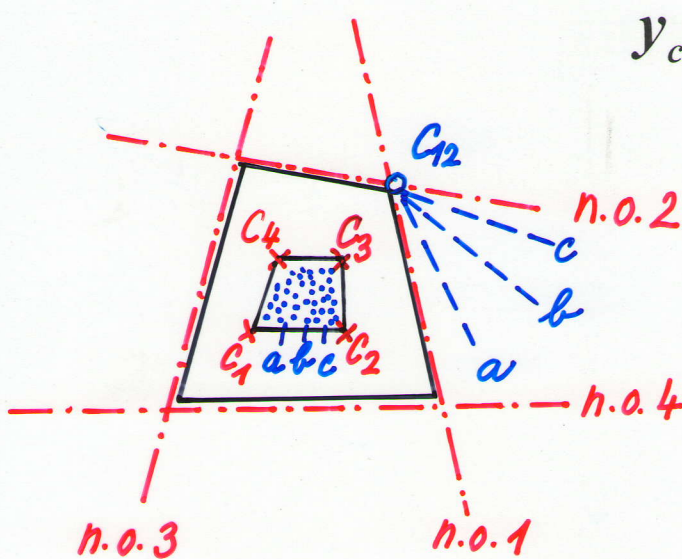


Konstrukce obrysu jádra:

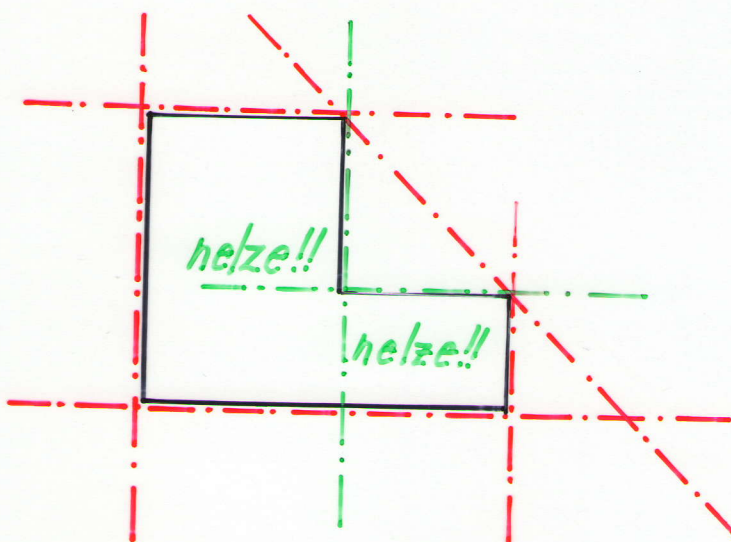
Neutrální osy se kladou postupně jako obálky průřezu, určí se úseky p , q a odpovídající tlaková centra na obrysu jádra ze vzorců



$$y_c = -\frac{i_z^2}{p}, \quad z_c = -\frac{i_y^2}{q}$$



Obálka musí tvořit konvexní útvar



Použití jádra: konstrukční části z materiálů špatně vzdorujících tahu (např. beton) se snažíme zatěžovat excentrickou osovou silou působící v jádře průřezu.

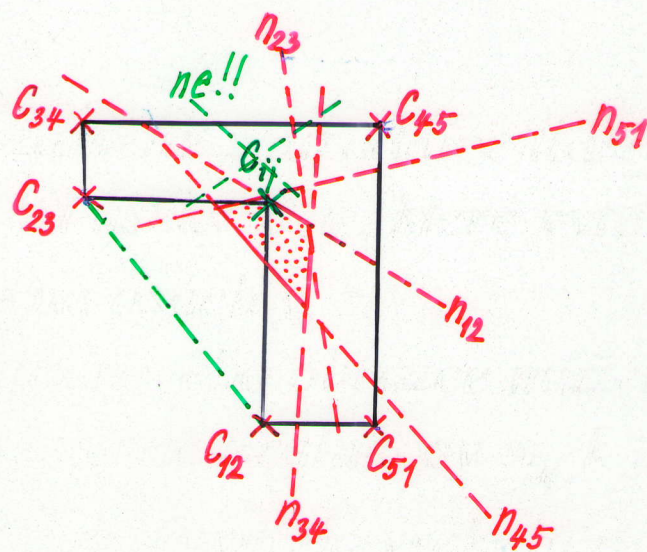
Poznámka:

Při konstrukci jádra je možné uplatnit tzv. *princip duality*. Ve vzorcích

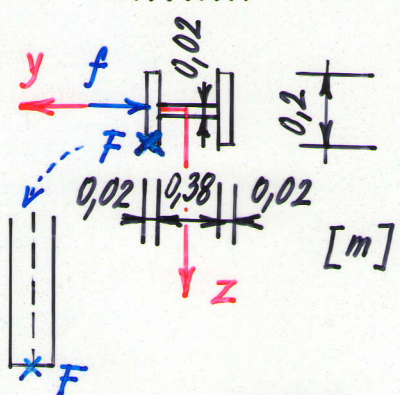
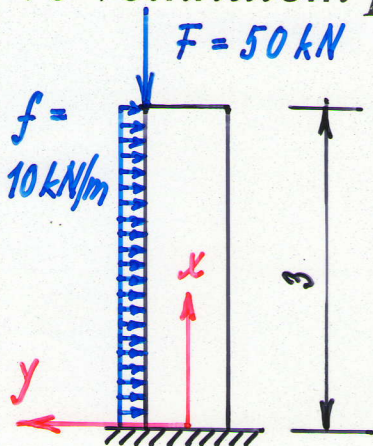
$$y_c = -\frac{i_z^2}{p}, \quad z_c = -\frac{i_y^2}{q}$$

lze formálně zaměnit souřadnice tlakového centra y_c, z_c za úseky p, q , které vytíná neutrální osu na osách y, z .

Proto strany jádrového obrazce můžeme sestrojit také jako neutrální osy n_{ij} k tlakovým centrům C_{ij} , umístěným do vrcholů průřezu (resp. doplněného konvexního útvaru).



Příklad 1: Určete průběh normálového napětí ve veknutém průřezu sloupu.



$$N_x = -50 \text{ kN}$$

$$M_y = -50 \cdot 0,1 = -5,0 \text{ kNm}$$

$$M_z = 50 \cdot 0,2 - 10 \cdot 3 \cdot 1,5 \\ = -35 \text{ kNm}$$

$$A = 0,0156 \text{ m}^2$$

$$I_y = 2,7 \cdot 10^{-5} \text{ m}^4$$

$$I_z = 41,2 \cdot 10^{-5} \text{ m}^4$$

$$\sigma_x = -\frac{0,05}{0,0156} - \frac{-0,035}{41,2 \cdot 10^{-5}} y + \frac{-0,005}{2,7 \cdot 10^{-5}} z \text{ [MPa]}$$

$$\underline{\sigma_x = -3,205 + 84,951y - 185,285z}$$

neutrální osa... $\sigma_x = 0$

$$-3,205 + 84,951y - 185,285z = 0$$

$$z = 0 \dots \underline{p = 0,038 \text{ m}}$$

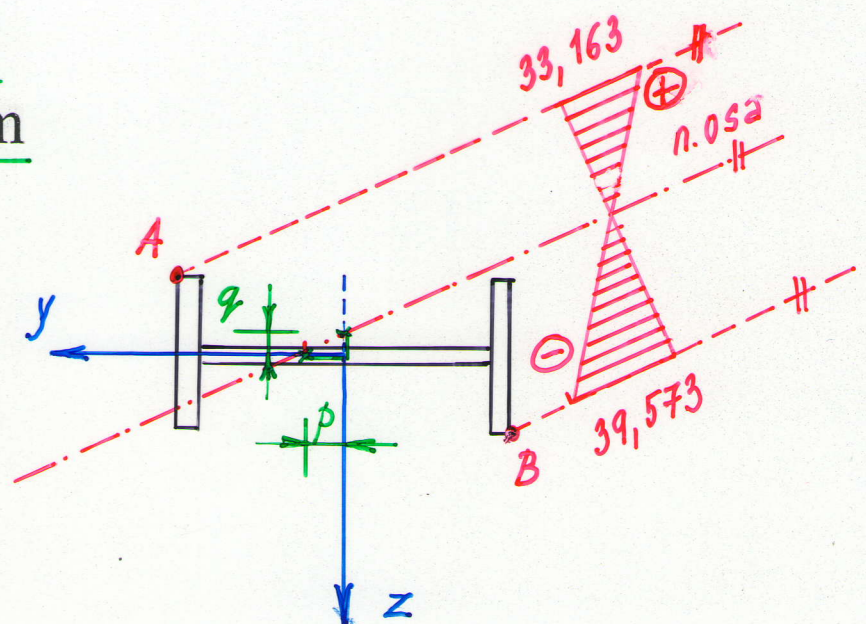
$$y = 0 \dots \underline{q = -0,017 \text{ m}}$$

$$A[0,21;-0,1]$$

$$B[-0,21;0,1]$$

$$\underline{\sigma_x^A = 33,163 \text{ MPa}}$$

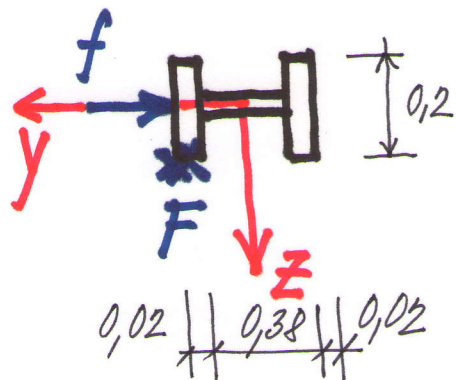
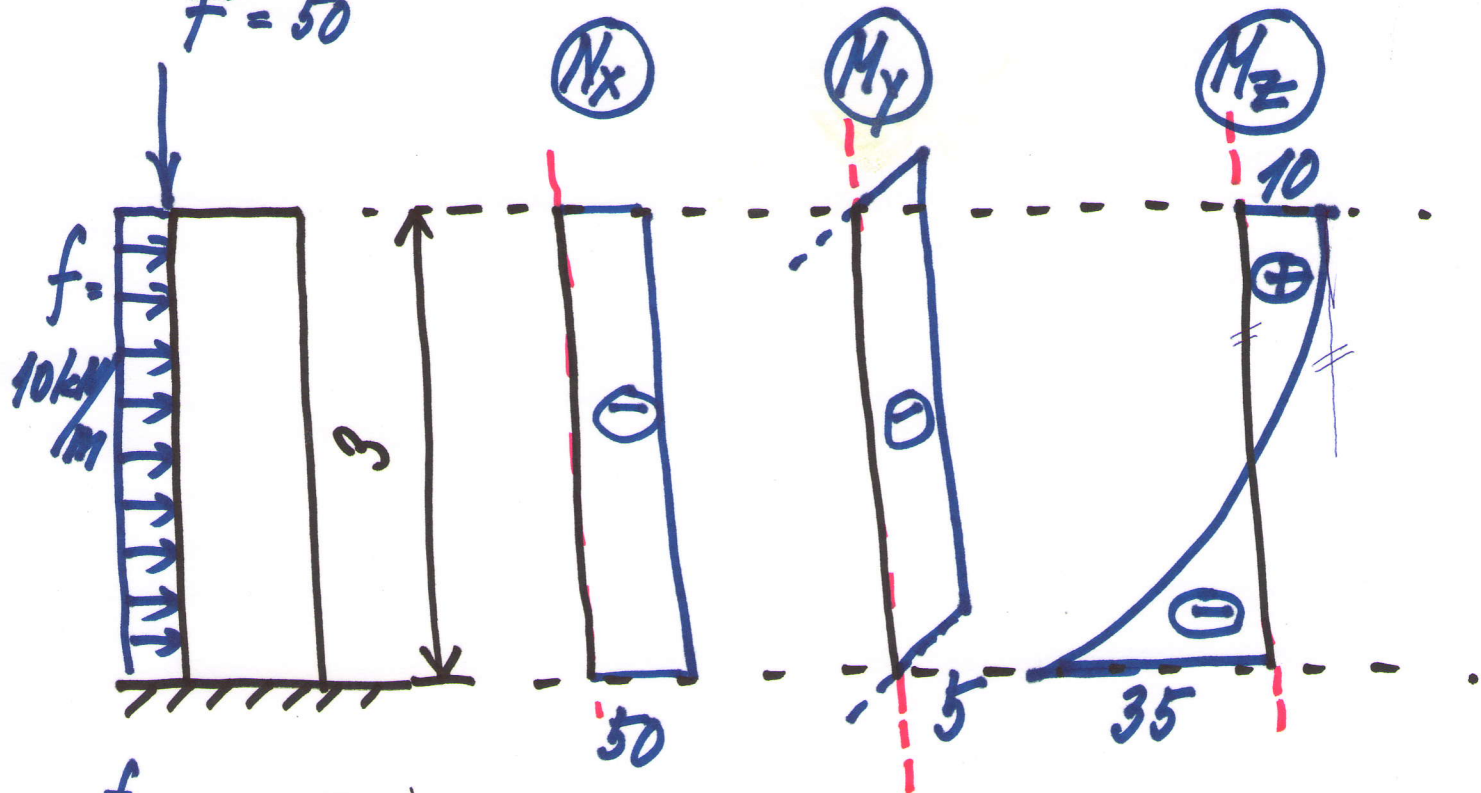
$$\underline{\sigma_x^B = -39,573 \text{ MPa}}$$



$[kN, m]$

111-7a

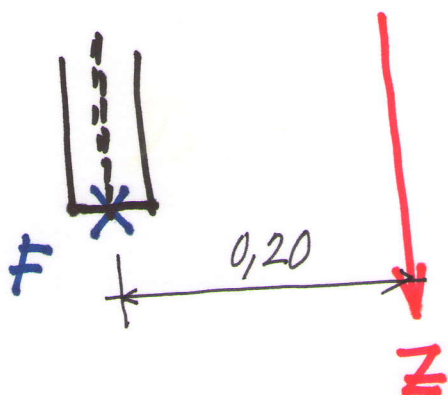
$F = 50$



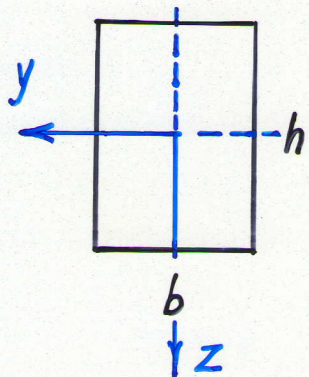
$$M_y = -50 \cdot 0,1 = \underline{-5 \text{ kNm}}$$

$$M_z^h = 50 \cdot 0,2 = \underline{10 \text{ kNm}}$$

$$\begin{aligned} M_z^d &= 50 \cdot 0,2 - 10 \cdot 3 \cdot 1,5 = \\ &= \underline{-35 \text{ kNm}} \end{aligned}$$

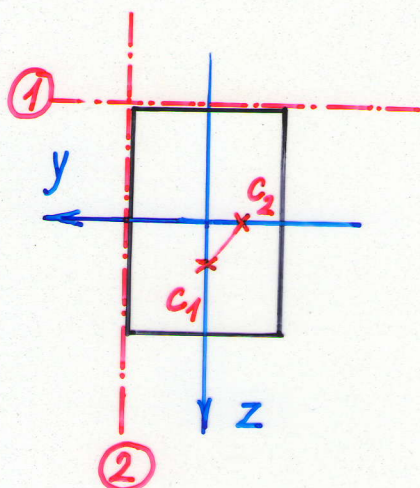


Příklad 2: Určete jádro obdélníkového průřezu.



$$i_y^2 = \frac{I_y}{A} = \frac{\frac{1}{12}bh^3}{bh} = \frac{h^2}{12}$$

$$i_z^2 = \frac{I_z}{A} = \frac{\frac{1}{12}b^3h}{bh} = \frac{b^2}{12}$$



n. o. ① ... $p \rightarrow \infty; q = -\frac{h}{2}$

$$\underline{y_{c1}} = -\frac{i_z^2}{p} = 0$$

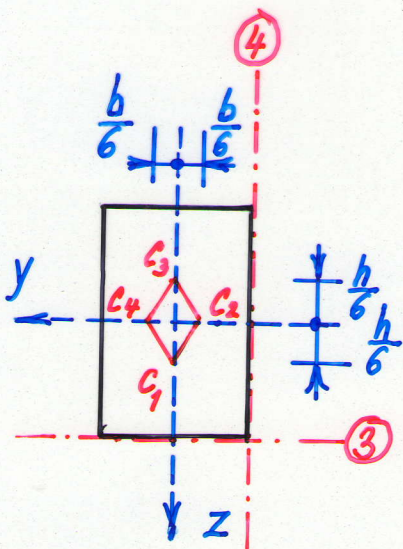
$$\underline{z_{c1}} = -\frac{i_y^2}{q} = \frac{h}{6}$$

n. o. ② ... $p = \frac{b}{2}; q \rightarrow \infty$

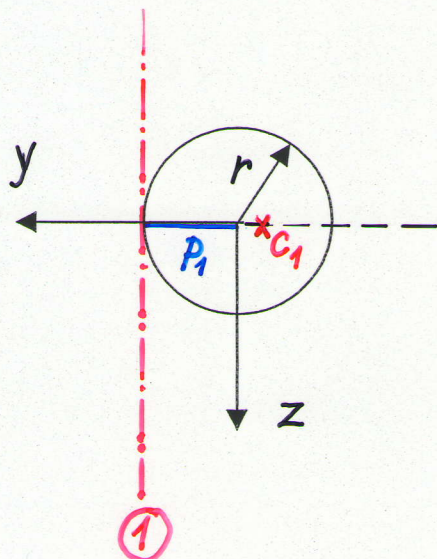
$$\underline{y_{c2}} = -\frac{b}{6}$$

$$\underline{z_{c2}} = 0$$

(dále využít symetrie)



Příklad 3: Určete jádro kruhového průřezu.



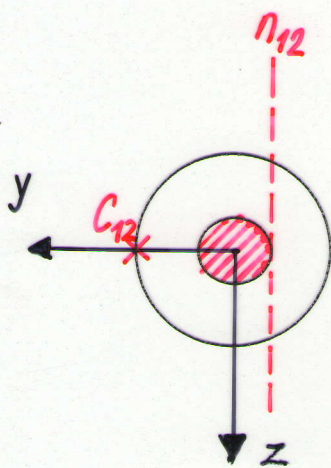
$$i_y^2 = i_z^2 = \frac{1}{4} \pi r^4 = \frac{r^2}{4}$$

n. o. 1 ... $p_1 = r; q_1 \rightarrow \infty$

$$\underline{y_{c_1}} = -\frac{i_z^2}{p} = -\frac{r}{4}$$

$$\underline{z_{c_1}} = -\frac{i_y^2}{q} = 0$$

Z rotační symetrie průřezu vyplývá rotačně symetrický tvar jádra.



Dualita:

$$y_{c_{12}} = r$$

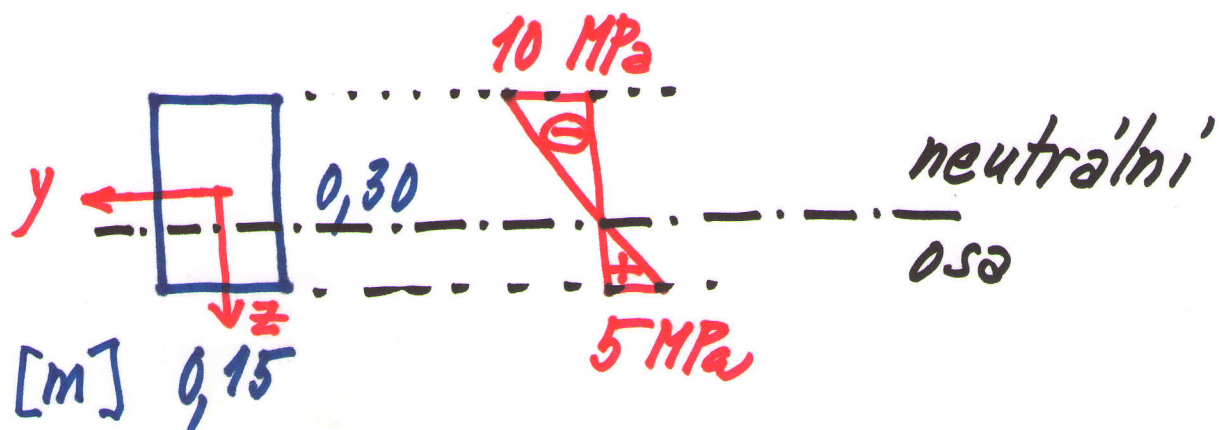
$$z_{c_{12}} = 0$$

$$p_{12} = -\frac{i_z^2}{y_{c_{12}}} = -\frac{\frac{r^2}{4}}{r} = -\frac{r}{4}$$

$$q_{12} = -\frac{i_y^2}{z_{c_{12}}} = -\frac{\frac{r^2}{4}}{0} \rightarrow \infty$$

PRÍKLDY

① Jaké vnitřní sily působi v průřezu, je-li průběh σ_x následující:



$$\boxed{N_x, M_y} ?$$

$$A = 0,045 \text{ m}^2$$

$$I_y = 0,0003375 \text{ m}^4$$

$$\underline{\sigma_x = \frac{N_x}{A} + \frac{M_y}{I_y} z}$$

$$(1) \quad 5 = \frac{N_x}{0,045} + \frac{M_y}{3,375 \cdot 10^{-4}} \cdot 0,15$$

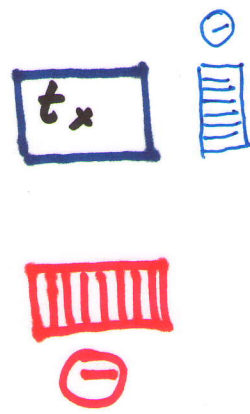
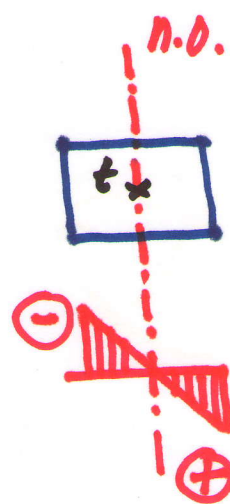
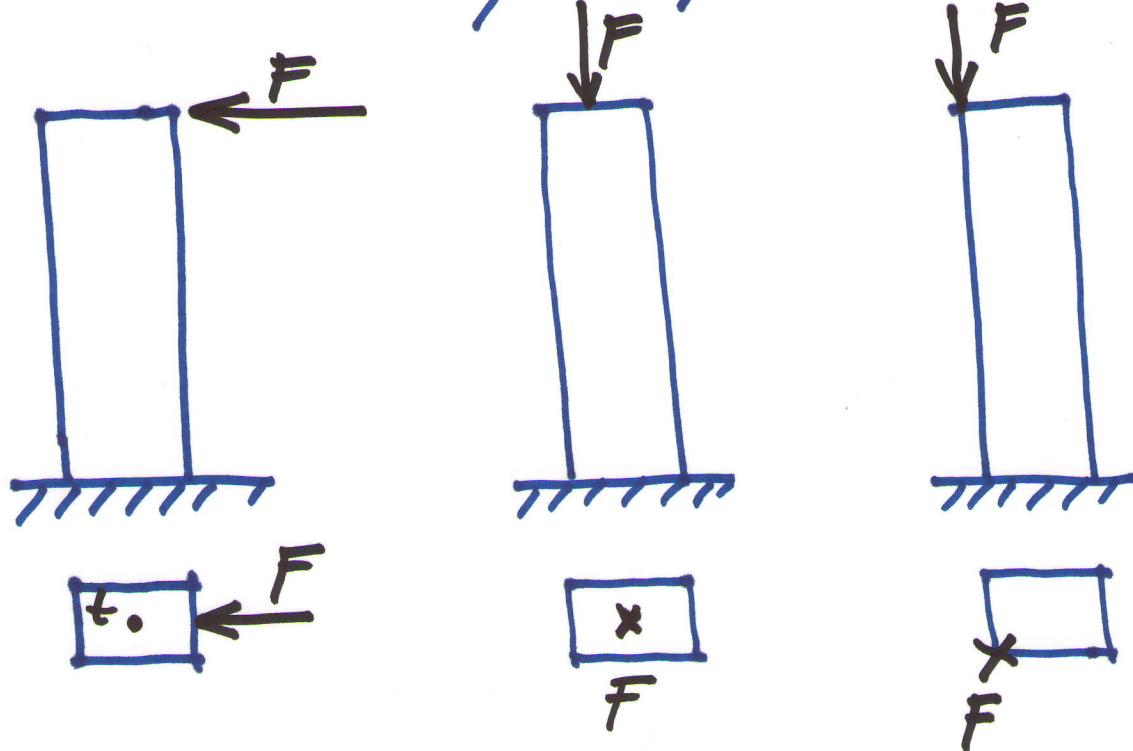
$$(2) \quad -10 = \frac{N_x}{0,045} + \frac{M_y}{3,375 \cdot 10^{-4}} \cdot (-0,15)$$



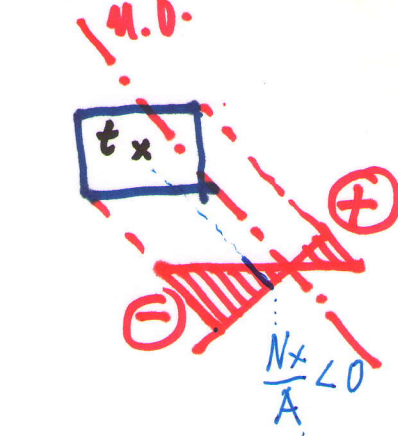
$$\parallel N_x = -0,1125 \text{ MN}$$

$$\parallel M_y = 0,016875 \text{ MNm}$$

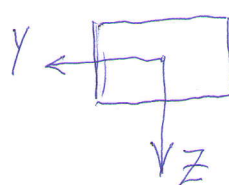
② Načrtněte průběhy σ_x ve veknutých průřezech:



prostý tlak



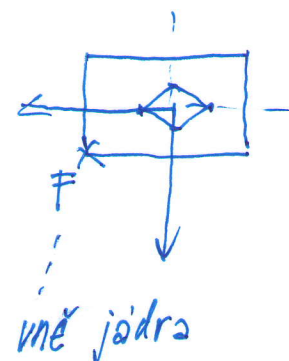
excentrický tlak



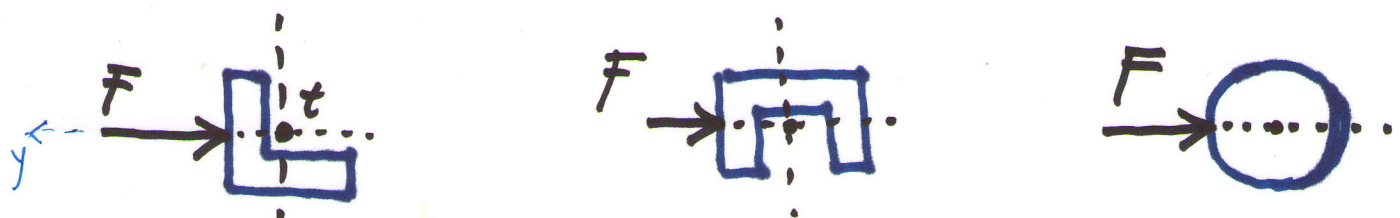
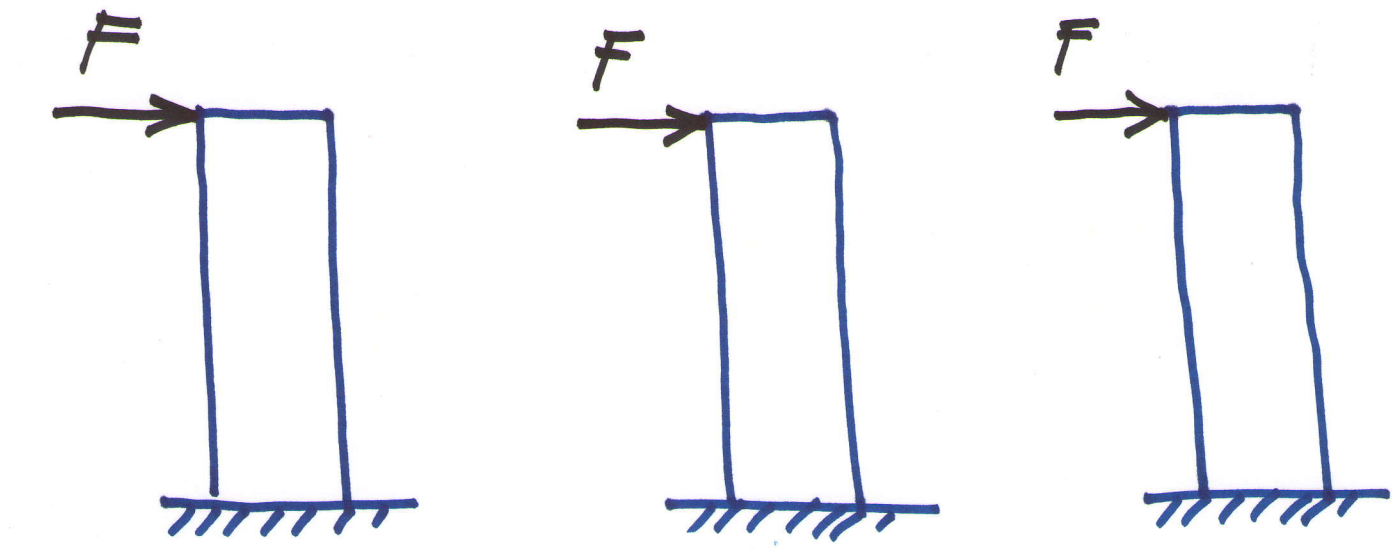
$$\sigma_x = -\frac{M_z}{I_z} y'$$

$$\sigma_x = \frac{N_x}{A} = \frac{-F}{A}$$

$M_z \neq 0$
jednoduchý ohýb



meř jádra

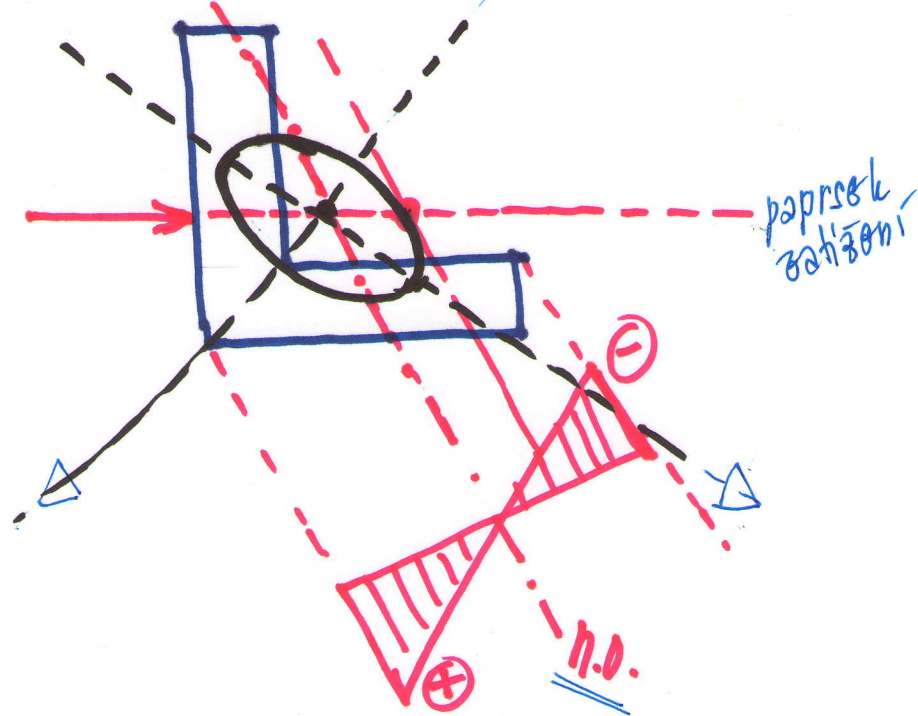


síkmy ohyb !!

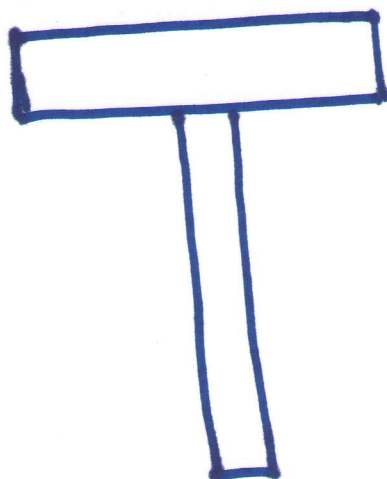
($y_1 z$ nejsou hlavní osy)

jednoduchý ohyb

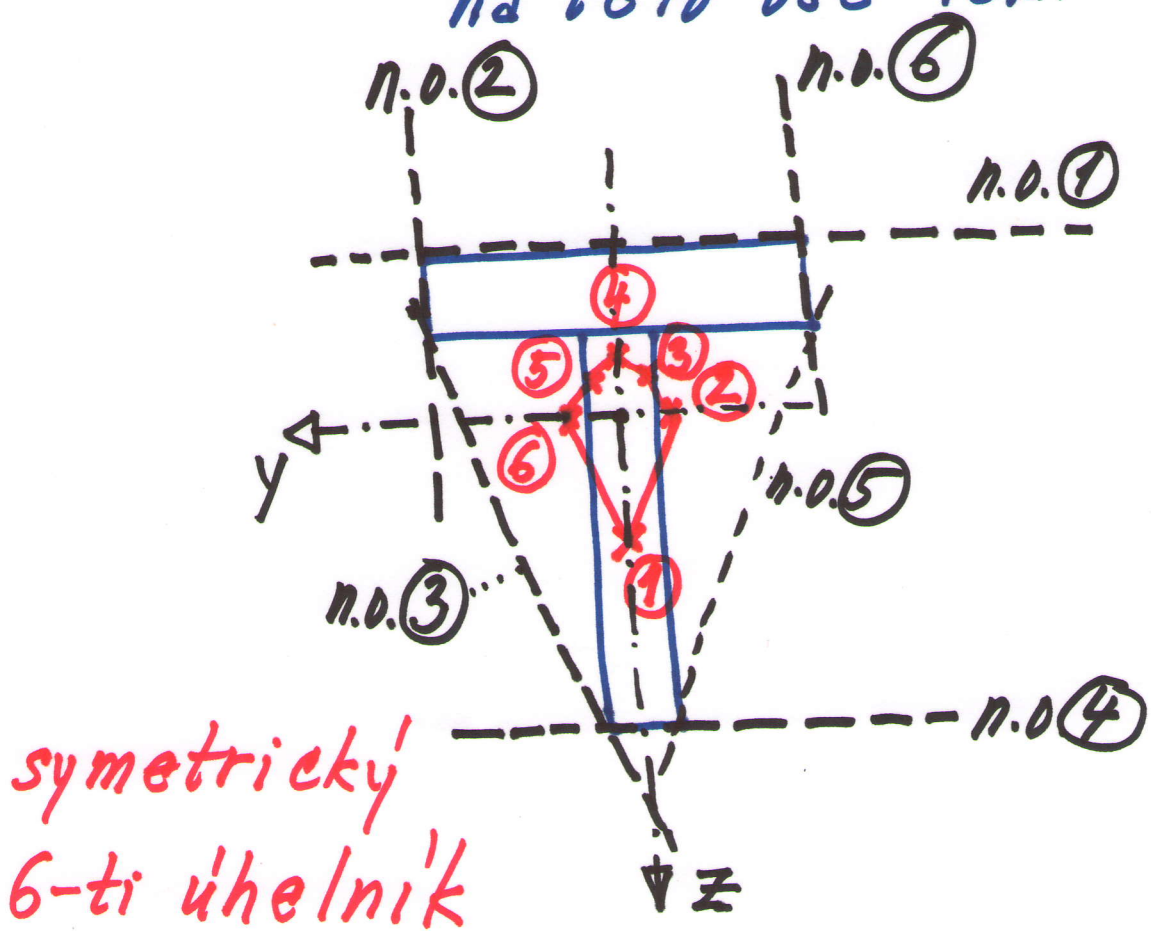
jednoduchý ohyb



③ Načrtněte jádro pružiny



- konvexní obalka pružiny
- n. osa \perp k hlavní ose \Rightarrow jádrový bod
na této ose leží !!!



Přetvoření ohýbaných prutů

3 diferenciální rovnice pro parametry přetvoření u'_0, v'', w'' byly odvozeny ve tvaru (viz přednáška Ohyb prutů):

II/7

$y, z \dots$ nejsou hlavní osy

$$\underline{u'_0} = \frac{N_x}{EA}$$

$$\underline{v''} = \frac{M_z I_y + M_y D_{yz}}{EI} \quad I = I_y I_z - D_{yz}^2$$

$$\underline{w''} = -\frac{M_y I_z + M_z D_{yz}}{EI}$$

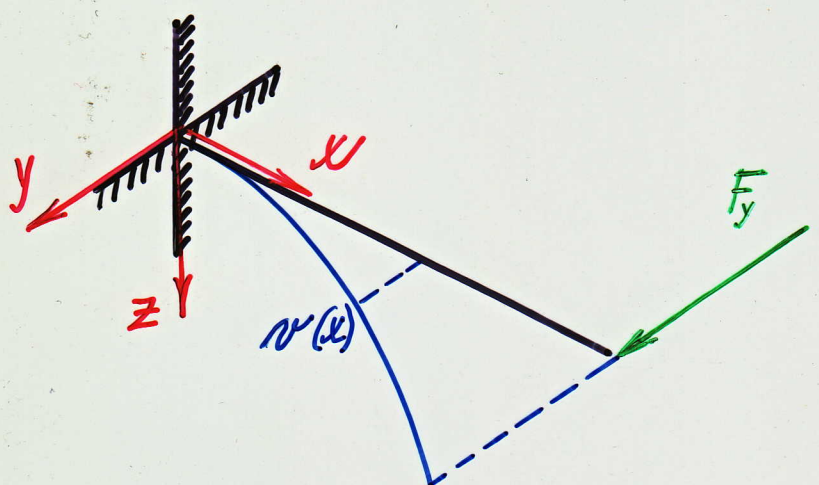
$y, z \dots$ jsou hlavní osy

$$u'_0 = \frac{N_x}{EA}$$

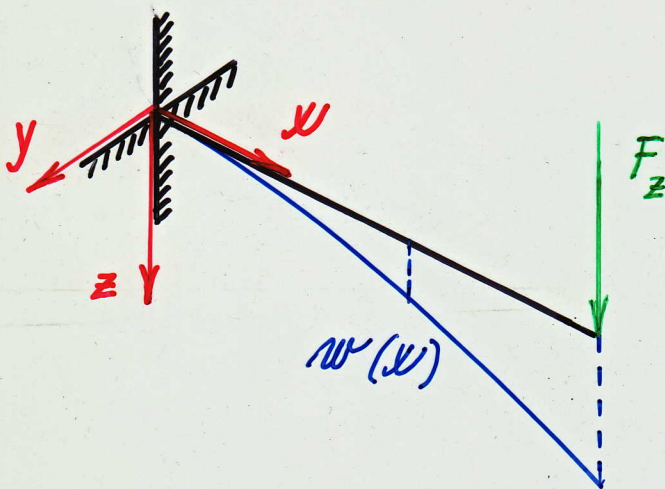
$$v'' = \frac{M_z}{EI_z}$$

$$w'' = -\frac{M_y}{EI_y}$$

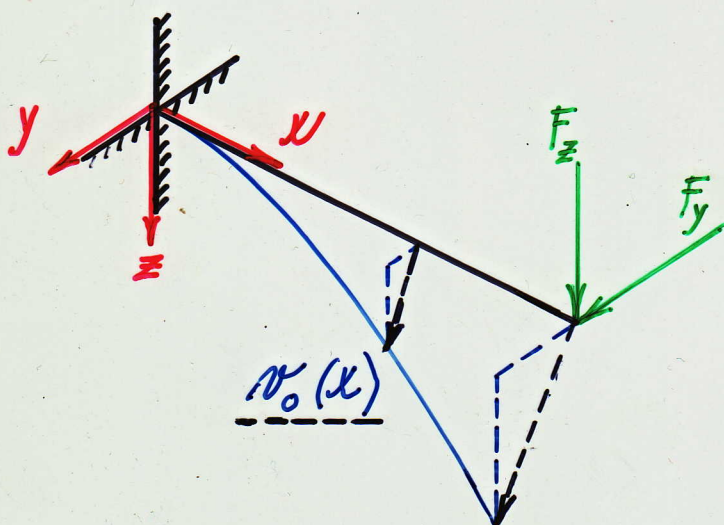
diferenciální rovnice ohybové čáry



$$w'' = \frac{M_z}{EI_z}$$



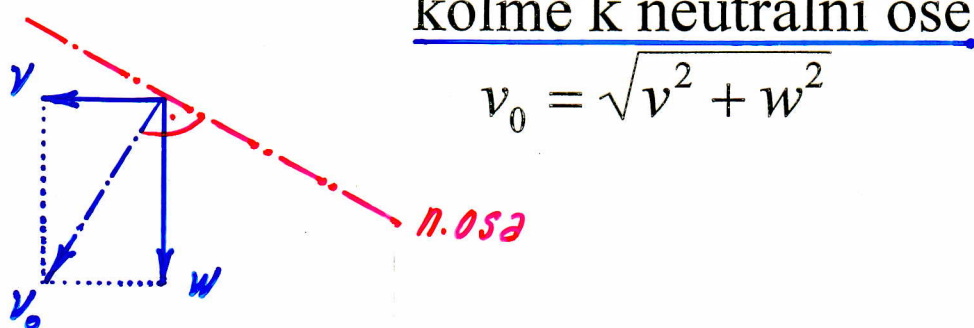
$$w'' = -\frac{M_y}{EI_y}$$



$$w_0 = \sqrt{w^2 + w_z^2}$$

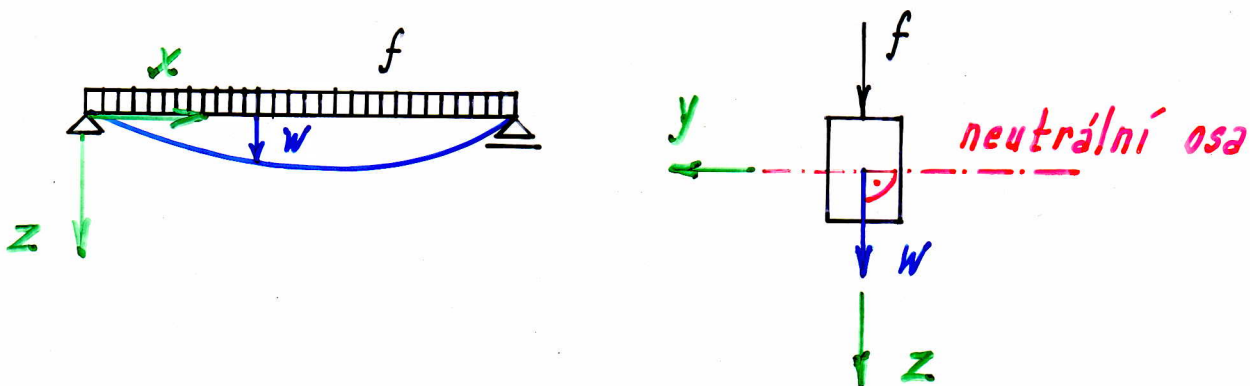
Obecné zatížení prutu \Rightarrow ohybová čára je
prostorová křivka

zatížení v rovině \Rightarrow výsledné průhyby v_0 jsou
kolmé k neutrální ose



$$v_0 = \sqrt{v^2 + w^2}$$

Zvláštní případ \Rightarrow zatížení působí v rovině xz
pouze průhyb $w \neq 0$ ($v = 0$)

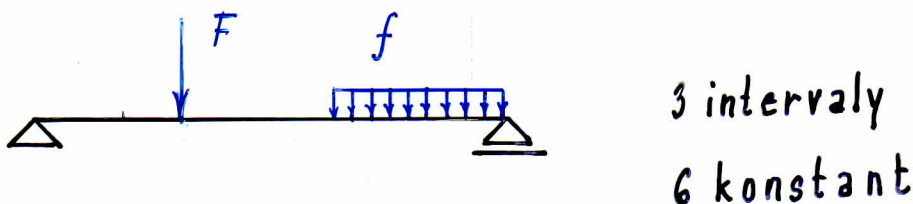


$$w'' = -\frac{M_y}{EI_y}$$

$$w' = \int -\frac{M_y}{EI_y} dx + C_1$$

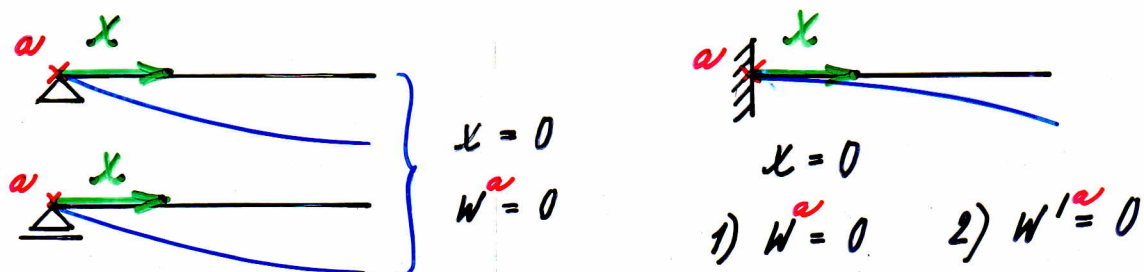
$$w = \int \left(\int -\frac{M_y}{EI_y} dx + C_1 \right) dx + C_2$$

Při nespojitém zatížení... n intervalů →
 2n integračních konstant

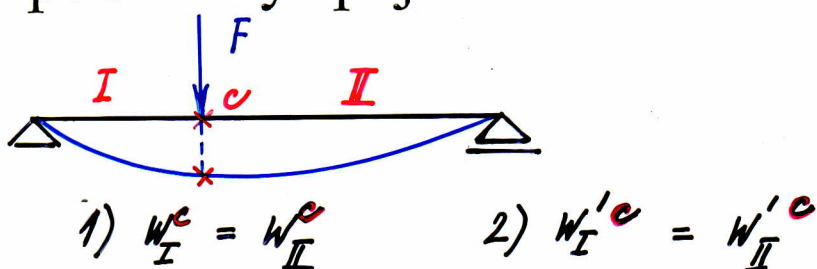


Podmínky pro řešení integračních konstant:

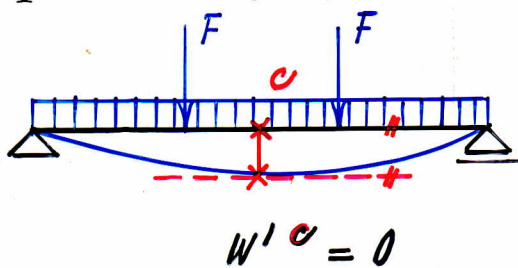
- okrajové podmínky



- podmínky spojitosti

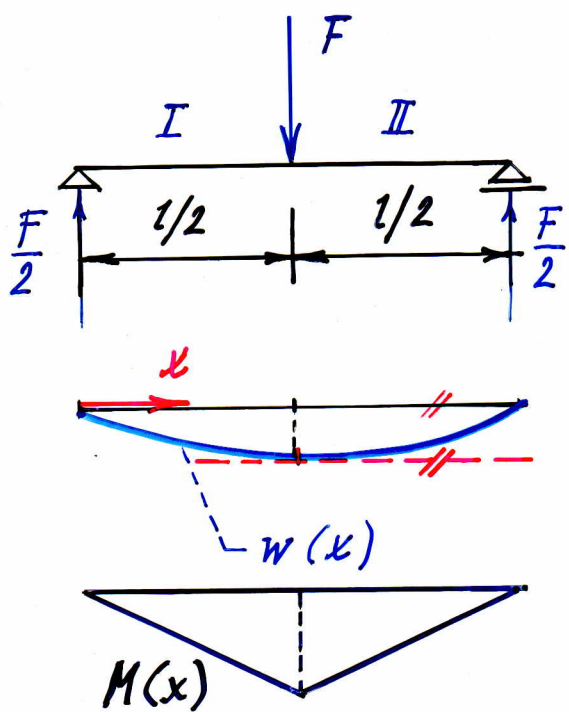


- podmínky symetrie



Příklad: Určete maximální průhyb nosníku, jehož ohybová tuhost je konstantní.

Využití symetrie



Interval I

$$M(x) = \frac{F}{2}x$$

$$EIw'' = -\frac{F}{2}x$$

$$EIw' = -\frac{F}{4}x^2 + C_1$$

$$EIw = -\frac{F}{12}x^3 + C_1x + C_2$$

Okrajové podmínky:

$$1) x=0 \dots w=0 \rightarrow C_2=0$$

Podmínka symetrie:

$$2) x=l/2 \dots w'=0 \rightarrow 0 = -\frac{F}{4}\frac{l^2}{4} + C_1$$

$$C_1 = \frac{Fl^2}{16}$$

$$EIw = -\frac{F}{12}x^3 + \frac{Fl^2}{16}x$$

$$\max w(x = l/2) = \frac{Fl^3}{48EI}$$

Clebschova metoda

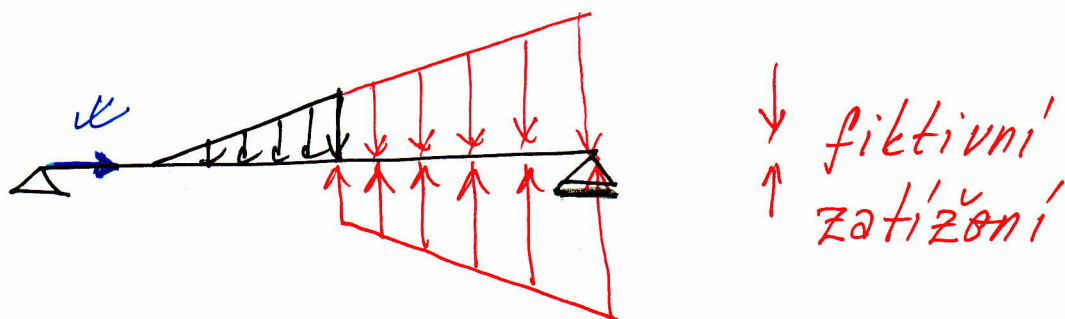
- vhodná pouze pro nosníky s konstantní tuhostí
- při libovolném počtu intervalů zredukuje počet integračních konstant na dvě

Zásady integrace:

- 1) systém souřadnic volit jednotně pro celý nosník
- 2) moment vyjádřit jako součet momentu z předchozího intervalu a dalšího členu
- 3) výrazy typu $(x - a)^n$ integrovat v uzavřeném tvaru tak, aby byly na rozhraní intervalů rovny nule (tedy jako při substituci $t = x - a$, $dx = dt$)

Clebschova metoda - doplněk

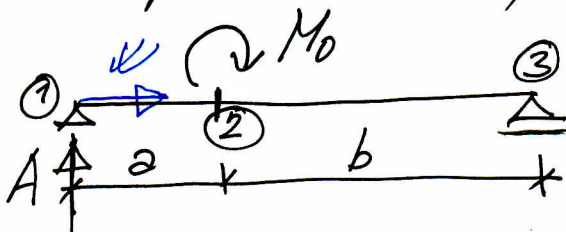
- působi-li na nosník cástečné spojité zatížení → přidat fiktivní zatížení
 („prodloužit“ spojité zatížení až do konce posledního intervalu a zároveň přidat stojné zatížení opačného směru)



(do předchozích intervalů
nepridávat fiktivní zatížení)

- působi-li na nosník osamělý moment
 → nutno integrovat přes $d(x-a)$, nikoli přes dx

(a je vzdálenost působícího momentu od počátku x)



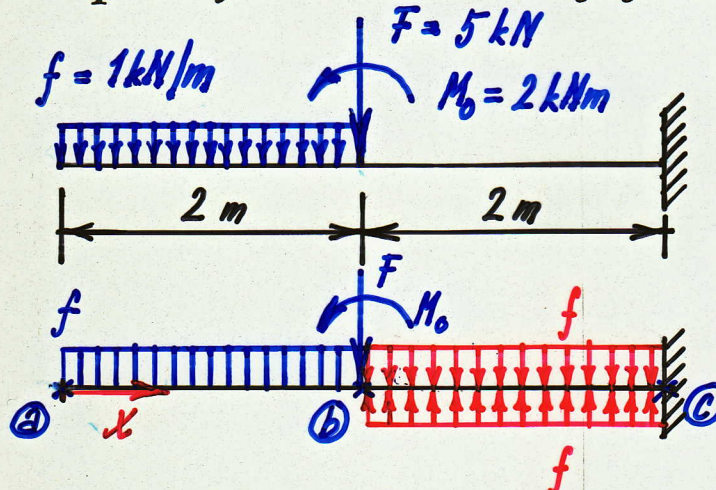
$$EIw'' = -Ax - M_0$$

$$EIw' = -A\frac{x^2}{2} - \underline{\underline{M_0(x-a) + C_1}}$$

!!!

int. ② ③

Příklad: Určete rovnici ohybové čáry konzoly, průhyb a natočení jejího konce. EI je konst.



f ...fiktivní zatížení

Interval $\langle ab \rangle$

$$M = -\frac{x^2}{2}$$

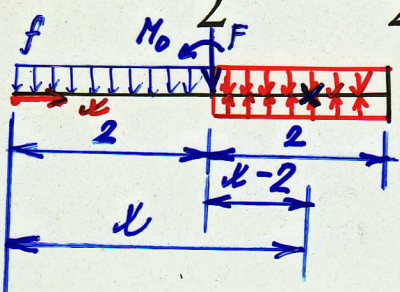
$$EIw'' = \frac{x^2}{2}$$

$$EIw' = \frac{x^3}{6} + C_1$$

$$EIw = \frac{x^4}{24} + C_1x + C_2$$

Interval $\langle bc \rangle$

$$M = -\frac{x^2}{2} + \frac{(x-2)^2}{2} - 5(x-2) - \underline{\underline{2}} \quad (M_0)$$



$$EIw'' = \frac{x^2}{2} - \frac{(x-2)^2}{2} + 5(x-2) + 2$$

$$EIw' = \frac{x^3}{6} - \frac{(x-2)^3}{6} + \frac{5(x-2)^2}{2} + \underline{2(x-2)} + C_3$$

$$EIw = \frac{x^4}{24} - \frac{(x-2)^4}{24} + \frac{5(x-2)^3}{6} + (x-2)^2 + C_3x + C_4$$

Podmínky spojitosti:

a) $x=2 \dots w'_{ab} = w'_{bc} \Rightarrow \underline{C_1 = C_3}$

b) $x=2 \dots w_{ab} = w_{bc} \Rightarrow \underline{C_2 = C_4}$

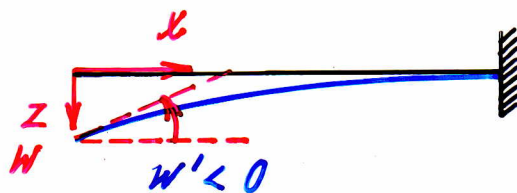
Okrajové podmínky:

1) $x=4 \dots w'_{bc} = 0 \Rightarrow C_3 = C_1 = -\frac{70}{3}$

2) $x=4 \dots w_{bc} = 0 \Rightarrow C_4 = C_2 = \frac{218}{3}$

$$x=0 \dots \max w = \frac{C_2}{EI} = \frac{218}{3EI}$$

$$w'_a = \frac{C_1}{EI} = -\frac{70}{3EI}$$



Poznámka: pozor na jednotky! E [kPa]

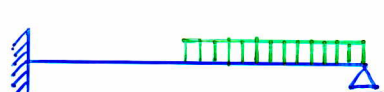
např. $E = 2,1 \cdot 10^5 \text{ MPa}$, $I = 0,214 \cdot 10^{-4} \text{ m}^4$ I [m^4]

$$\max w = \frac{218}{3 \cdot 2,1 \cdot 10^8 \cdot 0,214 \cdot 10^{-4}} \doteq 0,0162 \text{ m}$$

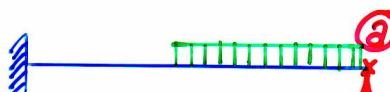
$$w'_a = -0,0052 \text{ rad} \doteq -0,3^\circ$$

Staticky neurčité případy ohybu

Podmínky rovnováhy nestačí k určení vnitřních sil, je třeba připojit podmínky přetvárné (deformační).



1x stat. neurč.

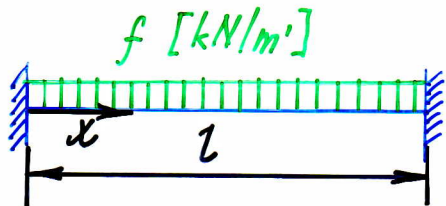


stat. urč.
(zákl. soustava)

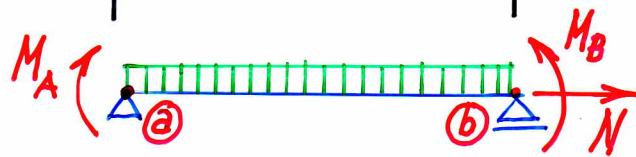
$$w_a = 0$$

přetvárná
podmínka

Příklad: Určete průběh ohybového momentu a maximální průhyb nosníku. EI je konstantní.



3x stat. neurč. konstr.



základní soustava

neznámé: M_A, M_B, N

př. podm.: $w'_A = 0,$

$$w'_B = 0 \quad u_B = 0$$

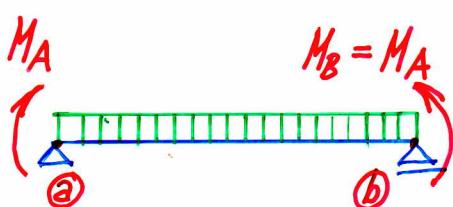
zjednodušení:

$N=0, M_A=M_B$ (symetrie)

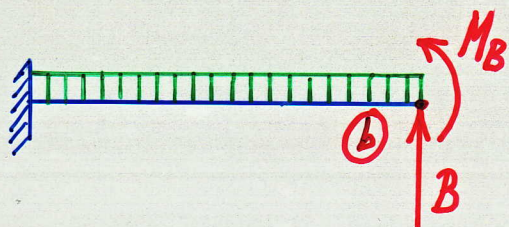
1x stat. neurč. případ

neznámá: M_A

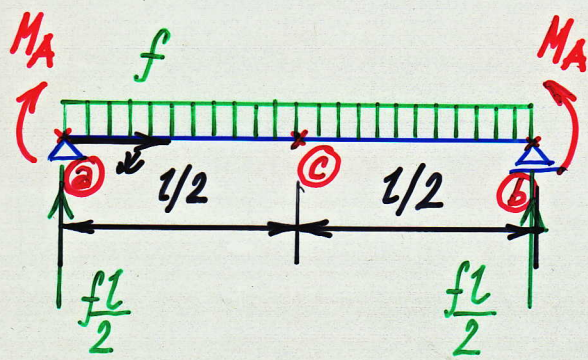
přetvář. podm.: $w'_A = 0$



Poznámka: volba jiné základní soustavy je možná, ale pak nelze využít symetrii =>



2x stat. neurč. případ
neznámé: B , M_B
přetvář. podm.: $w_B = 0$
 $w'_B = 0$



3 podmínky pro
3 neznámé M_A , C_1 , C_2
 $w_A = 0, w'_A = 0, w'_C = 0$
(nebo $w'_B = 0$)

$\langle ac \rangle$

$$M = M_A + \frac{fl}{2}x - \frac{f}{2}x^2$$

$$EIw'' = -M_A - \frac{fl}{2}x + \frac{f}{2}x^2$$

$$EIw' = -M_A x - \frac{fl}{4}x^2 + \frac{f}{6}x^3 + C_1$$

$$EIw = -\frac{M_A}{2}x^2 - \frac{fl}{12}x^3 + \frac{f}{24}x^4 + C_1x + C_2$$

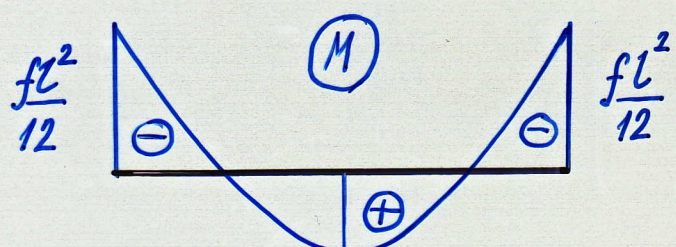
$$1) x=0 \dots w=0 \Rightarrow C_2=0$$

$$2) x=0 \dots w'=0 \Rightarrow C_1=0$$

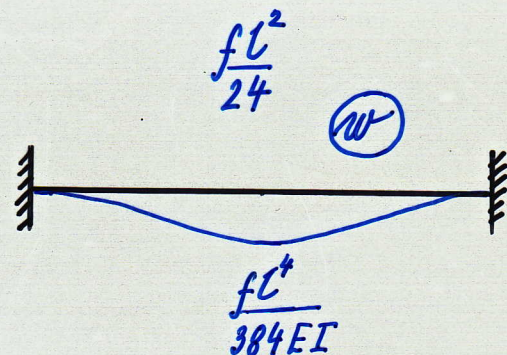
$$3) x=l/2 \dots w'=0 \Rightarrow M_A = -\frac{fl^2}{12}$$

$$M = -\frac{fl^2}{12} + \frac{fl}{2}x - \frac{f}{2}x^2$$

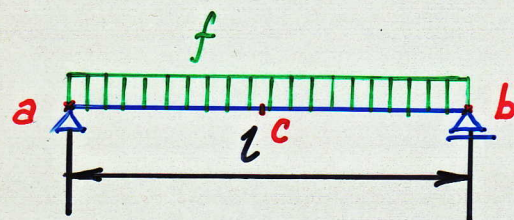
$$x=l/2 \dots M_C = \frac{fl^2}{24}$$



$$\max w_C = \frac{fl^4}{384EI}$$



Porovnání se staticky určitou konstrukcí:

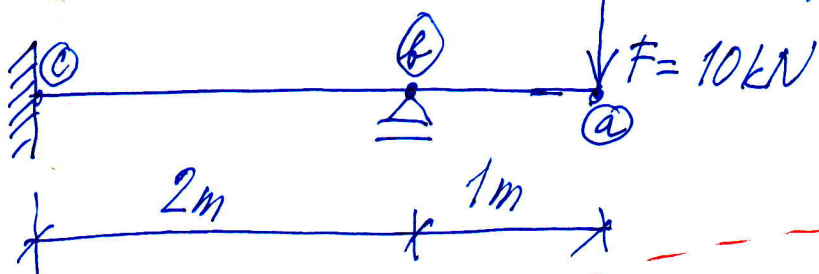


$$\max w_C = \frac{5fl^4}{384EI}$$

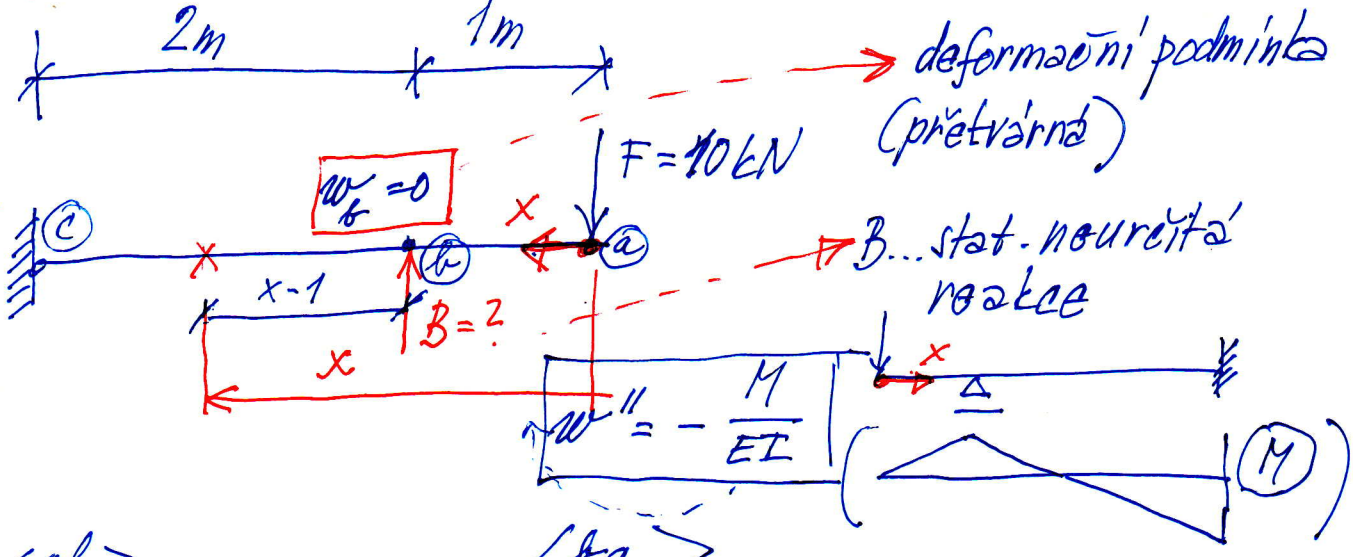
Staticky neurčité konstrukce jsou tužší nežli konstrukce staticky určité!

Příklad: Určete průhyb v bodě a.

$$EI = \text{konst}$$



Z.S.



$\langle ab \rangle$

$$M(x) = -10x$$

$$EIw'' = 10x$$

$$EIw' = 5x^2 + C_1$$

$$\rightarrow EIw = \frac{5}{3}x^3 + C_1x + C_2$$

$$M(x) = -10x + B \cdot (x-1)$$

$$EIw'' = 10x - B(x-1)$$

$$EIw' = 5x^2 - B \frac{(x-1)^2}{2} + C_1$$

$$EIw = \frac{5}{3}x^3 - B \frac{(x-1)^3}{6} + C_1x + C_2$$

3 neznámé konstanty B, C_1, C_2

3 podmínky:

D.P. 1) $x=1 \dots w_f = 0 \Rightarrow 0 = \frac{5}{3} \cdot 1^3 + C_1 \cdot 1 + C_2$

2) $x=3 \dots w'_c = 0 \Rightarrow 0 = 5 \cdot 3^2 - B \frac{(3-1)^2}{2} + C_1$

3) $x=3 \dots w_c = 0 \Rightarrow 0 = \frac{5}{3} \cdot 3^3 - B \frac{(3-1)^3}{6} + C_1 \cdot 3 + C_2$

1) $C_2 = -\frac{5}{3} - C_1$

2) $0 = 45 - B \cdot 2 + C_1 \Rightarrow B = \frac{45 + C_1}{2}$

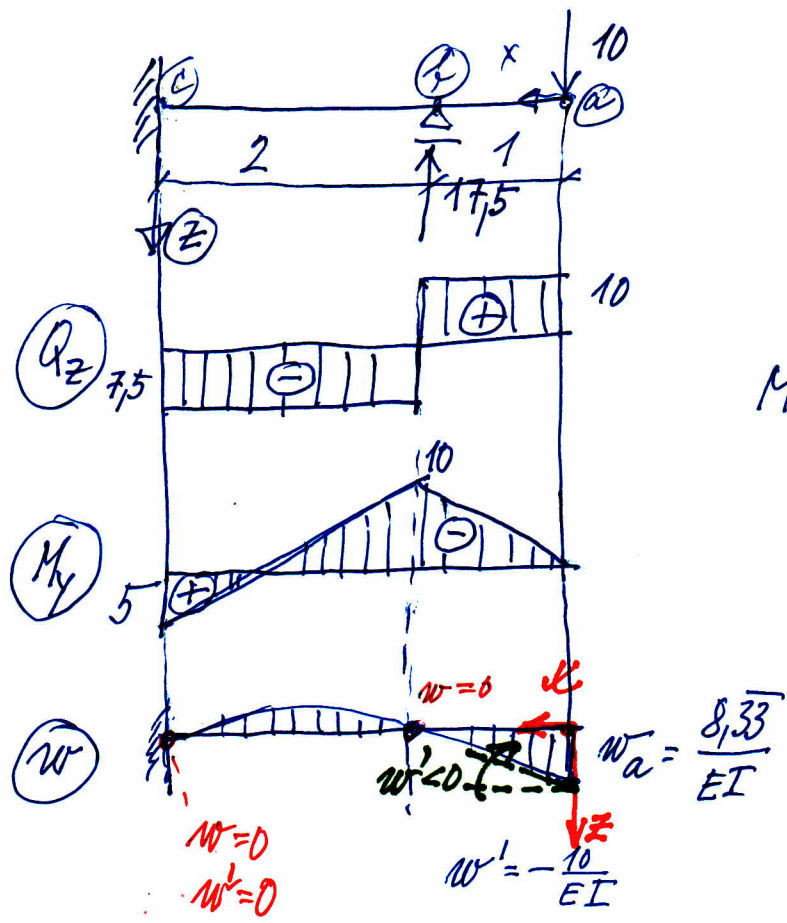
3) $0 = 45 - \frac{45 + C_1}{2} \cdot \frac{8}{6} + C_1 \cdot 3 - \frac{5}{3} - C_1 \Rightarrow C_1 = -10$

$\underline{\underline{w_a}} = \frac{C_2}{EI} = \frac{8,33}{EI}$

$E [\text{kPa}]$
 $I [m^4]$

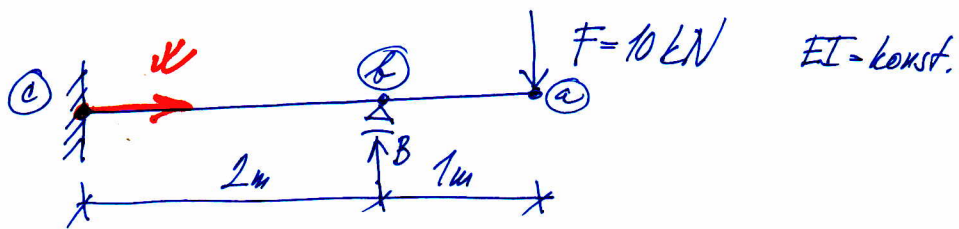
$\underline{\underline{w'_a}} = \frac{C_1}{EI} = -\frac{10}{EI}$

$C_1 = -10$
$C_2 = 8,33$
$B = 17,5 \text{ kN}$



$$M_y(x=3) = -10 \cdot 3 + 17,5 \cdot 2 = \\ = 5 \text{ [kNm]}$$

Pozor na jinak zavedenou osu x!



$\angle ab$

$$M = -10(3-x)$$

$$EIw'' = 10(3-x)$$

$$EIw' = \int 10(3-x) dx$$

$$\begin{aligned} \text{[substituce: } & t = 3-x \\ & dt = -dx \end{aligned}$$

$$EIw' = \int 10 \cdot t (-dt)$$

$$EIw' = 10 \frac{t^2}{2} \cdot (-1) + C_1$$

$$EIw' = 5(3-x)^2 \cdot (-1) + C_1$$

$$EIw' = 5 \frac{(3-x)^3}{3} \cdot (-1) \cdot (-1) + C_1x + C_2$$

$\angle bc$

$$M = -10(3-x) + B(2-x)$$

$$\begin{aligned} EIw'' &= 10(3-x) - B(2-x) && \begin{aligned} &\text{[subst.} \\ &3-x=t \end{aligned} \\ EIw' &= \left[10 \frac{(3-x)^2}{2} - B \frac{(2-x)^2}{2} \right] (-1) + C_3 && \begin{aligned} &-dx=dt \\ &2-x=u \end{aligned} \end{aligned}$$

$$\begin{aligned} EIw' &= \left[5 \frac{(3-x)^3}{3} - B \frac{(2-x)^3}{6} \right] \cdot (-1) \cdot (-1) && \begin{aligned} &-dx=du \\ &+C_3x + C_4 \end{aligned} \end{aligned}$$

$$\begin{aligned} \text{Podm. } & a) x=2 \dots w_{ab}' = w_{bc}' \Rightarrow -5(3-2)^2 + C_1 = -5(3-2)^2 + B \cancel{\frac{(3-2)^4}{2}} + C_3 \\ \text{vypoj.: } & \left\{ \begin{array}{l} C_1 = C_3 \\ B \cancel{\frac{(3-2)^4}{2}} + C_3 = C_2 \end{array} \right. \\ & b) x=2 \dots w_{ab} = w_{bc} \Rightarrow 5 \frac{(3-2)^3}{3} + C_1 \cdot 2 + C_2 = 5 \frac{(3-2)^3}{3} - B \cancel{\frac{(3-2)^3}{6}} + C_3 \cdot 2 + C_4 \end{aligned}$$

$$\boxed{C_2 = C_4}$$

$$\begin{aligned} \text{Dekr. podm. } & 1) x=0 \dots w_{bc}' = 0 \Rightarrow 0 = -5 \cdot 3^2 + B \cdot \frac{2^2}{2} + C_1 \\ & \Rightarrow 0 = -5 \cdot 3^2 + B \cdot 2 + C_1 \end{aligned}$$

$$2) x=0 \dots w_{bc} = 0 \Rightarrow 0 = \frac{5}{3} \cdot 3^3 - B \cdot \frac{2^3}{6} + C_3 \cdot 2 + C_4$$

$$\begin{aligned} \text{Deformací podm. } & 3) x=2 \dots w_x = 0 \Rightarrow 0 = \frac{5}{3} \cdot (1)^3 + C_3 \cdot 2 + C_4 \end{aligned}$$

$$1) C_1 + 2B = 45$$

$$2) C_2 - \frac{4}{3}B = -45$$

$$3) 2C_1 + C_2 = -\frac{5}{3}$$

$$\begin{aligned} C_1 &= 10 \\ C_2 &= -21,66 \\ B &= 17,5 \text{ kN} \end{aligned}$$

$$x=3 : EIw_a = \frac{5}{3}(3-3)^3 + 10 \cdot 3 - 21,66$$

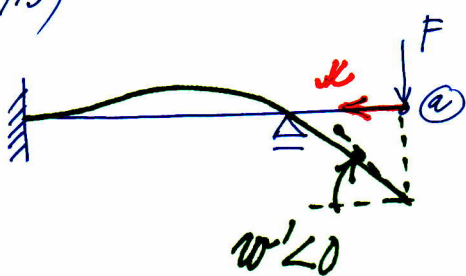
$$\underline{\underline{w_a = \frac{8,33}{EI}}}$$

$$x=3 : EIw'_a = -5(3-3)^2 + 10$$

$$\underline{\underline{w'_a = \frac{10}{EI}}}$$

(str. IV/13)

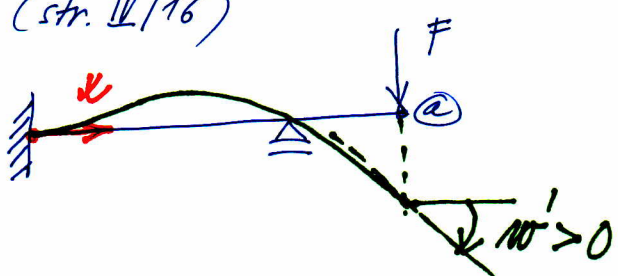
Porovnání výsledků:



$$\underline{\underline{w'_a = -\frac{10}{EI}}}$$

$$w_a = \frac{8,33}{EI}$$

(str. IV/16)

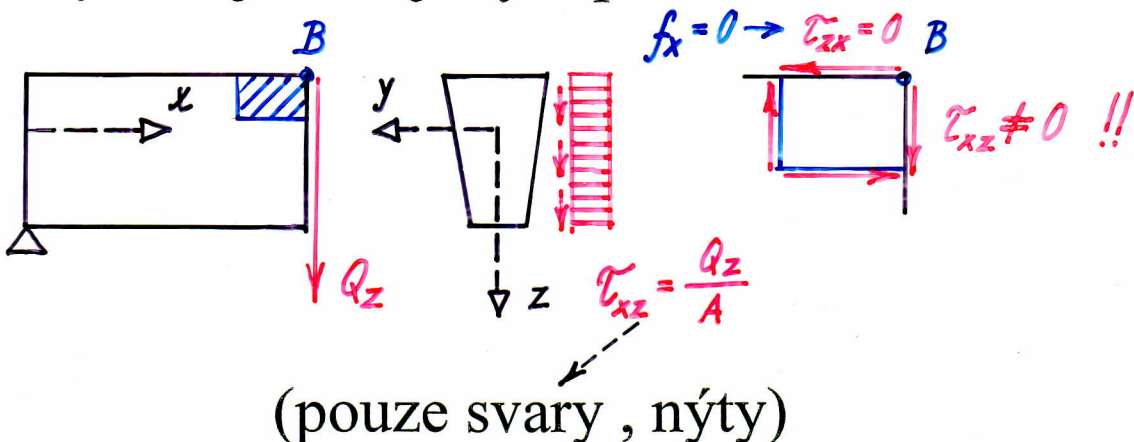


$$\underline{\underline{w'_a = \frac{10}{EI}}}$$

$$w_a = \frac{8,33}{EI}$$

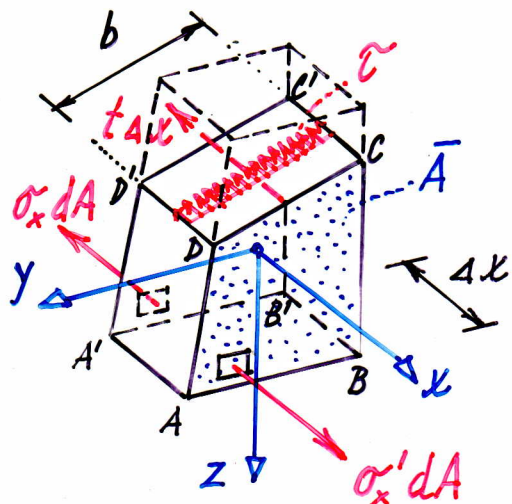
Smykové napětí při ohybu

- Vliv posouvajících sil Q_y, Q_z * vsuvka $\bar{Y}/1a, \bar{Y}/1b$
- Rovnoměrné rozložení τ po průřezu nevyhovuje okrajovým podmínkám



- Podmínka rovnováhy na prutovém elementu $ABCDA'B'C'D'$

zjednodušení: τ rovnoměrně rozloženo podél úsečky CD

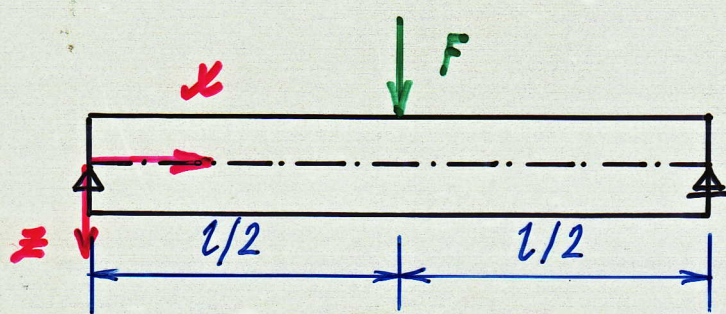


$$\frac{t = \tau \cdot b}{[\text{N/m}]} \quad \text{smykový tok}$$

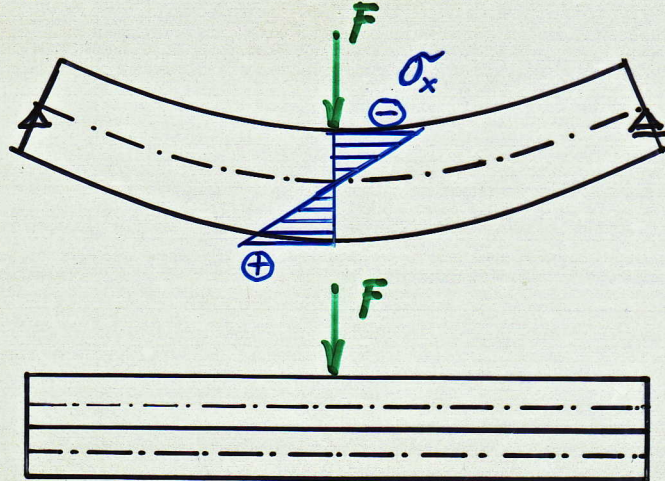
(výslednice smykových napětí podél úsečky CD)

$* \bar{V}/a$

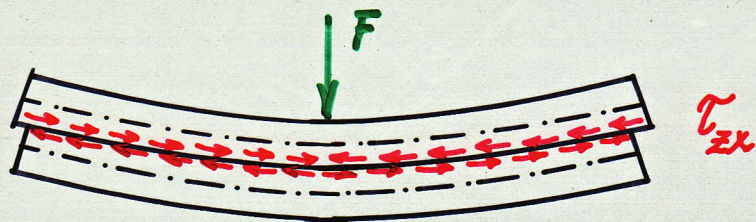
Ilustrace vzniku smykových napětí



celistvý nosník

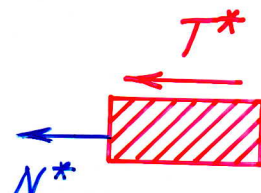
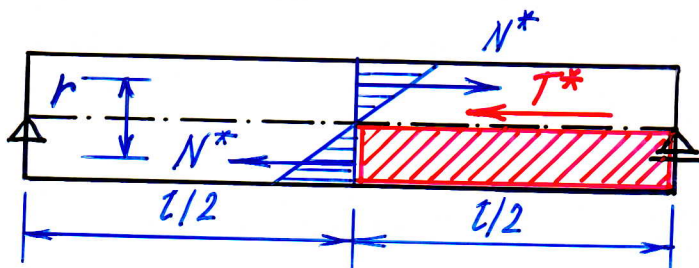


podélně rozříznutý
nosník



τ_{zx}

Smyková síla T^* (výslednice napětí τ_{zx})



Podmínka rovnováhy na vyjmuté části

$$N^* + T^* = 0$$

ohybový moment uprostřed nosníku

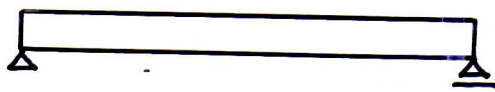
$$M_y = N^* r \quad \dots \quad N^* = \frac{M_y}{r} \quad \left(\begin{array}{l} T^* = -N^* = -\frac{M_y}{r} \\ \text{výslednice smyk. napětí } \tilde{\tau}_{xz} = \tilde{\tau}_{zx} \end{array} \right)$$

$$M_y = \frac{F}{2} \cdot \frac{l}{2} \quad \dots \quad N^* = \frac{F/2 \cdot l/2}{r} = -Q_z \cdot \frac{l}{2r}$$

$$\underline{T^* = -N^* = Q_z \cdot \frac{l}{2r}} \quad \dots \text{vztah mezi } T^* \text{ a } Q_z$$

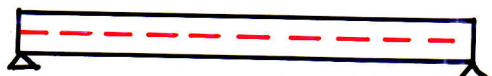
(prípadně: $r = \frac{2}{3}h \rightarrow T^* = \frac{3}{4}Q_z \frac{l}{h}$)

dlouhé nízké nosníky

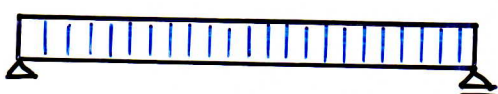


$$l \gg 2r \rightarrow T^* > Q_z$$

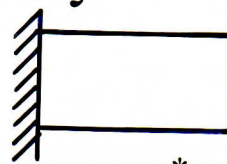
porušení



výzvuž třmínky svislými

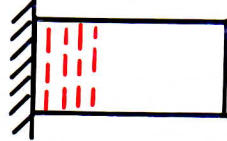


krátké vysoké nosníky

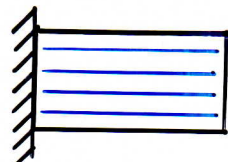


$$l < 2r \rightarrow T^* < Q_z$$

porušení



výzvuž třmínky vodorovnými



$$\vec{x} : \iint_A (\sigma'_x - \sigma_x) dA - \mathbf{t} \cdot \Delta \mathbf{x} = 0$$

$$\mathbf{t} = \iint_A \lim_{\Delta x \rightarrow 0} \frac{\sigma'_x - \sigma_x}{\Delta x} dA \Rightarrow \mathbf{t} = \iint_A \frac{\partial \sigma_x}{\partial x} dA$$

Smykový tok vzniká jako důsledek změny normálových napětí po délce prutu.

$$\sigma_x = \frac{N_x}{A} - \frac{M_z}{I_z} y + \frac{M_y}{I_y} z \quad (y, z \dots \text{hlavní osy!})$$

$$\frac{\partial \sigma_x}{\partial x} = \frac{1}{A} \frac{dN_x}{dx} - \frac{y}{I_z} \frac{dM_z}{dx} + \frac{z}{I_y} \frac{dM_y}{dx}$$

(pouze příčné zatížení... $f_x = 0 \Rightarrow \frac{dN_x}{dx} = 0$)

$$\frac{dM_z}{dx} = -Q_y; \quad \frac{dM_y}{dx} = Q_z$$

$$\frac{\partial \sigma_x}{\partial x} = \frac{y}{I_z} Q_y + \frac{z}{I_y} Q_z$$

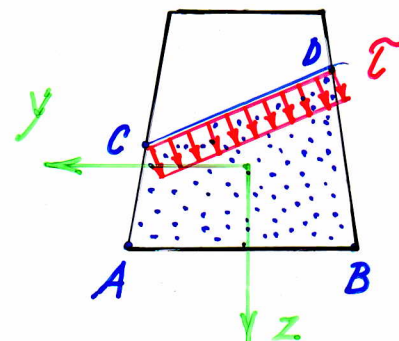
$$\mathbf{t} = \frac{Q_y}{I_z} \underbrace{\iint_A y dA}_{\overline{S}_z} + \frac{Q_z}{I_y} \underbrace{\iint_A z dA}_{\overline{S}_y}$$

$$\underline{\overline{S}_z}$$

$$\underline{\overline{S}_y}$$

$$t = Q_y \frac{\bar{S}_z}{I_z} + Q_z \frac{\bar{S}_y}{I_y}$$

$$\tau = \frac{Q_y \bar{S}_z}{b I_z} + \frac{Q_z \bar{S}_y}{b I_y}$$



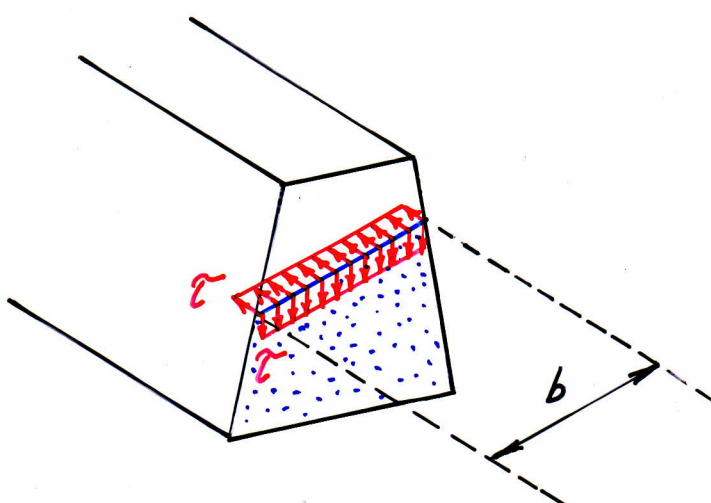
$\bar{S}_y, \bar{S}_z \dots$ statické momenty části průřezu

ABCD (do které směřují zvolené směry τ) k hlavním centrálním osám

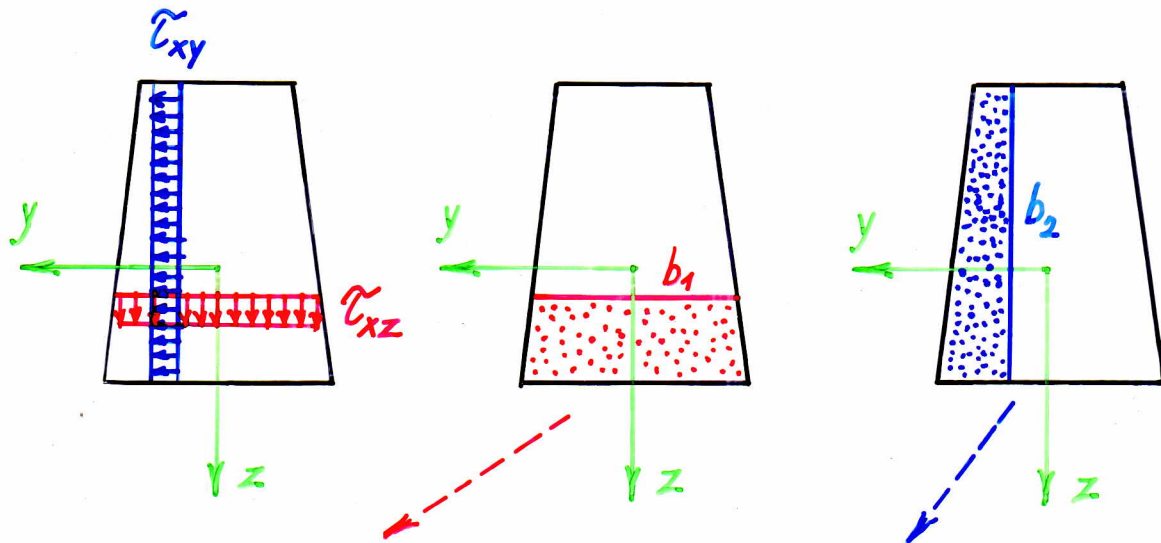
$I_y, I_z \dots$ hlavní centrální momenty

setrvačnosti celého průřezu

- Z věty o vzájemnosti plyne, že stejná smyková napětí vznikají i v rovině průřezu:

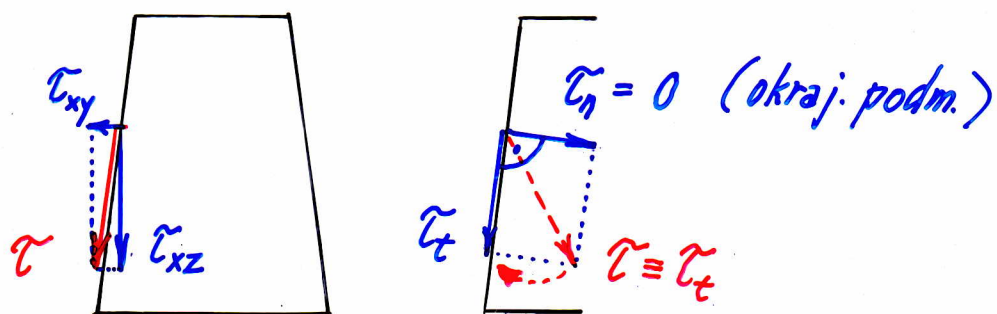


- Polohu vlákna šířky b volíme tak, abychom vystihli extrémní hodnoty τ v průřezu:

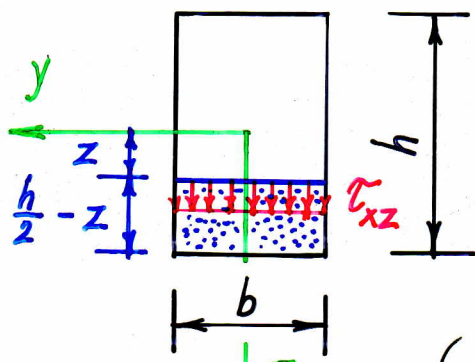


$$\underline{\underline{\tau}_{xz}} = \frac{Q_y \bar{S}_z}{\underline{b}_1 I_z} + \frac{Q_z \bar{S}_y}{\underline{b}_1 I_y} \quad \underline{\underline{\tau}_{xy}} = \frac{Q_y \bar{S}_z}{\underline{b}_2 I_z} + \frac{Q_z \bar{S}_y}{\underline{b}_2 I_y}$$

- Výsledné smykové napětí na okraji průřezu má směr tečny k obrysu:



Příklad: Určete průběh smykových napětí v obdélníkovém průřezu zatíženém posouvající silou Q_z .



$$a) \tau_{xz} = \frac{Q_z \bar{S}_y}{b I_y} \quad (Q_y = 0)$$

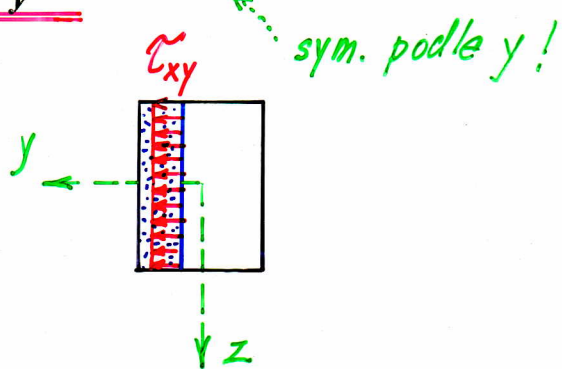
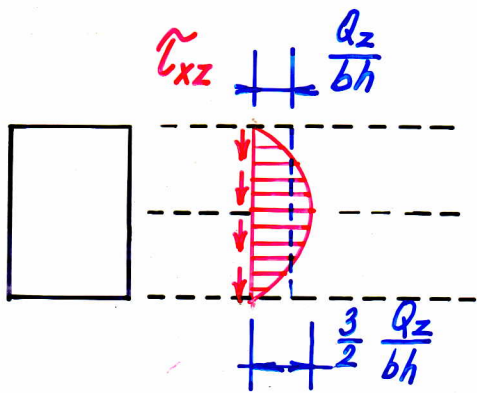
$$I_y = \frac{bh^3}{12}$$

$$\bar{S}_y = b \left(\frac{h}{2} - z \right) \left(z + \frac{\frac{h}{2} - z}{2} \right) \dots \bar{S}_y = \frac{b}{8} (h^2 - 4z^2)$$

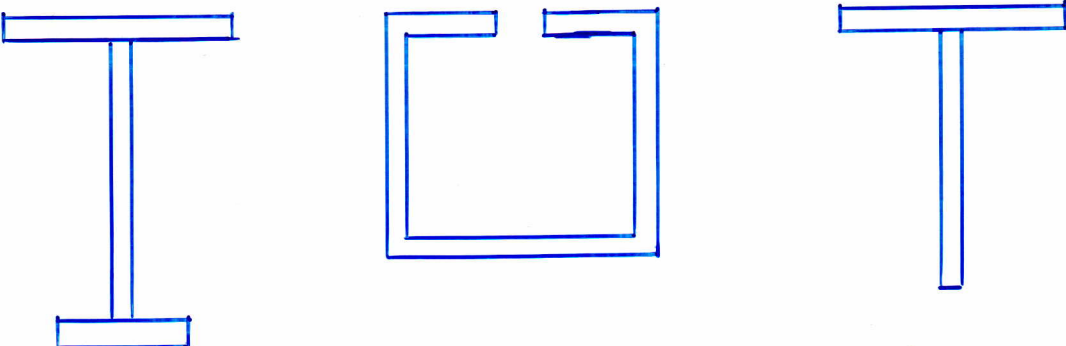
$$\tau_{xz} = \frac{Q_z \frac{b}{8} (h^2 - 4z^2)}{b \frac{bh^3}{12}} = \frac{3}{2} \frac{Q_z}{bh^3} (h^2 - 4z^2) \quad \text{parabola 2 st.}$$

$$z = \pm \frac{h}{2} \dots \tau_{xz} = 0 \quad z = 0 \dots \max \tau_{xz} = \frac{3}{2} \frac{Q_z}{bh}$$

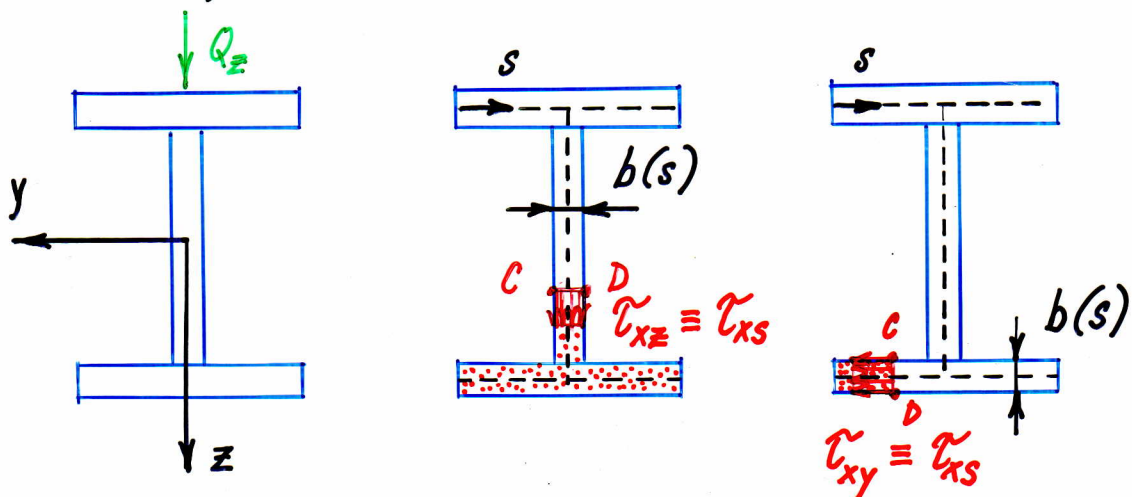
$$b) \tau_{xy} = \frac{Q_z \bar{S}_y}{h I_y} \quad \bar{S}_y = 0 \Rightarrow \tau_{xy} = 0$$



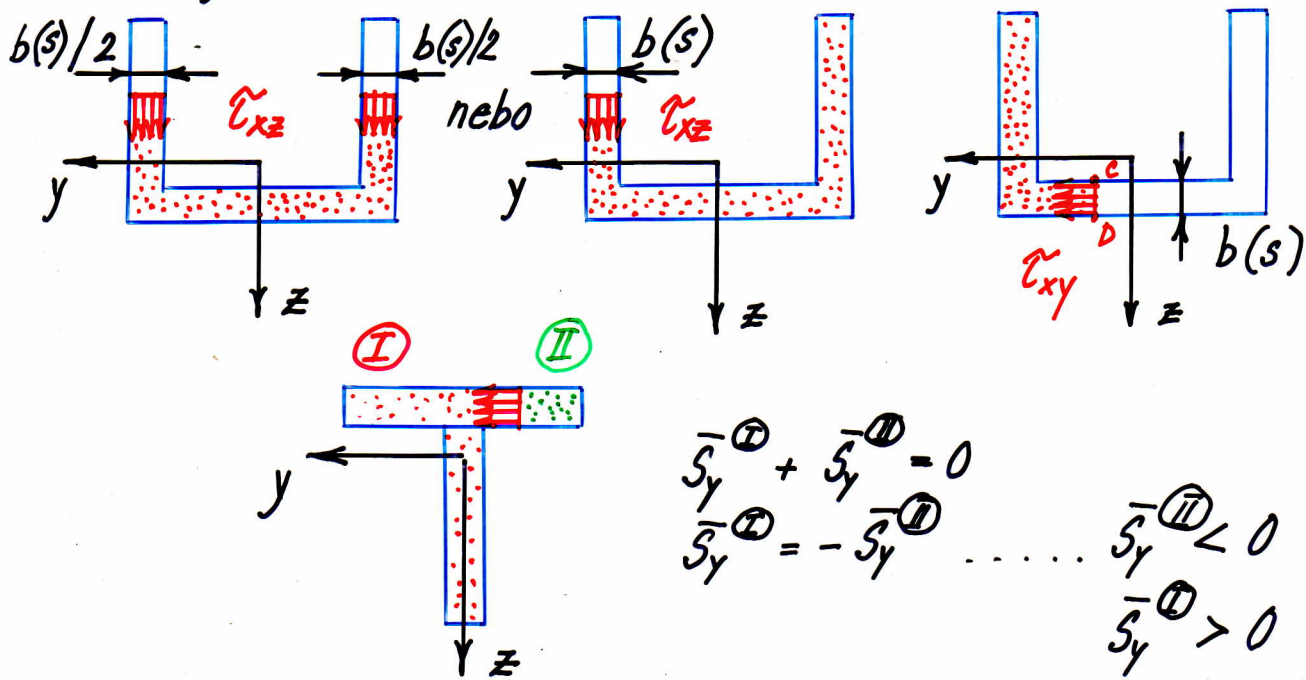
Smyková napětí v členěných průřezech



$$\tau_{xs} = \frac{Q_z \bar{S}_y(s)}{I_y b(s)}$$

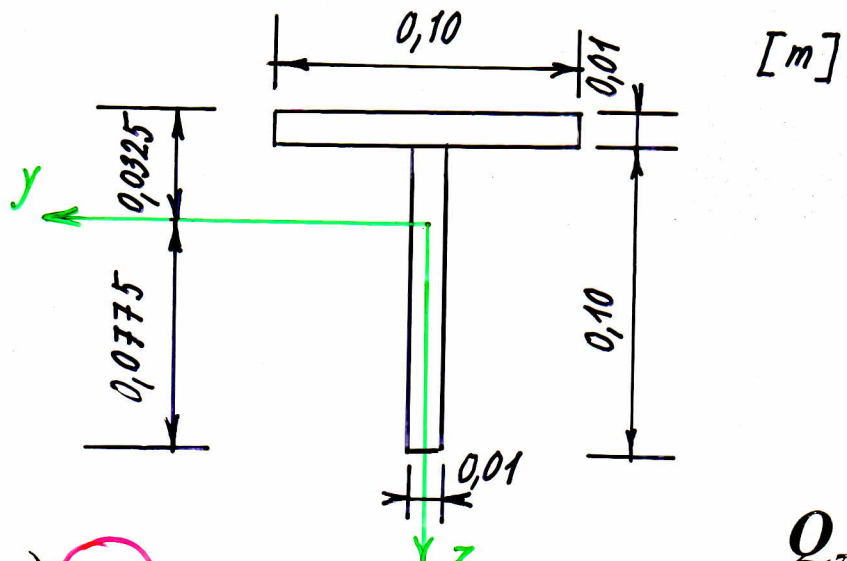


symetrie



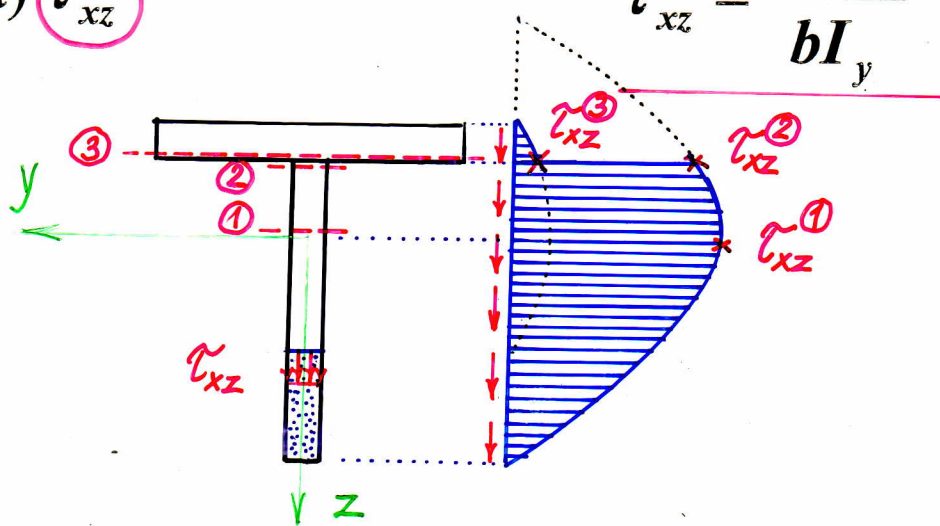
Příklad: Určete průběhy smykových napětí v tenkostěnném průřezu zatíženém silou

$$Q_z = 20 \text{ kN} \quad I_y = 2,354 \cdot 10^{-6} \text{ m}^4$$



a) τ_{xz}

$$\tau_{xz} = \frac{Q_z \bar{S}_y}{b I_y}$$



$$\bar{S}_y^{(1)} = \frac{0,01 \cdot 0,0775^2}{2} = 3 \cdot 10^{-5} \text{ m}^3$$

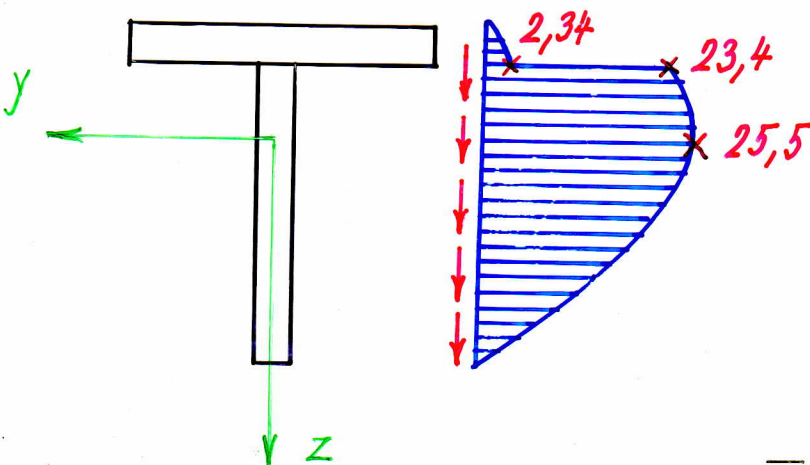
$$\bar{S}_y^{(2)} = \bar{S}_y^{(3)} = 0,01 \cdot 0,1 \cdot 0,0275 = 2,75 \cdot 10^{-5} \text{ m}^3$$

nebo $\bar{S}_y^{(2)II} = -\bar{S}_y^{(2)I} = -(-0,1 \cdot 0,01 \cdot 0,0275) = 2,75 \cdot 10^{-5} \text{ m}^3$

$$\tau_{xz}^{(1)} = \frac{0,02 \cdot 3 \cdot 10^{-5}}{0,01 \cdot 2,354 \cdot 10^{-6}} = \underline{\underline{25,5 \text{ MPa}}}$$

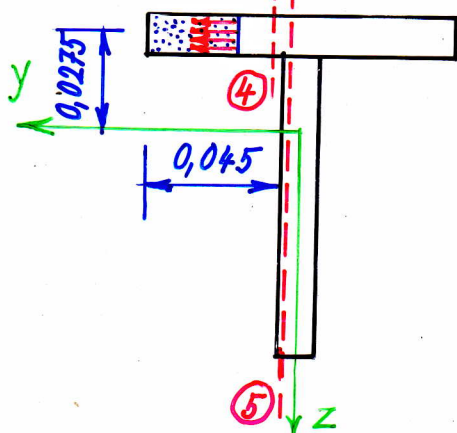
$$\tau_{xz}^{(2)} = \frac{0,02 \cdot 2,75 \cdot 10^{-5}}{0,01 \cdot 2,354 \cdot 10^{-6}} = \underline{\underline{23,4 \text{ MPa}}}$$

$$\tau_{xz}^{(3)} = \frac{0,02 \cdot 2,75 \cdot 10^{-5}}{0,1 \cdot 2,354 \cdot 10^{-6}} = \underline{\underline{2,34 \text{ MPa}}}$$



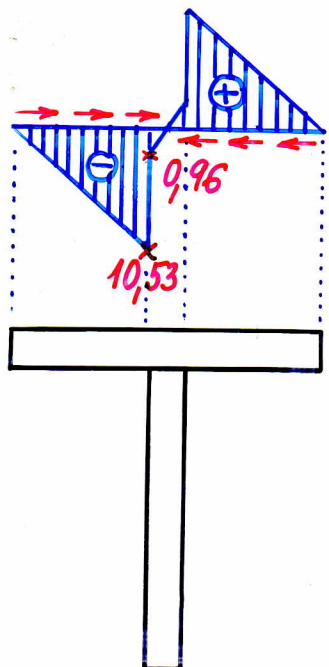
b) τ_{xy}

$$\tau_{xy} = \frac{Q_z \bar{S}_y}{b I_y}$$



$$\bar{S}_y = 0,01 \cdot (0,05 - y)(-0,0275) \dots \underline{\text{lin. funkce!}}$$

$$\bar{S}_y^4 = -0,01 \cdot 0,045 \cdot 0,0275 = -1,2375 \cdot 10^{-5} \text{ m}^3$$

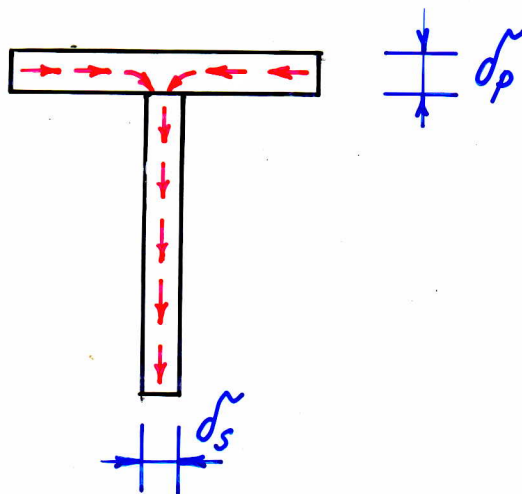


$$\tau_{xy}^{(4)} = \frac{0,02 \cdot (-1,2375 \cdot 10^{-5})}{0,01 \cdot 2,354 \cdot 10^{-6}} = -10,53 \text{ MPa}$$

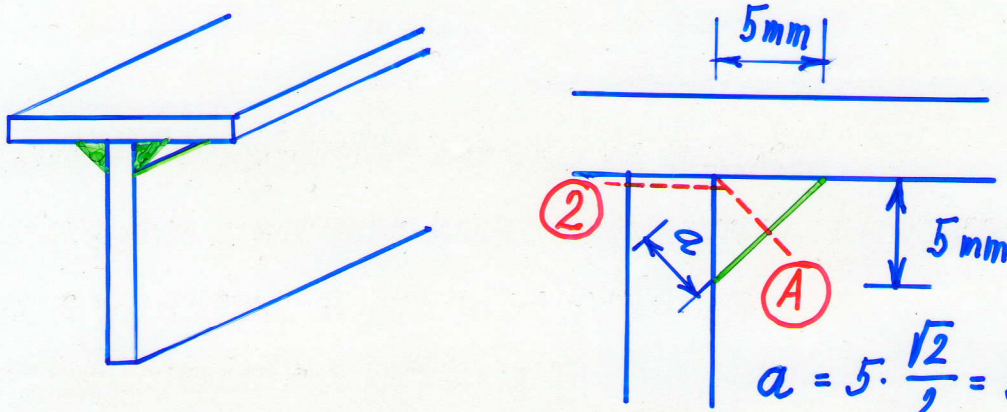
$$\tau_{xy}^{(5)} = \frac{0,02 \cdot (-1,2375 \cdot 10^{-5})}{0,11 \cdot 2,354 \cdot 10^{-6}} = -0,96 \text{ MPa}$$

Poznámka: pro přibližně stejné hodnoty smykového napětí ve stojině a v pásnici je vhodný poměr $\delta_{pásnice} = \delta_{stojina} / 2$.

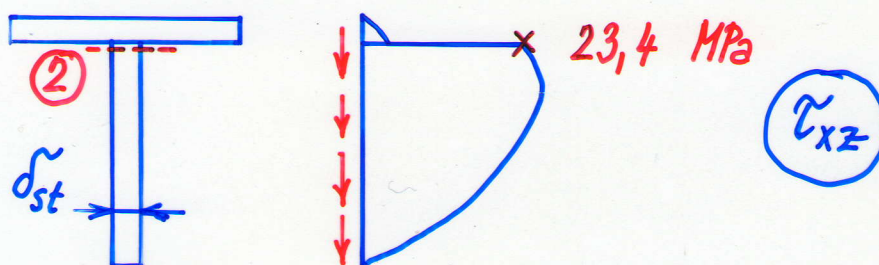
Výsledný průběh smykového toku $t = \tau \cdot \delta$



Příklad: Vypočítejte smykové napětí v koutových svarech tloušťky 5mm, kterými je přivařena stěna k přírubě průřezu z předcházejícího příkladu.



Určíme smykový tok v řezu ②:



$$t^2 = \tau_{xz}^2 \cdot \delta_{st} = 23,4 \cdot 0,01 = 0,234 \text{ MN/m}$$

Smykový tok t^2 přenáší dva svary.

Nebezpečný řez A má šířku $a = 0,00353 \text{ m}$.

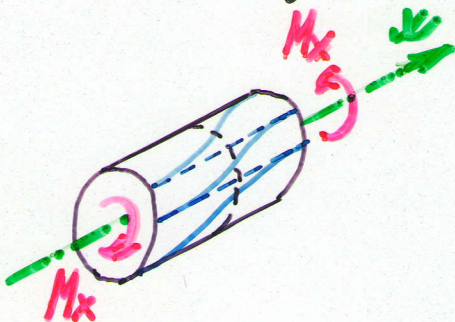
Pro smykové napětí v řezu A platí:

$$\tau^A = \frac{t^2}{2a} = \frac{0,234}{2 \cdot 0,00353} = \underline{\underline{33,144 \text{ MPa}}}$$

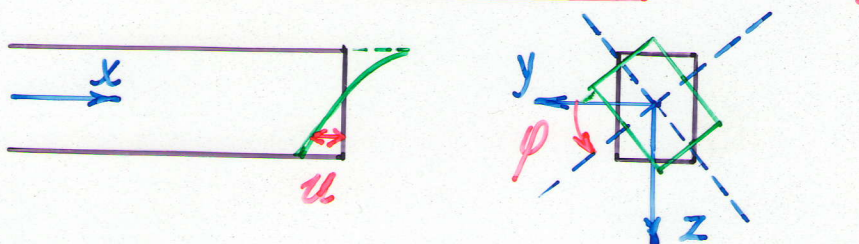
VOLNÉ KROUCENÍ PRUTŮ

$M_x \neq 0$ \Rightarrow kroucení

(jsou-li ostatní vnitř. síly nulové \Rightarrow prosté kroucení)



- Účinek M_x pootočení průřezu φ kolem x
deplanace průřezu u

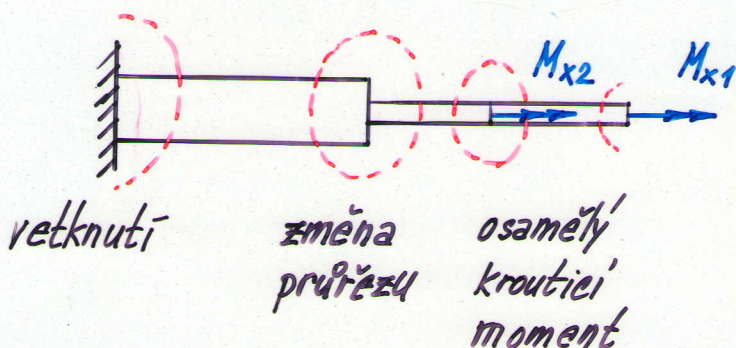


- Deplanace probíhá volně \Rightarrow volné kroucení
(St. Vénantovo)

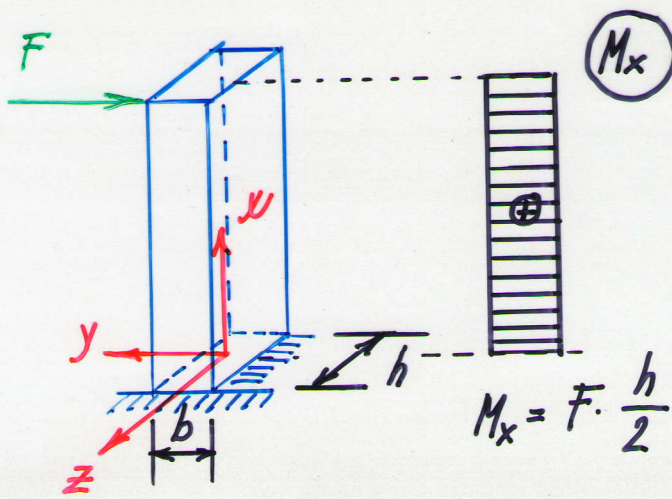
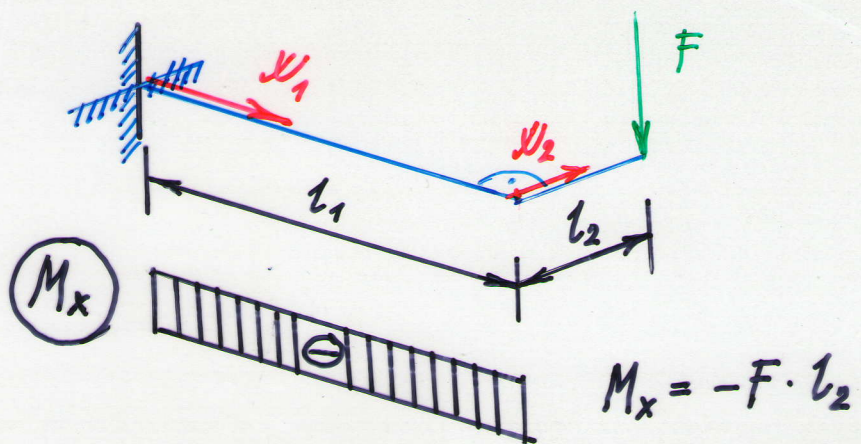
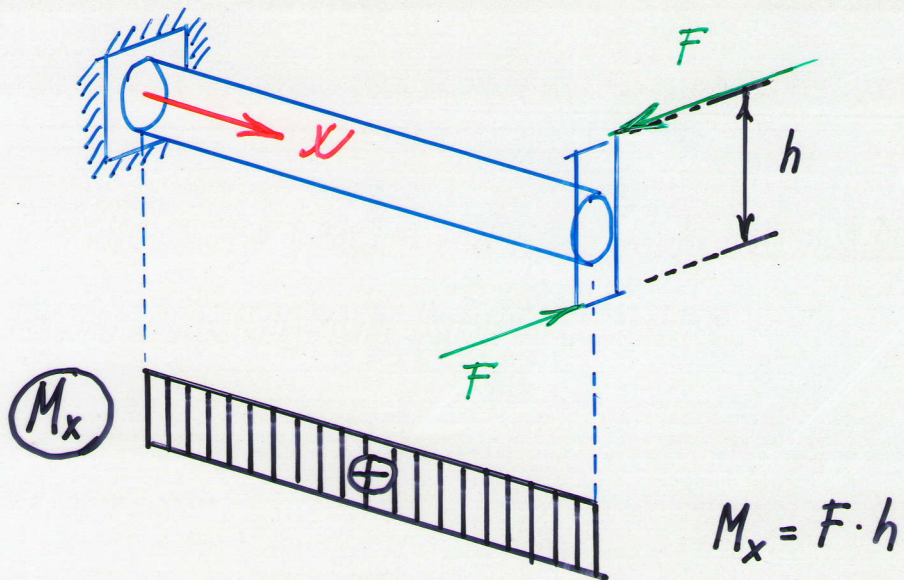
$$\tau_{xy}, \tau_{xz}$$

- Deplanace omezována \Rightarrow ohybové kroucení

$$\tau_{xy}, \tau_{xz}, \underline{\sigma_x}$$



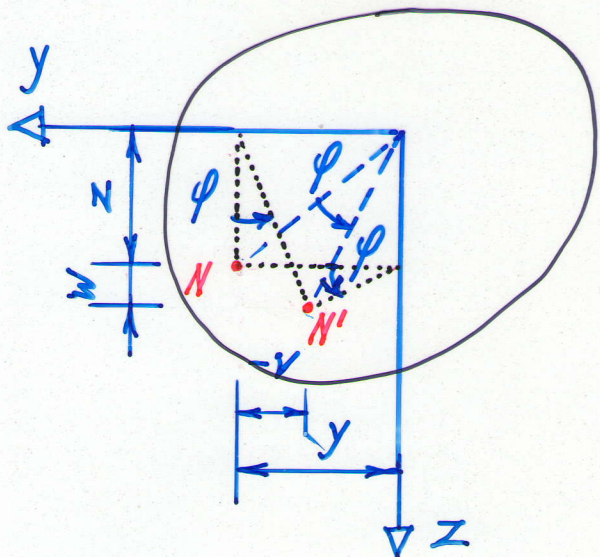
Příklady jednoduchých konstrukcí namáhaných kroucením:



- Rozdíl mezi masivními a tenkostěnnými průřezy:
 - masivní deplanují málo (nebo vůbec)   - σ_x lze zanedbat
 - tenkostěnné (zejména otevřené) deplanují značně, omezení deplanace je výrazné \Rightarrow σ_x je významné

1. Volné kroucení prutů s průřezem masivním

- Předpoklady: $\sigma_x = \sigma_y = \sigma_z = \tau_{yz} = 0$
 - $\epsilon_y = \epsilon_z = \gamma_{yz} = 0$...průřez zachovává v rovině yz svůj tvar
 - $\epsilon_x = 0$
- Kinematika přemístění (jako tuhá deska v rovině)



$$\begin{aligned} u &= u(x, y, z) \\ v &= -\varphi(x) \cdot z \\ w &= \varphi(x) \cdot y \end{aligned}$$

• Geometrické rovnice

$$\gamma_{xy} = \frac{\partial u}{\partial y} + \frac{\partial v}{\partial x} = \frac{\partial u}{\partial y} - \frac{d\varphi(x)}{dx} \cdot z$$

$$\gamma_{xy} = \frac{\partial u}{\partial y} - \theta(x) \cdot z$$

$$\theta(x) = \frac{d\varphi}{dx}$$

relativní úhel

zkroucení

$$\gamma_{xz} = \frac{\partial u}{\partial z} + \frac{\partial w}{\partial x} = \frac{\partial u}{\partial z} + \frac{d\varphi}{dx} \cdot y$$

$$\gamma_{xz} = \frac{\partial u}{\partial z} + \theta(x) \cdot y$$

$u(x, y, z)$... volí se jako součin dvou funkcí

$$u(x, y, z) = \theta(x) \cdot \psi(y, z)$$

$\psi(y, z)$... deplanační funkce

Poznámka: předpoklad b) $\varepsilon_x = 0$ je splněn

pouze pro $\theta = \text{konst.}$ nebo $\psi(y, z) = 0$

(tedy průřezy, které nedeleplanují). ($\frac{\partial u}{\partial x} = \theta' \cdot \psi = 0$)

$\begin{cases} \text{bud'} \theta' = 0 \rightarrow \theta = \text{konst.} \\ \text{nebo } \psi = 0 \end{cases}$

• Fyzikální rovnice

$$\tau_{xy} = G\gamma_{xy} = G \left(\frac{\partial u}{\partial y} - \theta \cdot z \right) = G\theta \left(\frac{\partial \psi}{\partial y} - z \right)$$

$$\tau_{xz} = G\gamma_{xz} = G \left(\frac{\partial u}{\partial z} + \theta \cdot y \right) = G\theta \left(\frac{\partial \psi}{\partial z} + y \right)$$

• Statické rovnice (objemové síly jsou nulové)

$$\frac{\partial \tau_{xy}}{\partial y} + \frac{\partial \tau_{xz}}{\partial z} = 0 \rightarrow G\theta \left(\frac{\partial^2 \psi}{\partial y^2} + \frac{\partial^2 \psi}{\partial z^2} = 0 \right) / \cancel{G\theta}$$

$$\left(\frac{\partial \tau_{xy}}{\partial x} = 0 \right)$$

$$\left(\frac{\partial \tau_{xz}}{\partial x} = 0 \right)$$

$$\frac{\partial^2 \psi}{\partial y^2} + \frac{\partial^2 \psi}{\partial z^2} = 0$$

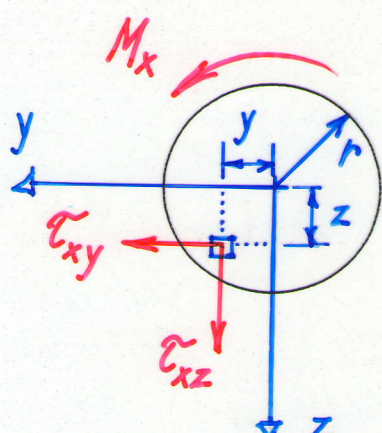
(+ okrajové podmínky)

a) Prut s konstantním kruhovým průřezem

Průřezy kruhové a mezikruhové nedeplanují (díky symetrii)

$$\underline{\psi(y, z) = 0} \Rightarrow \underline{\tau_{xy} = -G\theta z}$$

$$\underline{\tau_{xz} = G\theta y}$$



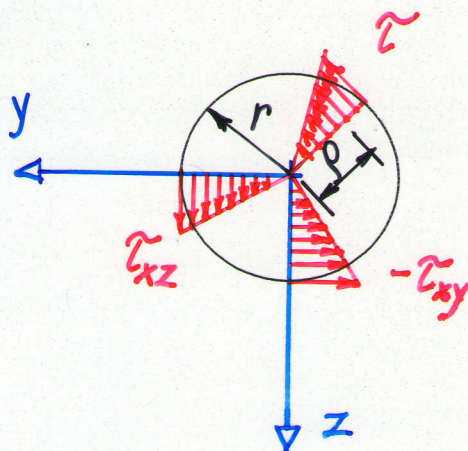
podmínka ekvivalence:

$$\underline{M_x = \iint_A (\tau_{xz}y - \tau_{xy}z) dA = -G\theta \iint_A (y^2 + z^2) dA = GI_p \theta}$$

$$\underline{I_p = \frac{\pi r^4}{2}} \dots \text{polární moment setrvačnosti}$$

$$\theta = \frac{M_x}{GI_p} \Rightarrow \boxed{\frac{d\phi}{dx} = \frac{M_x}{GI_p}}$$

dif. rovnice volného kroucení



$$\tau_{xy} = -G \frac{M_x}{GI_p} z = -\frac{M_x}{I_p} z$$

$$\tau_{xz} = +G \frac{M_x}{GI_p} y = +\frac{M_x}{I_p} y$$

$$\tau = \sqrt{\tau_{xy}^2 + \tau_{xz}^2} \Rightarrow \boxed{\tau = \frac{M_x}{I_p} \rho}$$

b) Prut s nekruhovým masivním průřezem

Elementární výpočet jako pro kruh nelze použít.

Výsledky přibližného řešení:

- Přetvoření

$$\theta = \frac{M_x}{GI_k}$$

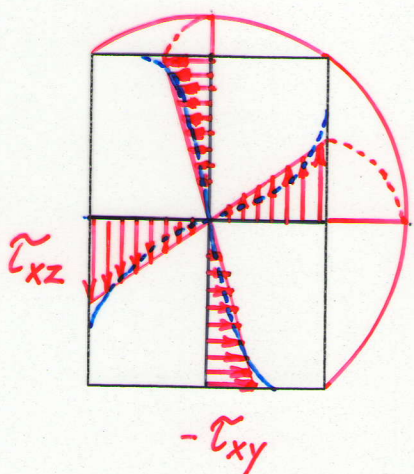
I_k ... moment tuhosti ve volném kroucení
např. přibližný Saint Vénantův
vzorec

$$I_k \doteq \frac{A^4}{40I_p}$$

A ... plocha průřezu

I_p ... polární
moment setrvačnosti

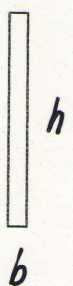
- Napětí v obdélníkovém průřezu



— teorie
- - - skutečnost

$$\max \tau_{xz} \doteq \frac{9 M_x}{2 b^2 h}$$

$$I_k \doteq \frac{A^4}{36I_p}$$



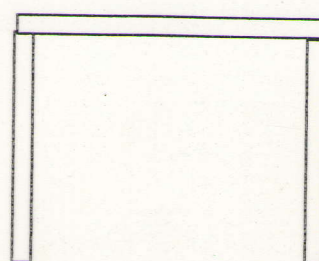
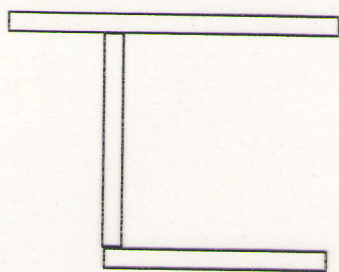
Úzký obdélník:

$$h \gg b \Rightarrow \frac{b}{h} \ll 1$$

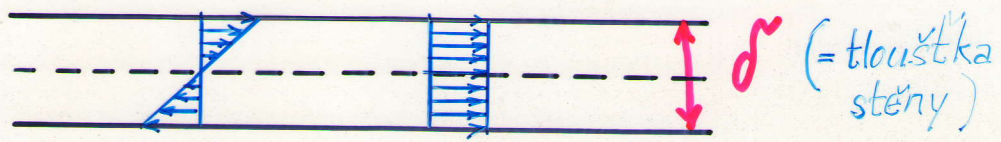
$$I_k \doteq \frac{(bh)^4}{36 \cdot \frac{1}{12} (bh^3 + b^3 h)} = \frac{b^3 h^3}{3(h^2 + b^2)} = \frac{b^3 h}{3 \left(1 + \frac{b^2}{h^2} \right)}$$

$$I_k \doteq \frac{1}{3} b^3 h$$

2. Volné kroucení prutů s tenkostěnným otevřeným průřezem



Volné kroucení vzniká jen jako složka
kroucení ohybového.



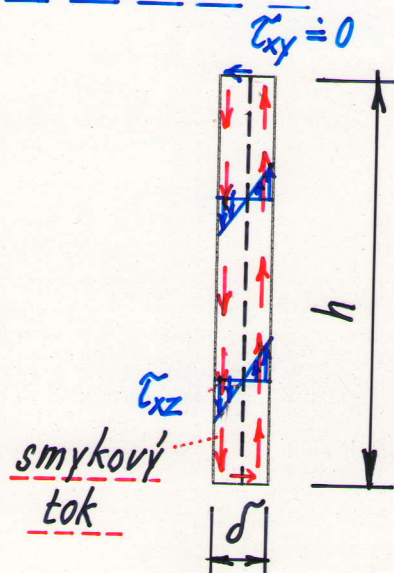
smyk. napětí: ϵ_{xs}^1 volného kroucení + ϵ_{xs}^2 ohybového kroucení

• Napětí v úzkém obdélníku

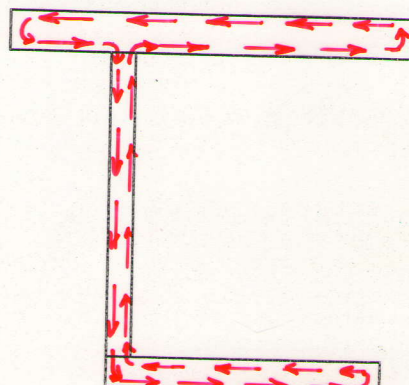
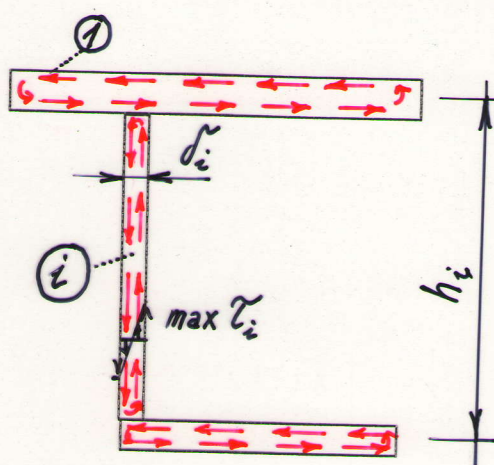
$$\tau_{xy} \doteq 0$$

$$\max \tau_{xz} = \frac{M_x \delta}{I_k}$$

$$I_k \doteq \frac{1}{3} h \delta^3$$



• Napětí v průřezu složeném z úzkých obdélníků



$$M_{x,i} = G\theta \frac{h_i \delta_i^3}{3}$$

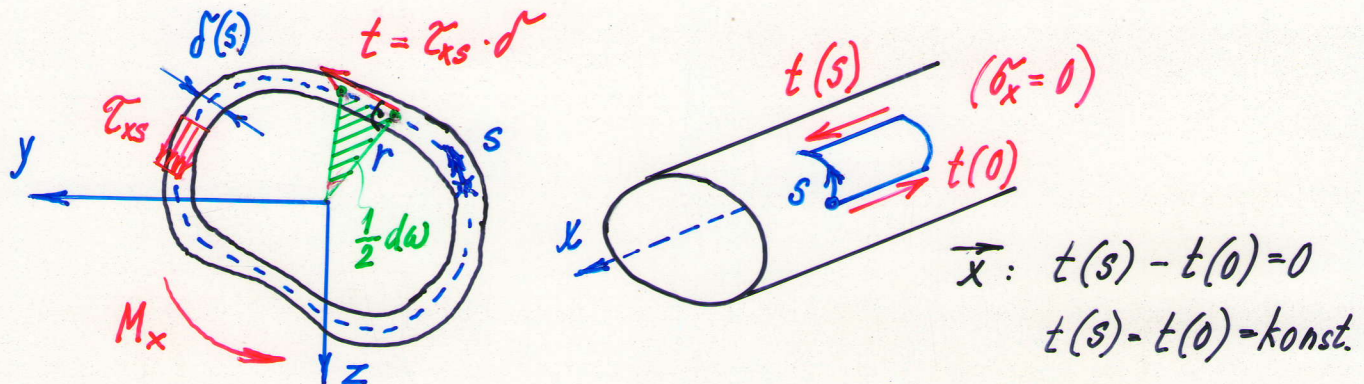
rýsledná cirkulace
smykového toku

celý průřez přenáší moment

$$M_x = \sum_{i=1}^n M_{x,i} = G\theta \cdot \frac{1}{3} \sum_{i=1}^n h_i \delta_i^3$$

$$\max \tau_i = \frac{M_x}{I_k} \delta_i$$

3. Volné kroucení prutů s tenkostěnným průřezem uzavřeným



Smykový tok v průřezu je konstantní

$$\underline{t = \tau_{xs} \cdot \delta(s)}$$

$$\widehat{x}: dM_x = \underline{trds} = \underline{td\omega}$$

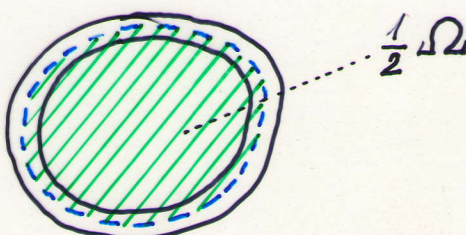
domega 2x diferenciál vyseče plochy (viz obr.)

1. Bredtův vzorec

$$M_x = t \cdot \Omega$$

$$\underline{\Omega = \oint \rho ds}$$

dvojnásobek plochy
opsané střednicí



2. Bredtův vzorec

$$\theta = \frac{M_x}{GI_k}$$

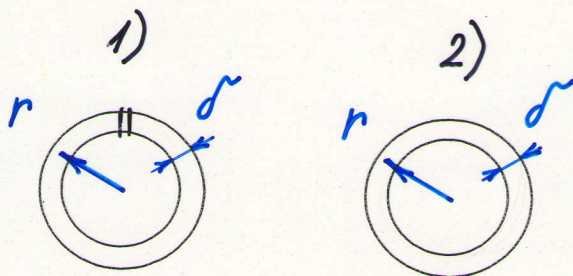
$$I_k = \frac{\Omega^2}{\int \frac{ds}{\delta(s)}}$$

moment tuhosti ve
volném kroucení

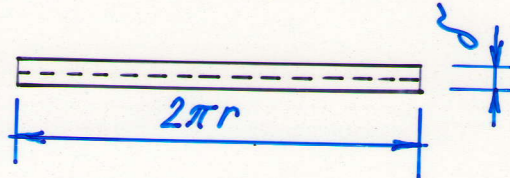
Torzní tuhost GI_k je u uzavřených
průřezů mnohonásobně vyšší nežli u
průřezů otevřených.

Příklad:

Porovnejte torzní tuhost duté trubky souvislé a rozříznuté.

1) otevřený průřez

$$\underline{I_k^{(1)}} = \frac{1}{3} \cdot 2\pi r \delta^3 = \frac{2}{3} \pi r \delta^3$$

2) uzavřený průřez

$$\underline{I_k^{(2)}} = \frac{\Omega^2}{\frac{ds}{\delta}} = \frac{(2 \cdot \pi r^2)^2}{2\pi r} = \underline{2\pi r^3 \delta}$$

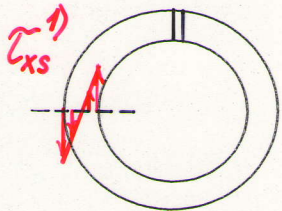
Pro tenkostěnné průřezy platí kritérium

$$\frac{2r}{\delta} > 10 \Rightarrow \frac{r}{\delta} > 5$$

$$\frac{\underline{I_k^{(2)}}}{\underline{I_k^{(1)}}} \geq \frac{2\pi r^3 \delta}{\frac{2}{3} \pi r \delta^3} = 3 \frac{r^2}{\delta^2} = 3 \cdot 5^2 = \underline{75}$$

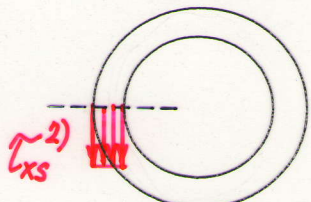
Porovnejte maximální smykové napětí obou typů průřezu.

1) otevřený



$$\frac{\max \tau_{xs}^{1)} }{ } = \frac{M_x \delta}{I_k} = \frac{M_x \delta}{\frac{2}{3} \pi r \delta^3} = \frac{3}{2} \frac{M_x}{\pi r \delta^2}$$

2) uzavřený

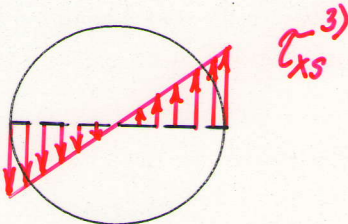


$$\frac{\max \tau_{xs}^{2)} }{ } = \frac{t}{\delta} = \frac{M_x}{\delta \Omega} = \frac{M_x}{\delta \cdot 2 \cdot \pi r^2} = \frac{1}{2} \frac{M_x}{\pi r^2 \delta}$$

$$\frac{\max \tau_{xs}^{2)} }{\max \tau_{xs}^{1)} } = \frac{\frac{1}{2} \frac{M_x}{\pi r^2 \delta}}{\frac{3}{2} \frac{M_x}{\pi r \delta^2}} = \frac{1}{3} \frac{\delta}{r} \leq \frac{1}{15} \quad \left(\frac{r}{\delta} \right) \geq 5$$

$$\frac{\max \tau_{xs}^{1)} }{ } \geq 15 \cdot \frac{\max \tau_{xs}^{2)} }{ }$$

Pro porovnání určíme ještě $\max \tau_{xs}^{3)}$
v masivním kruhovém průřezu:



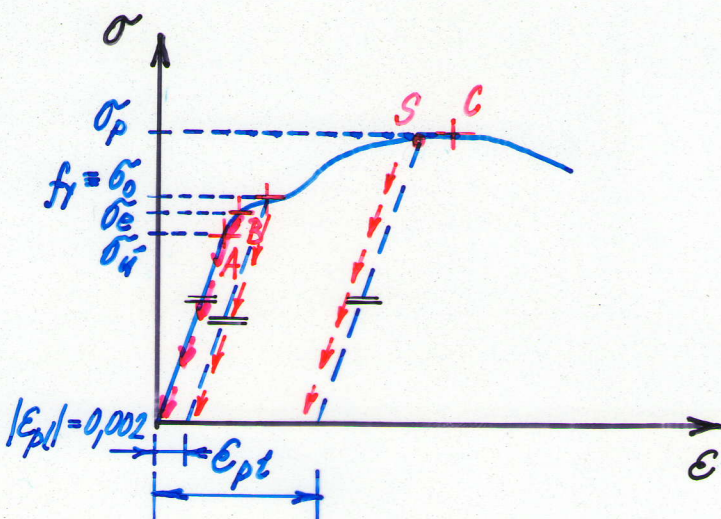
$$\underline{\underline{\max \tau_{xs}^{3)}} = \frac{M_x r}{I_p} = \frac{M_x r}{\pi r^4} = \frac{2M_x}{\pi r^3}$$

$$\underline{\underline{\frac{\max \tau_{xs}^{3)} }{\max \tau_{xs}^{2)}}} = \frac{\frac{2M_x}{\pi r^3}}{\frac{1}{2} \frac{M_x}{\pi r^2 \delta}} = \frac{4\delta}{r} \leq \frac{4}{5}$$

Napětí v průřezu masivním a tenkostěnném uzavřeném jsou řádově srovnatelná, ale v průřezu tenkostěnném otevřeném jsou napětí o řád vyšší.

Pružnoplastický a plastický stav průřezů ohýbaných prutů

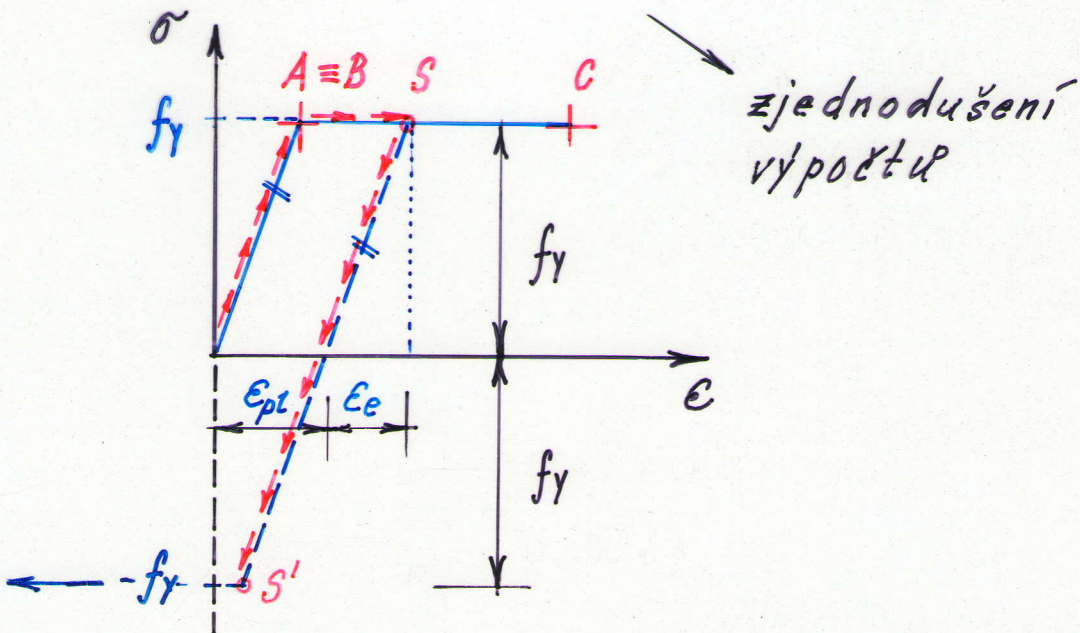
Využití plasticích vlastností materiálu:
Skutečný pracovní diagram



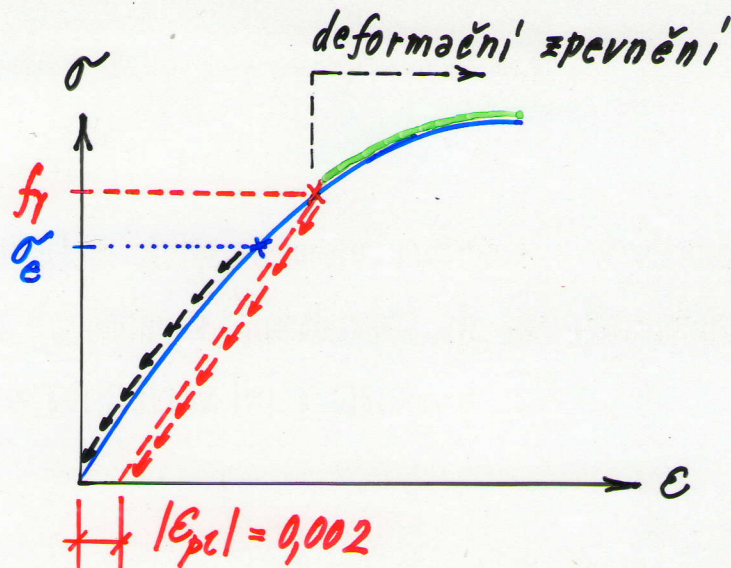
σ_p ... mez pevnosti
 $f_y = \sigma_0$... mez kluzu
 σ_e ... mez pružnosti
 σ_u ... mez úměrnosti

(smluvní mez kluzu...napětí odpovídající trvalé deformaci $|\epsilon_{pl}| = 0,002$)
deformační zpevnění...vzrůst napětí za mezi kluzu

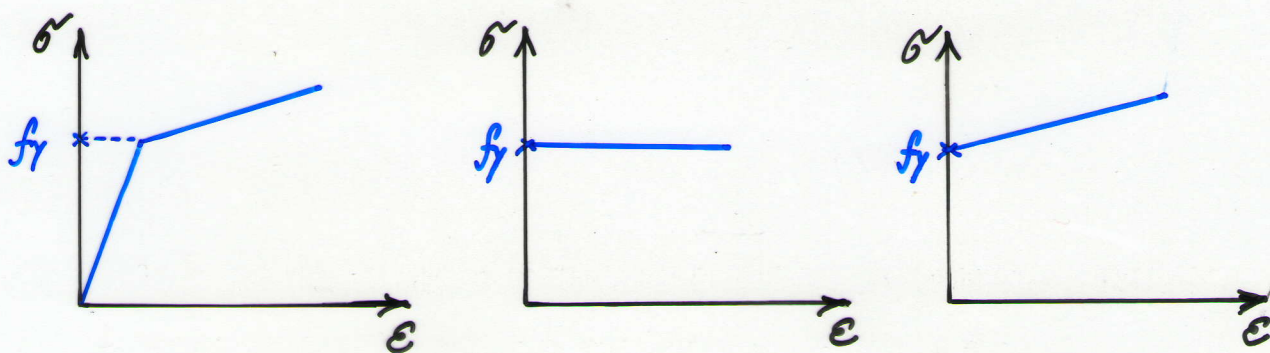
Prandtlův diagram (ideální pružnoplastický)



Pro materiály, které nemají vyznačenou mez kluzu (slitiny, beton...), se používá tzv. smluvní mez kluzu:



Další idealizace pracovního diagramu (kromě Prandtlova ideálně pružnoplastického)



bilineární
(pružnoplast. mat.
s lineárním
zpevněním)

tuhoplast. mat.
(ideální)

tuhoplast.
s lineárním
zpevněním

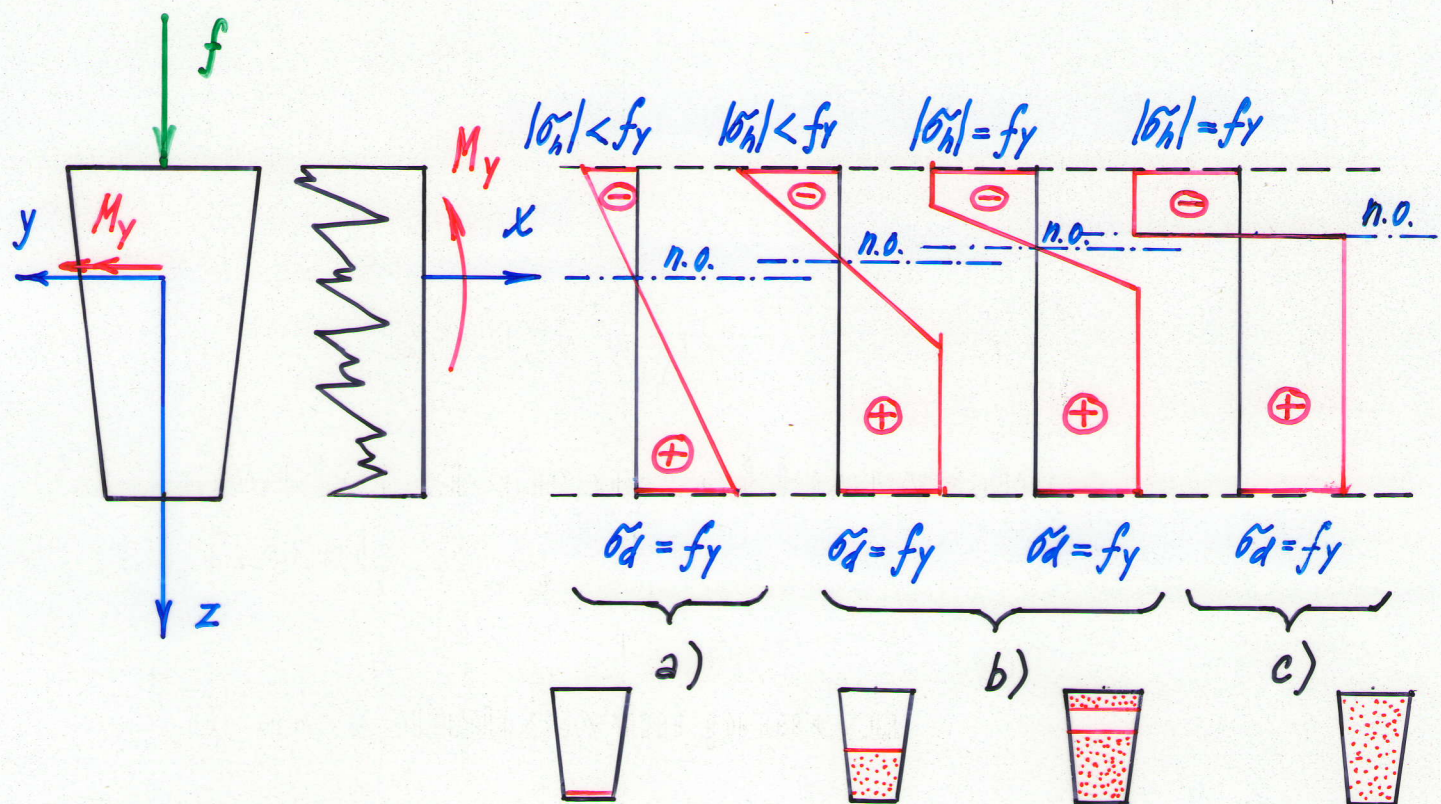


použití v teorii mezní únosnosti
konstrukcí

Jednoduchý ohyb

Předpoklad: stejné meze kluzu v tahu a tlaku
(např. ocel) ... f_y

Postupné zplastizování průřezu:



únosnost

průřezu: M_{el}

M_{elpl}

M_{pl}

a) Mezní pružný stav

$$M_{el} = W_{min} \cdot f_y$$

(s využitím vztahů

$$\sigma_d = \frac{M_y}{W_d}, M_y = M_{el}, \sigma_d = f_y)$$

W_{min} je průřezový modul ke vzdálenějším krajním vláknům (od osy y)

b) Pružnoplastický stav

Dvě podmínky ekvivalence sil v průřezu:

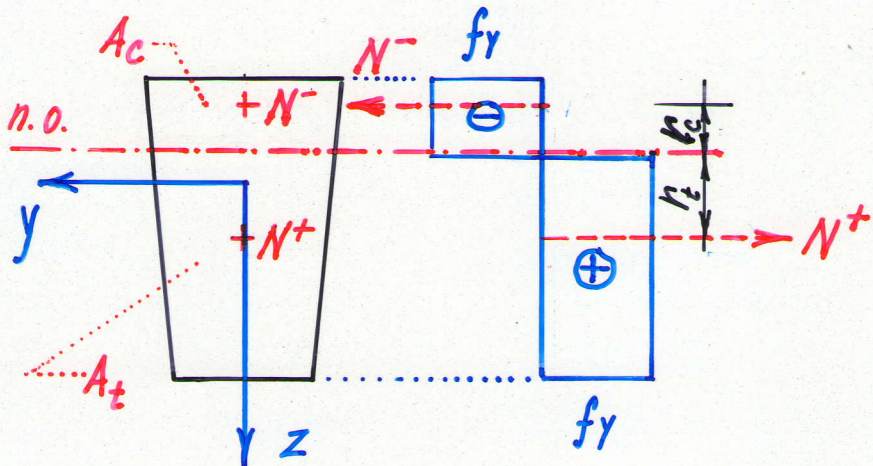
$$1) \quad N_x = 0 \dots \iint_A \sigma_x dA = 0$$

$$2) \quad M_y = M_{elpl} \dots M_{elpl} = \iint_A \sigma_x z dA$$

pro dvě neznámé:

- poloha neutrální osy
- moment únosnosti průřezu M_y

c) Plastický stav (průřez plně zplastizován)



Dvě podmínky ekvivalence:

$$1) \quad N^+ - N^- = 0$$

$$f_y \cdot A_t - f_y \cdot A_c = 0 \quad \Rightarrow \quad A_t = A_c = \frac{A}{2}$$

neutrální osa dělí průřez na dvě části o stejné ploše

$$2) \quad M_y = M_{pl}$$

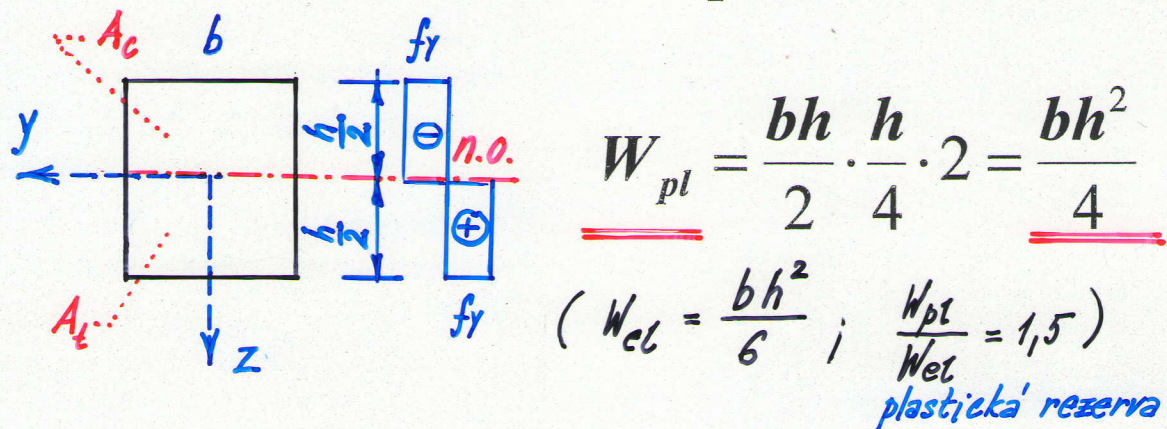
$$f_y \cdot A_t \cdot r_t + f_y \cdot A_c \cdot r_c = M_{pl}$$

$$f_y (S_{y,t} - S_{y,c}) = M_{pl}$$

$$\underline{W_{pl} = |S_{y,t}| + |S_{y,c}|} \quad \dots \quad \text{průřezový modul v plastickém stavu}$$

$$\boxed{M_{pl} = f_y \cdot W_{pl}}$$

Příklad: určete průřezový plastický modul obdélníkového průřezu



d) Odtížení z pružnoplastického (plastického) stavu

- při odtěžování se materiál chová **lineárně pružně**
- **reziduální (zbytková) napětí** se určí jako součet napětí v pružnoplastickém resp. plastickém stavu a napětí fiktivního odtěžujícího pružného stavu vyvozeného momentem M_{odt}

$$\underline{M_{odt} = -M_{elpl}} \quad \text{resp.} \quad \underline{M_{odt} = -M_{pl}}$$

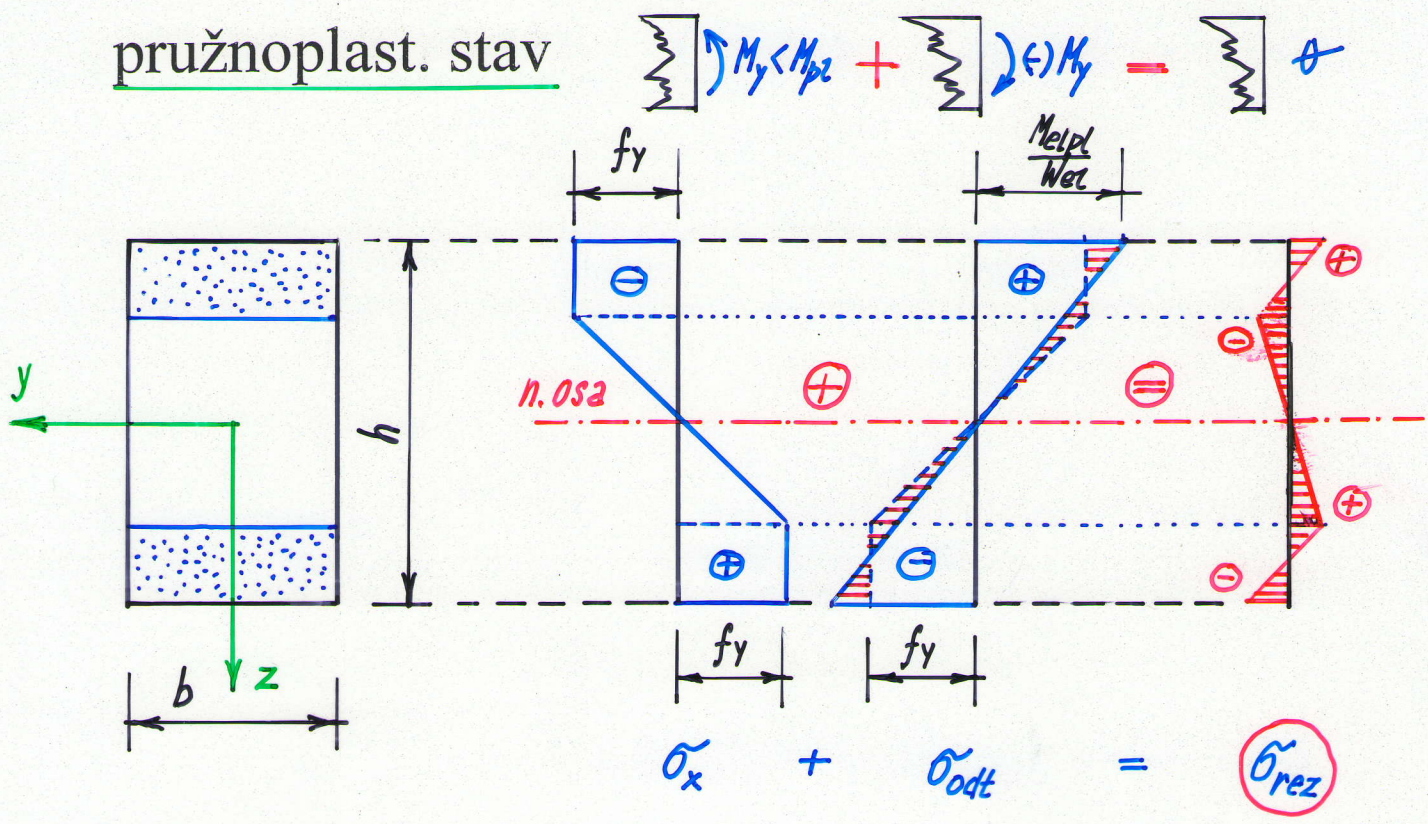
$$\boxed{\sigma_{rez} = \sigma_x + \frac{M_{odt}}{I_y} z}$$

$$\underline{|\sigma_{rez}| \leq f_y}$$

Reziduální napětí dávají nulový moment a nulovou normálovou sílu.

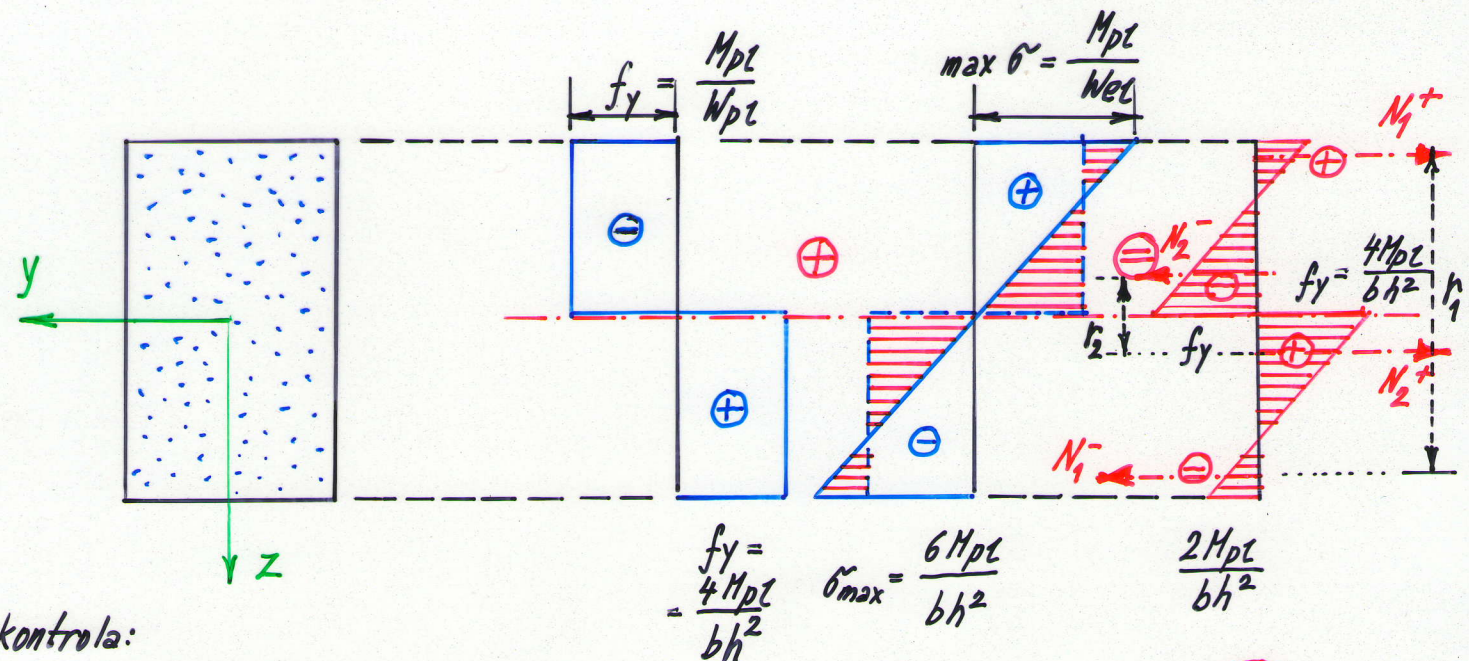
Reziduální napětí ve dvojose symetrickém průřezu (např. obdélník):

pružnoplast. stav



plastický stav

$$\tilde{M}_{pl} + \tilde{M}_{pl} = \tilde{M} + \tilde{\sigma}_{rez}$$



kontrola:

$$-N_1^- + N_1^+ + N_2^+ - N_2^- = 0$$

$$\overbrace{N_2^+ \cdot r_2} - \overbrace{N_1^- \cdot r_1} = 0$$

(rez. napětí dříveji nulový moment a nulovou norm. sílu)

$$\tilde{\sigma}_x + \tilde{\sigma}_{odt} = \tilde{\sigma}_{rez}$$

(rez. napětí dříveji nulový moment a nulovou norm. sílu)

Příklad:

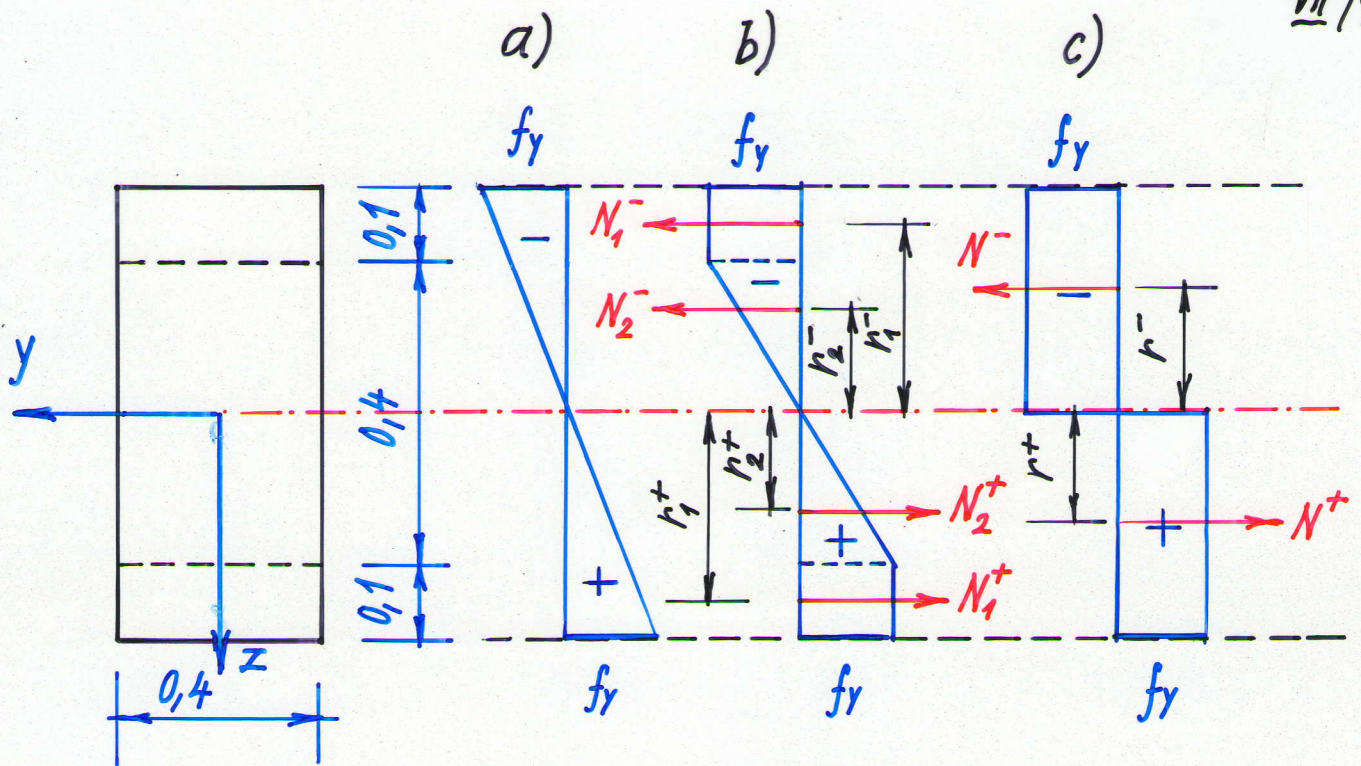
Pro obdélníkový průřez určete

- a) mezní elastický moment M_{el}
- b) elastoplastický moment M_{elpl} , je-li

$$h_{el} = 0,4\text{m}$$

- c) mezní (plastický) moment M_{pl}
- d) průběh reziduálních napětí po odtížení z elastoplastického stavu a z plastického stavu

$$f_y = 18\text{MPa} \text{ (dřevo)}$$



$$a) \underline{M_{el}} = f_y W_{el} = f_y \cdot \frac{1}{6} b h^2 = \underline{0,432 \text{ MNm}}$$

$$b) N_1^+ + N_2^+ - N_1^- - N_2^- = 0 \quad \text{splněno}$$

vzhledem k symetrii podle osy y

$$\underline{M_{elpl}} = 2 \cdot (N_1^+ r_1^+ + N_2^+ r_2^+) = \quad (r_1^+ = r_1^-; r_2^+ = r_2^-)$$

$$2 \left(\underbrace{18 \cdot 0,4 \cdot 0,1 \cdot 0,25}_{N_1^+} + \underbrace{18 \cdot 0,4 \cdot 0,2 \cdot \frac{1}{2} \cdot \frac{2}{3} \cdot 0,2}_{N_2^+} \right) =$$

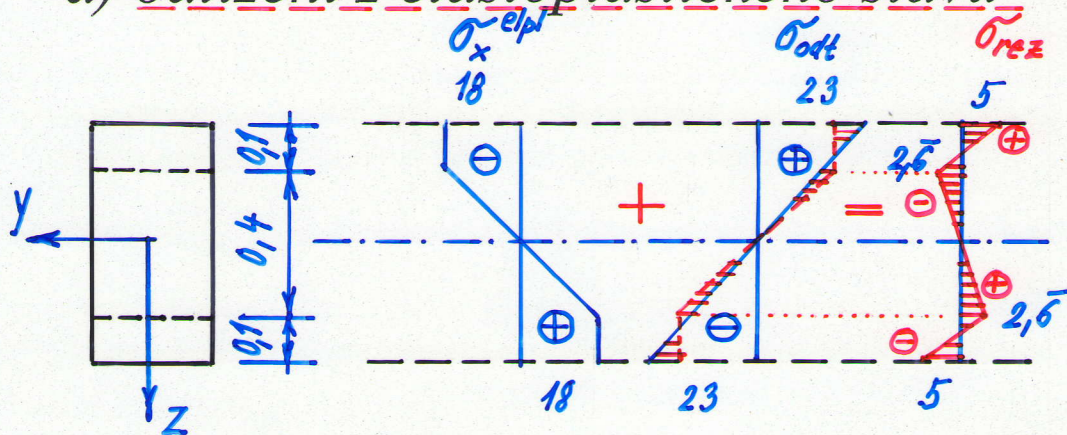
$$= \underline{0,552 \text{ MNm}}$$

$$c) \underline{M_{pl}} = f_y W_{pl} = f_y \frac{b h^2}{4} = \underline{0,648 \text{ MNm}}$$

$$(M_{pl} = N^+ \cdot r^+ + N^- \cdot r^- = 2 \cdot N^+ \cdot r^+ = 2 \cdot f_y \cdot \frac{b h}{2} \cdot \frac{h}{4} = f_y \cdot \frac{b h^2}{4})$$

! $M_{el} < M_{elpl} < M_{pl}$!

d) odtížení z elastoplastického stavu



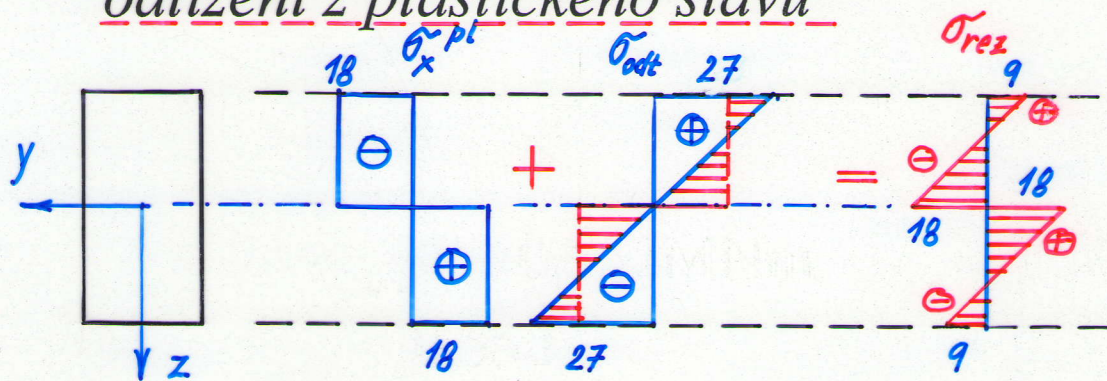
$$\underline{M_{odt} = -M_{elpl} = -0,552 \text{ MNm}} \quad I_y = 0,0072 \text{ m}^4$$

$$\sigma_{rez} = \sigma_x^{elpl} - \frac{0,552}{0,0072} z \quad \rightarrow \left(\sigma_{odt}^{dol.} = -\frac{0,552}{0,0072} \cdot 0,3 = -23 \text{ MPa} \right)$$

$$\underline{\sigma_{rez}(z=0,3) = 18 - 76,6 \cdot 0,3 = -5 \text{ MPa}}$$

$$\underline{\sigma_{rez}(z=0,2) = 18 - 76,6 \cdot 0,2 = 2,6 \text{ MPa}}$$

odtížení z plastického stavu



$$\underline{M_{odt} = -M_{pl} = -0,648 \text{ MNm}}$$

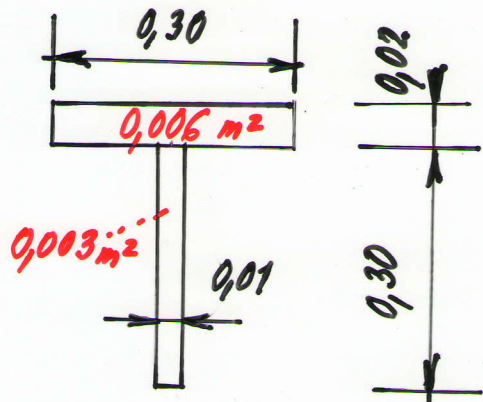
$$\sigma_{rez} = \sigma_x^{pl} - \frac{0,648}{0,0072} z = \pm 18 - 90z$$

$$\underline{\sigma_{rez}(z=0) = \pm 18 \text{ MPa}} \quad \underline{\sigma_{rez}(z=0,3) = -9 \text{ MPa}}$$

Pozn.: odtížení z plastického stavu nemá praktický význam!

Príklad

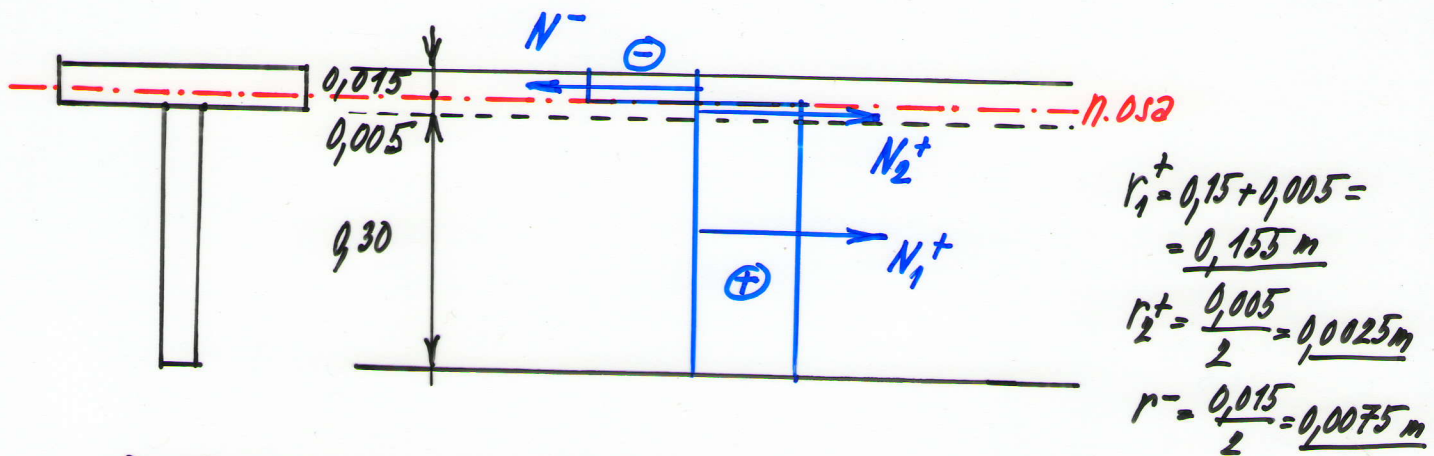
Učíte sa mezi (plastický) moment M_{pl} . $f_y = 230 \text{ MN/m}^2$



1) poloha neutrálnej osy:

$$\vec{x}: N^+ - N^- = 0$$

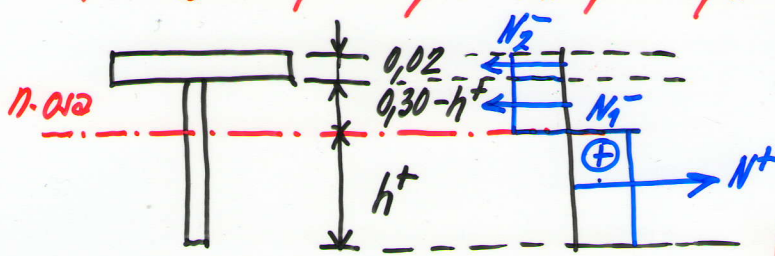
$$f_y \cdot A^+ - f_y \cdot A^- = 0 \quad \dots \quad A^+ = A^- = \frac{A}{2} = \frac{0,006 + 0,003}{2} = 0,0045 \text{ m}^2$$



$$2) n.o.: M_{pl} = N_1^+ \cdot r_1^+ + N_2^+ \cdot r_2^+ + N^- \cdot r^-$$

$$M_{pl} = 230 (0,30 \cdot 0,01 \cdot 0,155 + 0,30 \cdot 0,005 \cdot 0,0025 + 0,30 \cdot 0,015 \cdot 0,0075) = 0,115575 \text{ MNm} = 115,575 \text{ kNm}$$

Pozor na nesprávny odhad polohy n. osy!

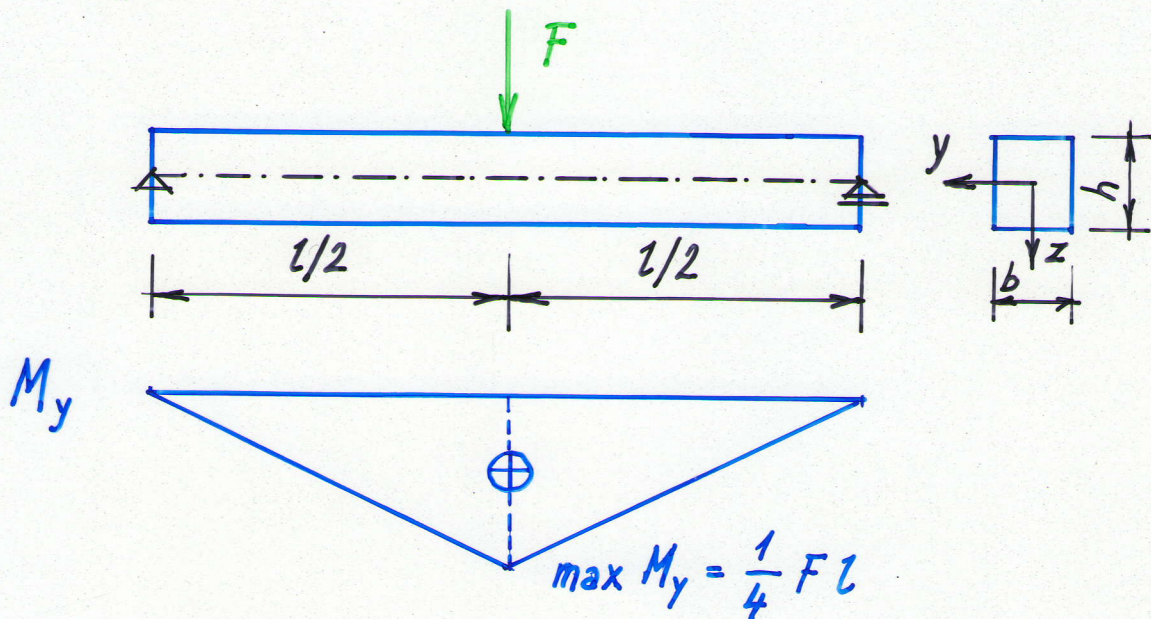


$$\vec{x}: 230 [0,01 \cdot h^+ - 0,01 (0,30 - h^+) - 0,30 \cdot 0,02] = 0$$

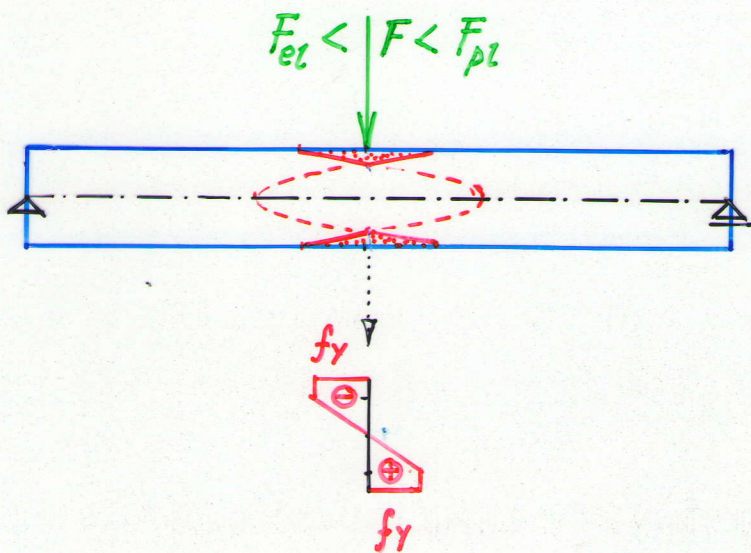
• (nereálné nariadenie → nutný nový odhad polohy neutrálnej osy)!

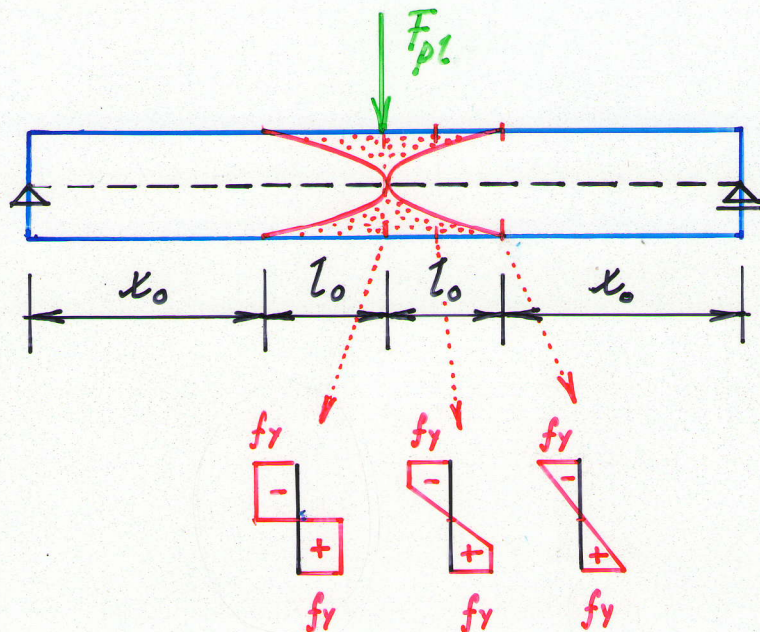
Plastický kloub

Rozložení plastických oblastí v nosníku při postupném zatěžování:



Plastické oblasti se začnou vytvářet při zatížení $F = F_{el}$ a úplný plastický kloub vznikne při zatížení $F = F_{pl}$.





Zatížení, při němž průřez pod břemenem úplně zplastizuje:

$$M_{pl} = \max M_{oh}$$

$$f_y \cdot \frac{1}{4} bh^2 = \frac{1}{4} F_{pl} l$$

$$\underline{F_{pl} = f_y \frac{bh^2}{l}}$$

Délka plastického kloubu:

$$l_0 = \frac{l}{2} - x_0$$

ohybový moment v průřezu $x = x_0$

$$M_{oh}(x_0) = \frac{F_{pl}}{2} x_0 = f_y \frac{bh^2}{2l} x_0$$

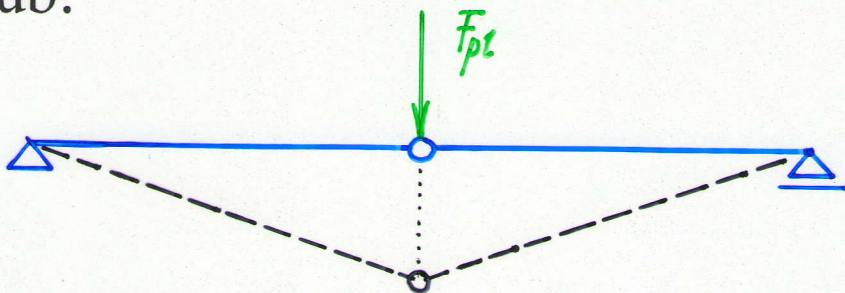
moment únosnosti průřezu $x = x_0$

$$M_{el} = f_y \cdot \frac{1}{6} b h^2$$

$$\underline{M_{oh}(x_0) = M_{el}} \quad \Rightarrow \quad x_0 = \frac{l}{3}$$

$$\underline{l_0 = \frac{l}{6}}$$

Plastický kloub funguje podobně jako vložený kloub:

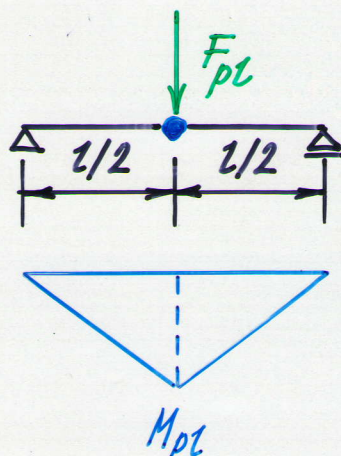
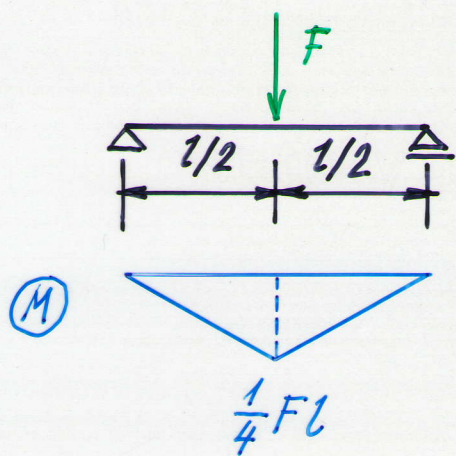


staticky přeuročitá konstrukce - pohyblivý mechanismus

Mezní plastický stav nosníku

(používá se pracovní diagram tuhoplastický σ)

- staticky určitá konstrukce → kolaps při vzniku jednoho plastického kloubu
- plastické klouby vznikají v místech extrémních momentů



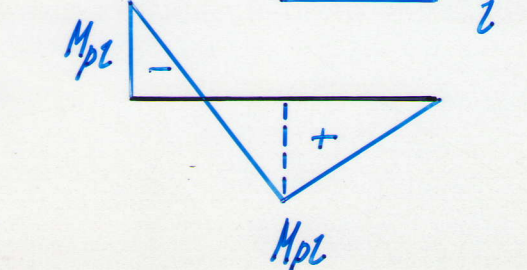
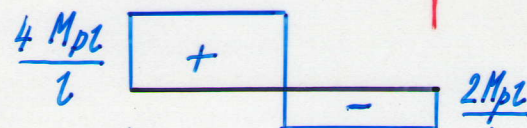
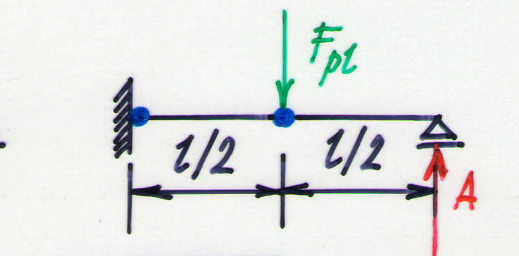
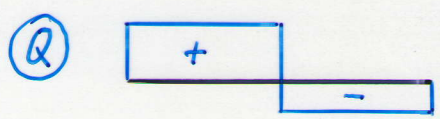
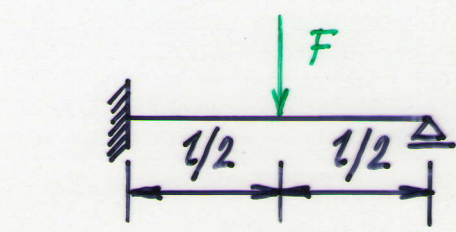
1 plast. kloub

kolaps nastane při:

$$M_{pl} = \frac{1}{4} F_{pl} \cdot l$$

$$\underline{\underline{F_{pl} = \frac{4 M_{pl}}{l}}}$$

- n -krát staticky neurčitá konstrukce → kolaps při vzniku $(n+1)$ plastických kloubů (konstrukce tvarově neurčitá)



1x stat. neurč. konstr.
2 plast. klouby

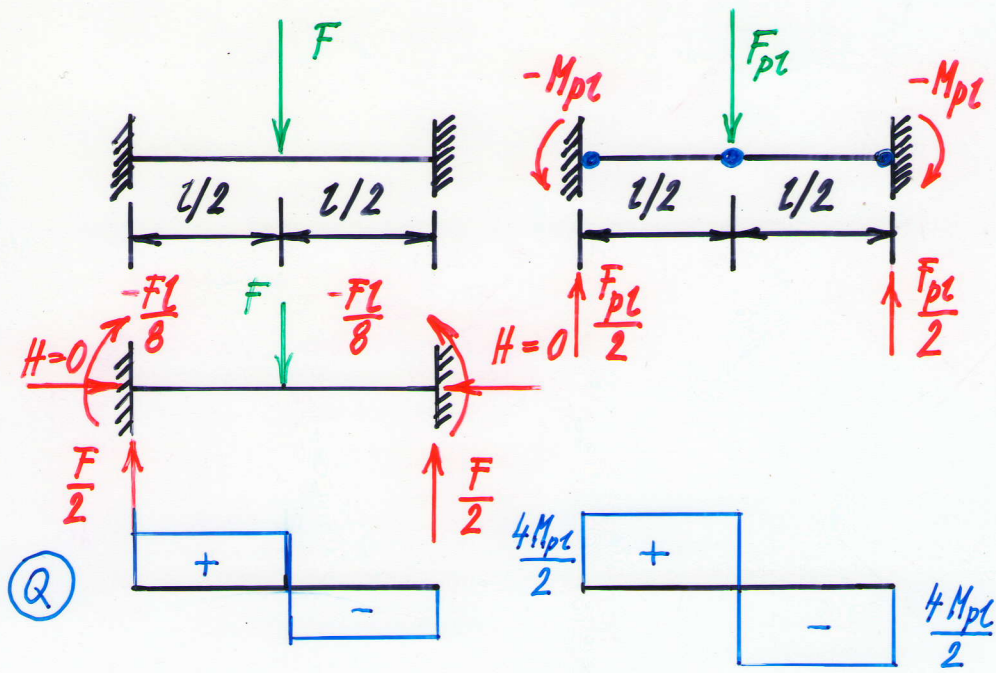
kolaps nastane při:

$$A \cdot \frac{l}{2} = M_{pl} \quad (1)$$

$$A = \frac{2 M_{pl}}{l}$$

$$A \cdot l - F_{pl} \cdot \frac{l}{2} = -M_{pl} \quad (2)$$

$$\underline{\underline{F_{pl} = \frac{6 M_{pl}}{l}}}$$



3x stat. neuré konstr.
ale při $H=0$
pouze 2x stat. neuré
↓
3 plast. klouby

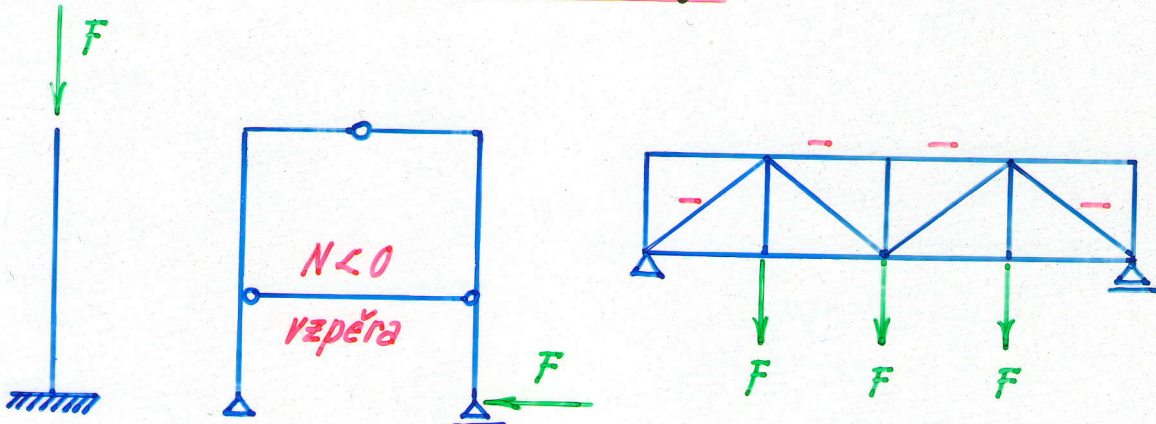
kolaps nastane při:

$$\frac{F_{pL}}{2} \cdot \frac{l}{2} - M_{pL} = M_{pL}$$

$$\downarrow \\ \underline{\underline{F_{pL} = \frac{8M_{pL}}{l}}}$$

STABILITA PŘÍMÝCH PRUTŮ

Štíhlé pruty namáhané tlakovou osovou silou jsou ohroženy ztrátou stability.



Ztráta stability se projeví takto:

- Prut zůstává přímý, pokud osová tlaková síla je menší než určitá hodnota specifická pro prut.
- Po překročení této hodnoty se prut prohne (vybočí) a nakonec nastane kolaps.
- Významnou roli hraje čas.

Vybočení štíhlých prutů je jedna z nejčastějších příčin havárií mostních konstrukcí i konstrukcí pozemního stavitelství.

Problém namáhání štíhlých prutů tlakovou osovou silou se označuje jako vzpěr.

- Matematický model:

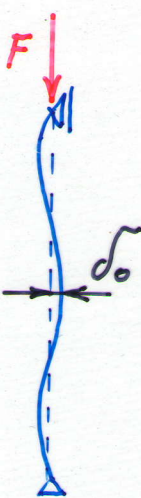
Ideální prut: - dokonale přímý, centricky



zatížený a uložený

- výpočet kritického břemene F_k
- k vybočení je třeba příčného impulzu (příčná síla, nerovnoměrné ohřátí)

Skutečný prut - odchylky od přímého tvaru (imperfekce) mají náhodný charakter



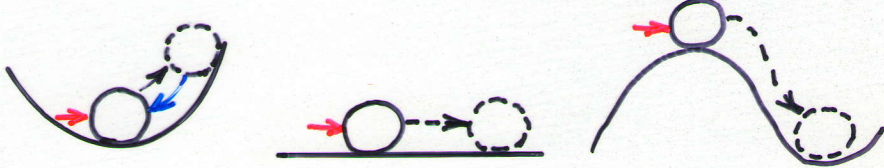
- odchylky δ_0 jsou malé

$$\left(\frac{1}{500} l \div \frac{1}{1000} l \right)$$

- odlišná kvalita namáhání → kombinace tlaku s ohybem

- Pojem stabilita znamená kvalitu rovnováhy:

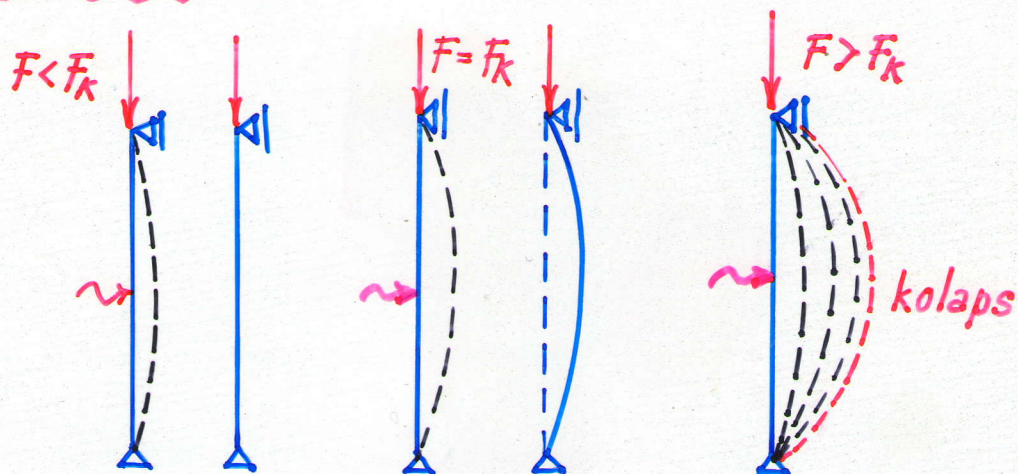
tuhá tělesa



rovnováha:

stabilní indiferentní labilní

pružné soustavy – ideální prut



rovnováha: stabilní indiferentní labilní

\downarrow
bifurkace rovnováhy
(rozdvojení)

\downarrow
definice F_k

- Řešení stability skutečného prutu

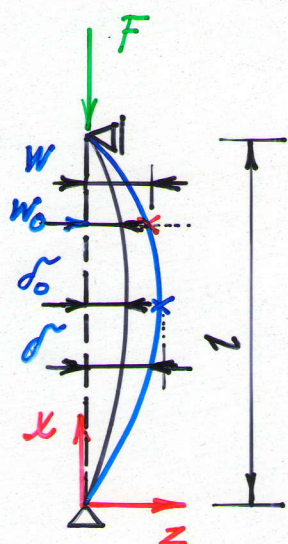
Nutno rozlišovat mezi původní a deformovanou konstrukcí.

Teorie druhého řádu:

Posuny u ve směru střednice a rotace φ_y

zůstávají malé, průhyby w jsou velké.

Podmínky rovnováhy je nutno sestavovat na **deformované konstrukci**.



$w_0 (\delta_0)$... počáteční průhyb
(amplituda průhybu)
 $w (\delta)$... konečný průhyb
(amplituda průhybu)

$\frac{1}{\rho_0}$... počáteční křivost (bez síly F)

$\frac{1}{\rho}$... konečná křivost

$\frac{1}{\rho} - \frac{1}{\rho_0}$... změna křivosti vyvolaná ohybovým momentem $M = Fw$

Dif. rovnice ohybové čáry (bez poč. průhybu)

$$w'' = -\frac{M_y}{EI_y} \quad \text{neboli} \quad \frac{1}{\rho} = \frac{M_y}{EI_y}$$

(přesněji)

Dif. rovnice ohybové čáry (s poč. průhybem)

$$\frac{1}{\rho} - \frac{1}{\rho_0} = \frac{Fw}{EI_y}$$

a) nelineární řešení \Rightarrow velké deformace

$$\frac{1}{\rho} = - \frac{w''}{(1 + w'^2)^{3/2}}$$

nutno použít pro zakřivené pruty (oblouky)

b) lineární řešení \Rightarrow malé deformace
(tj. teorie druhého rádu)

$$\frac{1}{\rho} \cong -w'' \quad \text{neboli} \quad 1 + w'^2 \cong 1$$

$$(w'' - w''_0) + \frac{F}{EI_y} w = 0 \quad \Rightarrow \quad \delta = \frac{\delta_0}{1 - \frac{F}{F_k}}$$

Lze použít pro přímé pruty a prutové soustavy tvořící ortogonální systém (rámové konstrukce).

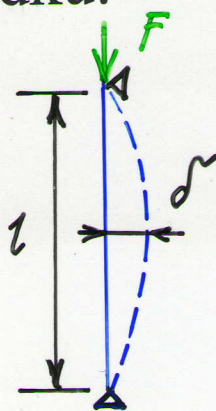
Poznámka:

Software *FIN 3D* obsahuje modul pro řešení lineární stability.

Přehled výsledků:

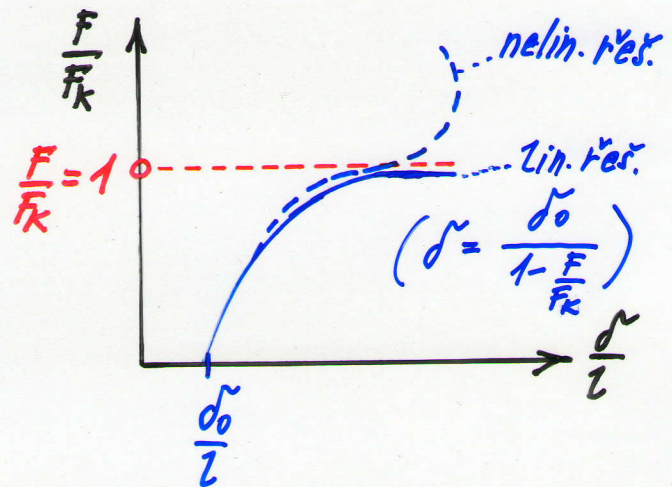
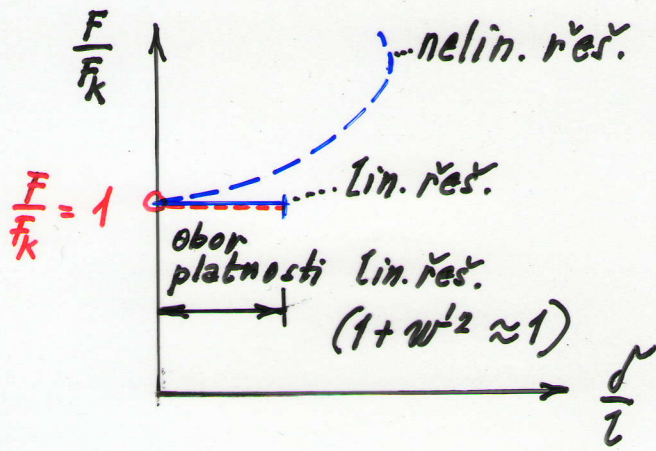
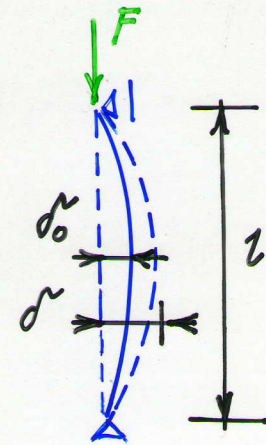
ideální prut

$$\delta_0 = 0$$



skutečný prut

$$\delta_0 \neq 0$$



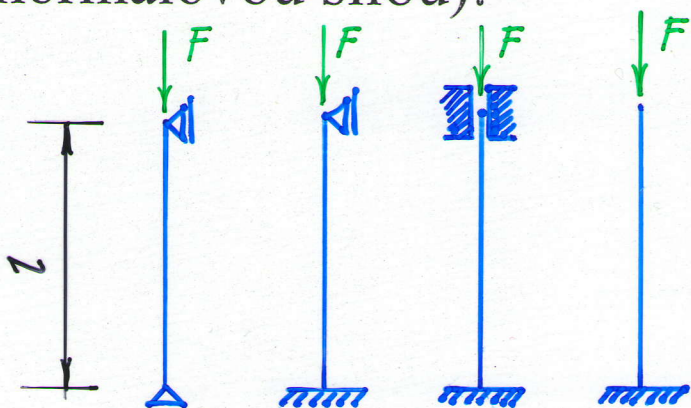
- Metody výpočtu kritických sil F_k (ideální prut)

Předpoklady: lineárně pružný materiál
malé deformace
rovnováha na deformovaném prutu

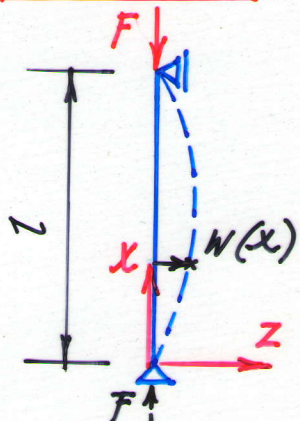
- a) Geometrická (Eulerova) metoda → přesná
Spočívá v řešení dif. rovnice ohybové čáry.
- b) Energetická (Ritzova) metoda → přibližná
Spočívá v porovnání energie vnitřních a vnějších sil.

Geometrická (Eulerova) metoda

Euler odvodil výrazy pro kritické břemeno ve čtyřech tzv. základních Eulerových případech (tj. pruty s konstantním průřezem a konstantní normálovou silou):



1. případ



$$M_y = Fw$$

$$w'' = -\frac{F}{EI_y} \alpha^2 w$$

$$w'' + \alpha^2 w = 0 \quad \alpha^2 = \frac{F}{EI_y}$$

řešení: $w = C_1 \sin \alpha x + C_2 \cos \alpha x$

okrajové podmínky:

a) $x = 0 \dots w = 0 \rightarrow C_2 = 0$

b) $x = l \dots w = 0 \rightarrow C_1 \sin \alpha l = 0$

$C_1 = 0$

(průhyb nulový)

$\sin \alpha l = 0$

charakteristická rovnice

$$\sin \alpha l = 0 \quad \dots \quad \alpha l = \pi, 2\pi, \dots \text{atd.}$$

minimální kořen: $\underline{\alpha_k l = \pi}$

$$\alpha_k^2 = \frac{\pi^2}{l^2} \quad \alpha_k^2 = \frac{F_k}{EI_y}$$

Eulerův vzorec

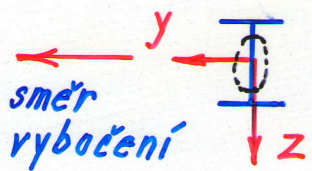
$$F_k = EI_y \frac{\pi^2}{l^2}$$

(Další Eulerovy případy viz skriptum PP20)

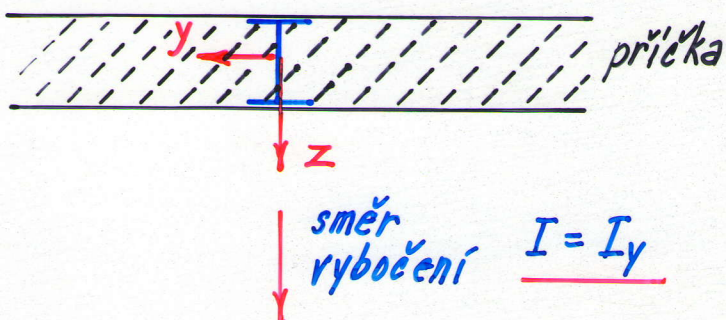
Obecně používaný vzorec pro F_k :

$$F_k = EI \frac{\pi^2}{L^2}$$

I ... moment setrvačnosti k ose kolmé na směr vybočení (jsou-li podmínky vybočení stejné ve všech směrech, pak $I = I_{min}$)



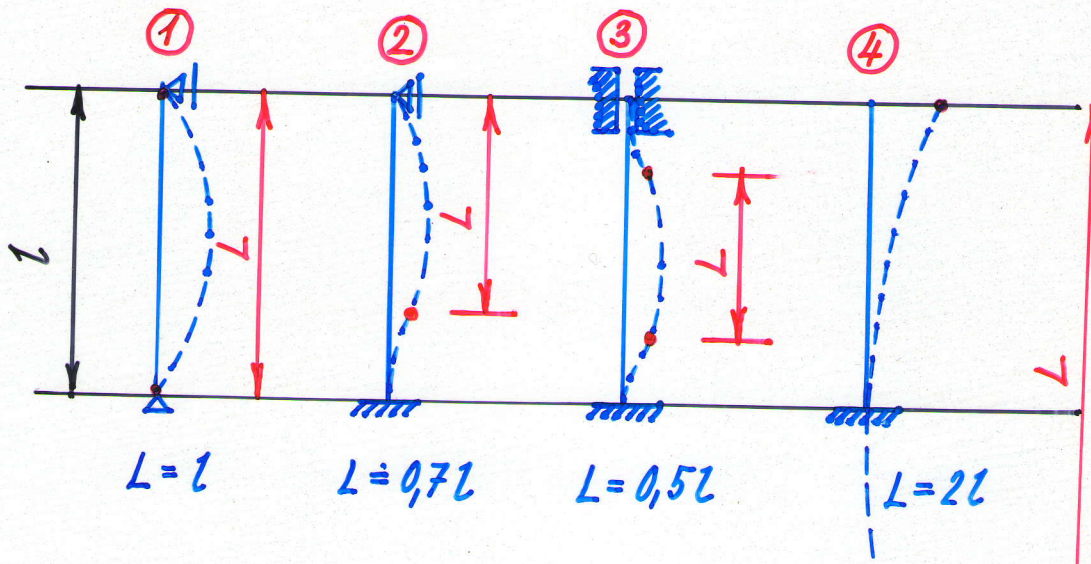
$$\underline{I = I_z = I_{min}}$$



$$\underline{směr vybočení} \quad \underline{I = I_y}$$

L ... vzpěrná délka

ve čtyřech základních Eulerových případech
se určí ze vzorců :



V obecnějších případech (proměnné EI , N) je
nutno vzpěrnou délku odvodit z řešení F_K .

Odráz teorie v normách pro navrhování tlacených štíhlých prutů

Kritické napětí, Eulerova hyperbola

Jak posuzovat štíhlost prutu?

a) Ideální prut

Napětí v centricky tlaceném (nevyboceném) prutu:

$$\sigma = \frac{N}{A}$$

Při namáhání kritickou silou F_K vzniká v prutu tzw. kritické napětí σ_K

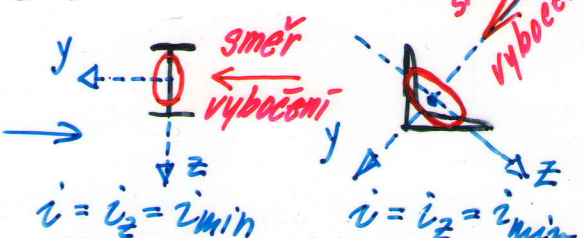
$$\sigma_K = \frac{F_K}{A} = \frac{EI \frac{\pi^2}{L^2}}{\frac{I}{i^2}} = \frac{E \pi^2}{\left(\frac{L}{i}\right)^2} = \frac{E \pi^2}{\lambda^2}$$

• $\lambda = \frac{L}{i}$ štíhlostní poměr prutu

• L vzpěrná délka

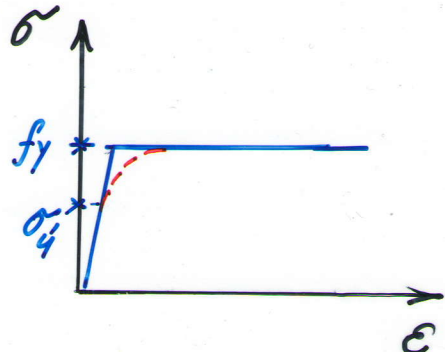
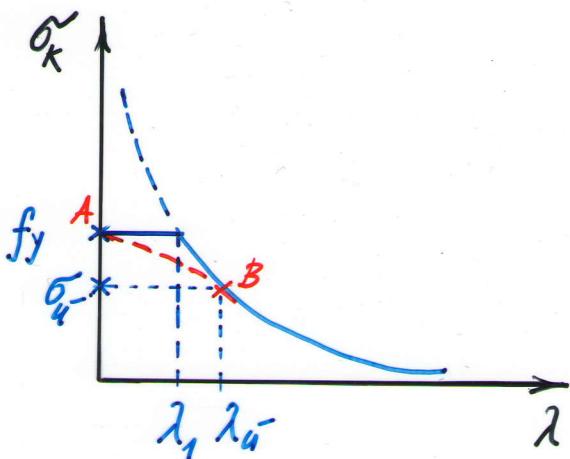
• $i = \sqrt{\frac{I}{A}}$ poloměr setrvačnosti k ose kolmý na směr vybočení

(Jsou-li podmínky uložení v všech směrech stejné, pak vybočí ve směru kratší polohy)



Závislost $\tilde{\sigma}_K$ na štíhlostním poměru λ vyjadruje
Eulerova hyperbola

$$\tilde{\sigma}_K = \frac{E\pi^2}{\lambda^2}$$



— ideálně pružnoplastický materiál
 --- reálný materiál

- Ideálně pružnoplastický materiál:

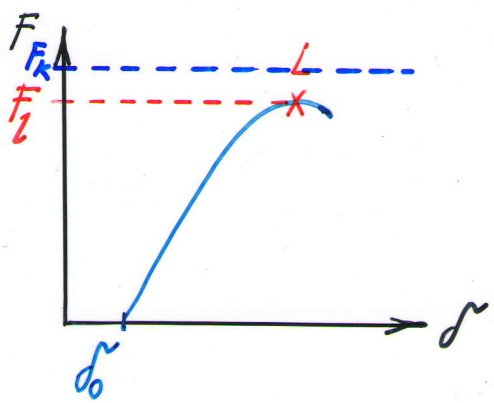
V oboru $0 < \lambda < \lambda_1$ Eulerova hyperbola neplatí (protože $\tilde{\sigma} > f_y$), nahrazuje se hodnotou $\tilde{\sigma}_K = f_y$.

- Reálný materiál:

V oboru $0 < \lambda < \lambda_u$ se Eul. hyperbola nahrazuje křítkou \overline{AB}

(λ_u je štíhlosť odpovídající mezi úměrnosti $\tilde{\sigma}_y$)

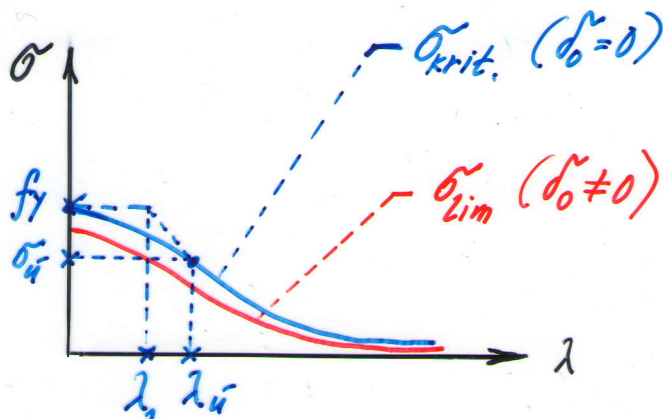
b) skutečný (imperfektní) prut



F_L ... limitní síla ($F_L < f_k$)

$\tilde{\sigma}_{lim} = \frac{F_L}{A}$... limitní napětí, které je prut schopen přenést před zhroucením

$$\underline{\underline{\tilde{\sigma}_{lim} < \tilde{\sigma}_k}}$$



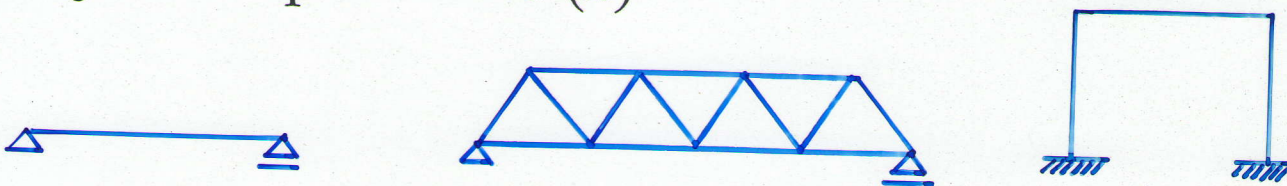
Využití v návrhových normách:

na základě stíhlostního poměru λ se určí z tabulek součinitel rezilnosti X ($\lambda, E, f_y, \frac{\delta_0}{L}$), kterým se redukuje výpočtová únosnost průřezu.

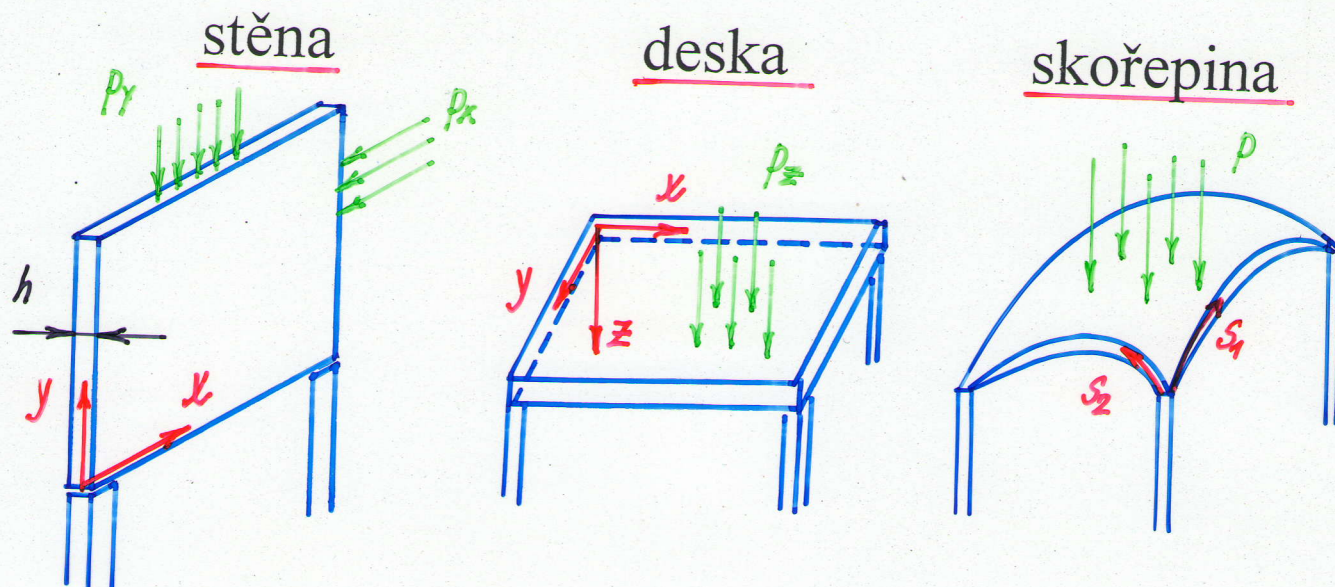
(masivní pruty ... $X=1$
stíhle pruty ... $X < 1$)

DVOJROZMĚRNÝ PROBLÉM (2D)

- Jednorozměrný problém (1D) – pruty
Vnitřní síly a deformační faktory závisejí na jednom parametru (x)

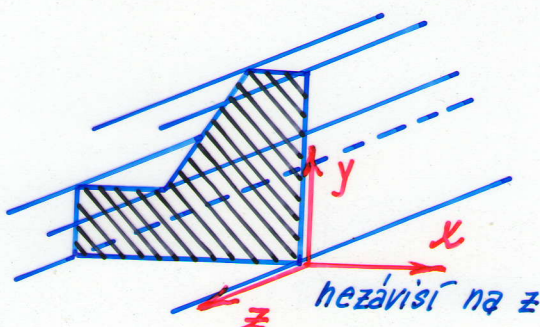


- Trojrozměrný problém (3D)
Napětí, deformace závisejí na 3 parametrech (x,y,z)
15 neznámých ... $\{u\}, \{\varepsilon\}, \{\sigma\}$
15 rovnic ... 3statické, 6geom., 6fyzikálních
- Dvojrozměrný problém (2D)
Napětí, deformace závisejí na 2 parametrech (např. x,y nebo s_1,s_2).
Dva rozměry l_1, l_2 převládají nad třetím rozměrem – tloušťkou h .
Střednicová plocha je buď rovinná (stěny, desky) nebo zakřivená (skořepiny).

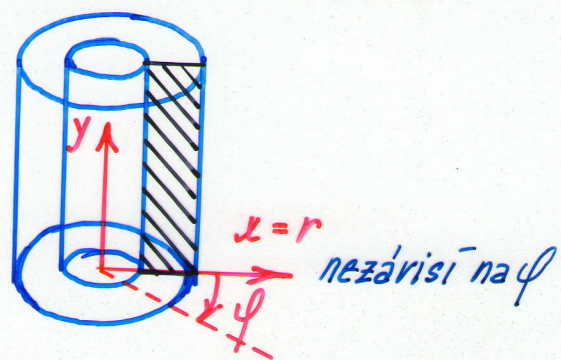


Zvláštní případy symetrie prostorových konstrukcí:

opěrná zed' (hráz)



rotačně sym. konstr.



Dvě varianty dvojrozměrného problému:

- Rovinná napjatost v rovině (x, y) (stěna)

$$\sigma_x, \sigma_y, \tau_{xy}$$

$$\epsilon_x, \epsilon_y, \gamma_{xy}, \epsilon_z \quad (\epsilon_z \neq 0)!$$

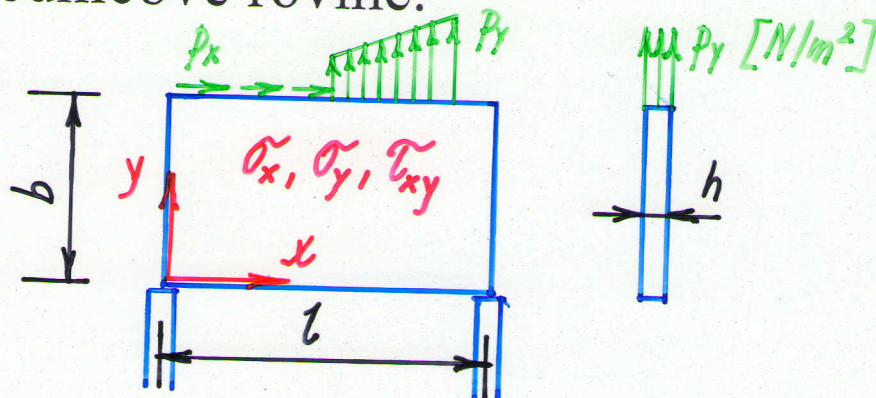
- Rovinná deformace v rovině (x, y) (opěrná zed')

$$\epsilon_x, \epsilon_y, \gamma_{xy}$$

$$\sigma_x, \sigma_y, \tau_{xy}, \sigma_z \quad (\sigma_z \neq 0)!$$

NOSNÉ STĚNY

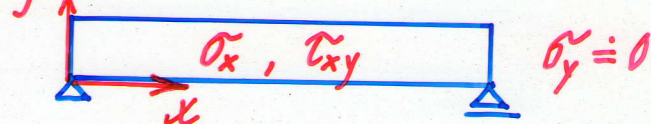
Rovinné konstrukce zatížené pouze ve střednicové rovině.



Kritérium pro vznik rovinné napjatosti:

$$h \leq \frac{1}{10} \min(l, b)$$

$$b \geq \left(\frac{1}{5} \div \frac{1}{4} \right) l \quad (\text{nízká stěna = nosník})$$



Řešení algoritmem silové metody

- Primární neznámá: funkce napětí $F(x, y)$
- výchozí rovnice kompatibility (zajišťují spojitost deformace)

Složky napětí vyjádřeny pomocí Airyho funkce napětí $F(x, y)$ [N]

$$\sigma_x = \frac{\partial^2 F}{\partial y^2} \quad \sigma_y = \frac{\partial^2 F}{\partial x^2} \quad \tau_{xy} = -\frac{\partial^2 F}{\partial x \partial y}$$

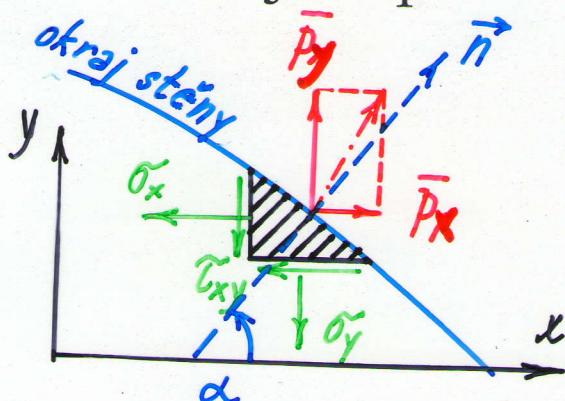
- Z rov. kompatibility vyplývá tzv. stěnová rovnice

$$\Delta\Delta F = 0$$

$\Delta\Delta = (\Delta)^2$ je biharmonický operátor

$$\Delta\Delta F = \frac{\partial^4 F}{\partial x^4} + 2 \frac{\partial^4 F}{\partial x^2 \partial y^2} + \frac{\partial^4 F}{\partial y^4}$$

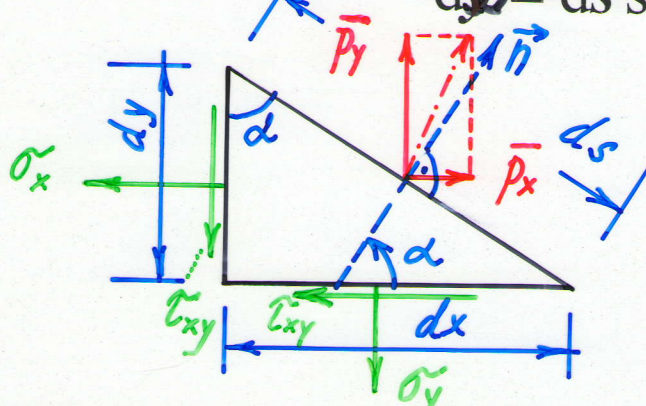
- Okrajové podmínky – statické



$\bar{p}_x, \bar{p}_y \dots$ složky zatížení
[N/m²]

$$dx = ds \cos \alpha$$

$$dy = ds \sin \alpha$$

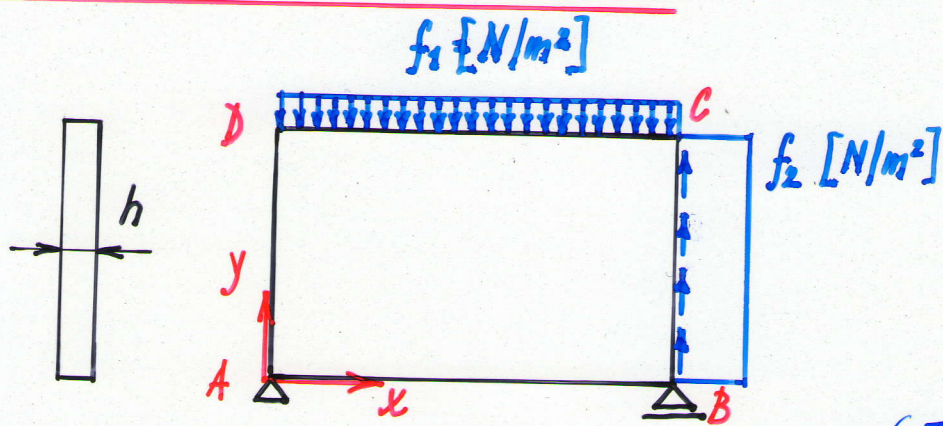


Z podmínek rovnováhy elementu:

$$\bar{p}_x = \sigma_x \cos \alpha + \tau_{xy} \sin \alpha$$

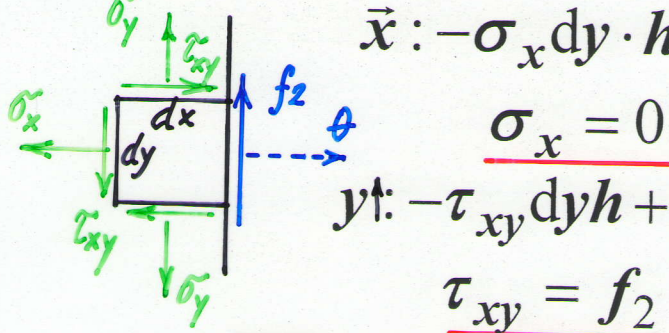
$$\bar{p}_y = \tau_{xy} \cos \alpha + \sigma_y \sin \alpha$$

Příklad – obdélníková stěna



Hrana BC: ($\alpha = 0; \sin \alpha = 0; \cos \alpha = 1$) ($\bar{p}_y = f_2 \dots f_2 = \tilde{\epsilon}_{xy}$)
 $(\bar{p}_x = 0 \dots 0 = \tilde{\sigma}_x)$

$$\vec{x} : -\sigma_x dy \cdot h + (\tau_{xy} - \tau_{xy}) dx \cdot h = 0$$

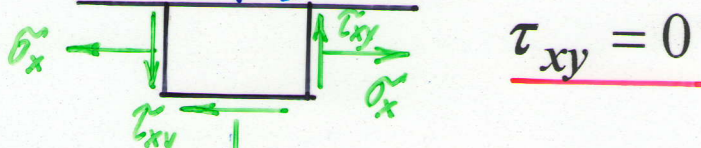


$$y \uparrow : -\tau_{xy} dy h + f_2 dy h + (\sigma_y - \sigma_y) dx h = 0$$

$$\underline{\tau_{xy} = f_2}$$

Hrana CD: ($\alpha = \frac{\pi}{2}; \sin \alpha = 1; \cos \alpha = 0$) ($\bar{p}_y = -f_1 \dots -f_1 = \tilde{\sigma}_y$)
 $(\bar{p}_x = 0 \dots 0 = \tilde{\epsilon}_{xy})$

$$\vec{x} : -\tau_{xy} dx h + (\sigma_x - \sigma_x) dy h = 0$$



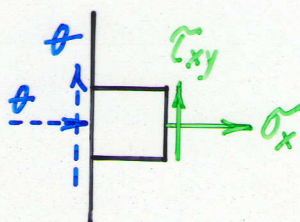
$$y \uparrow : -\sigma_y dx h - f_1 dx h + (\tau_{xy} - \tau_{xy}) dy h = 0$$

$$\underline{\sigma_y = -f_1}$$

Hrana AD:

$$\underline{\sigma_x = 0}$$

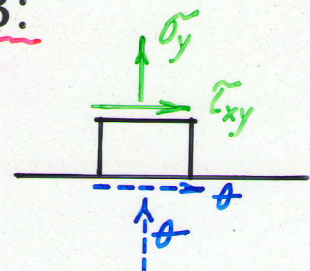
$$\underline{\tau_{xy} = 0}$$



Hrana AB:

$$\underline{\sigma_y = 0}$$

$$\underline{\tau_{xy} = 0}$$



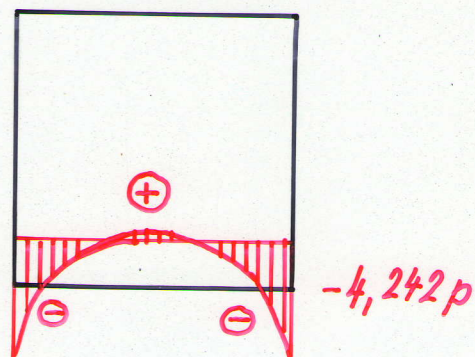
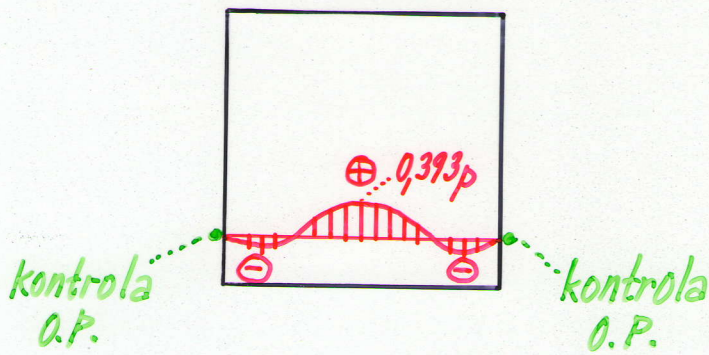
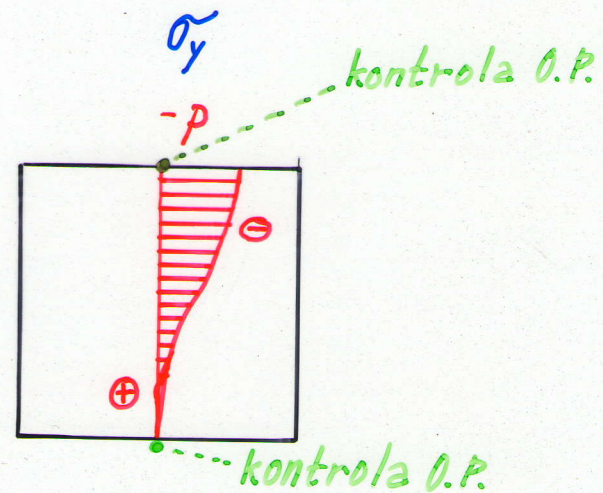
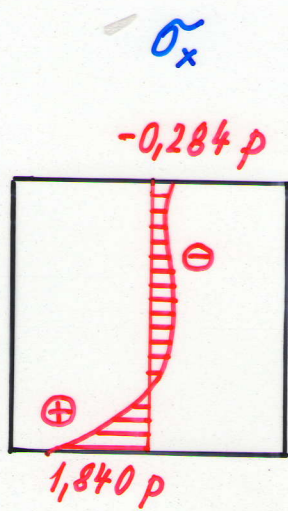
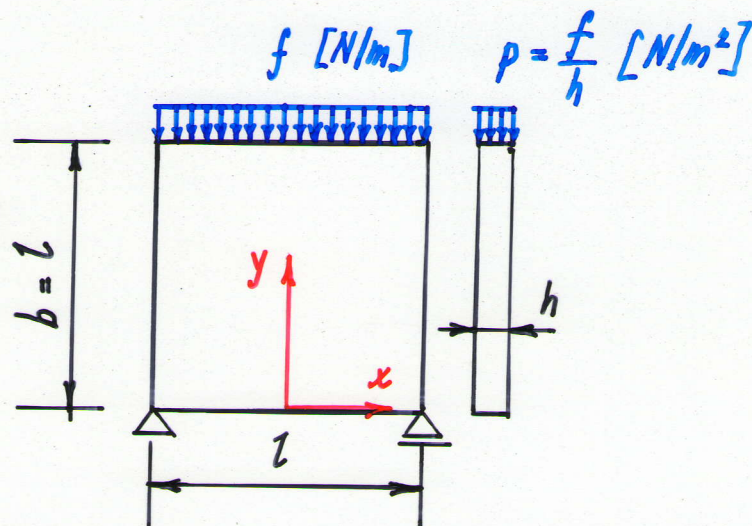
! Okraj. podm. lze použít jako kontrolu výpočtu !

Metody řešení (viz předmět Analýza konstrukcí):

- Metoda sítí (diferenční metoda)
- Fourierova metoda (rozvoj zatížení a $F(x,y)$ ve Fourierovu řadu)
- Metoda konečných prvků (MKP)

Příklad:

[skriptum PP20,
šejnoha J., Bittnarová J.
pr. 64]

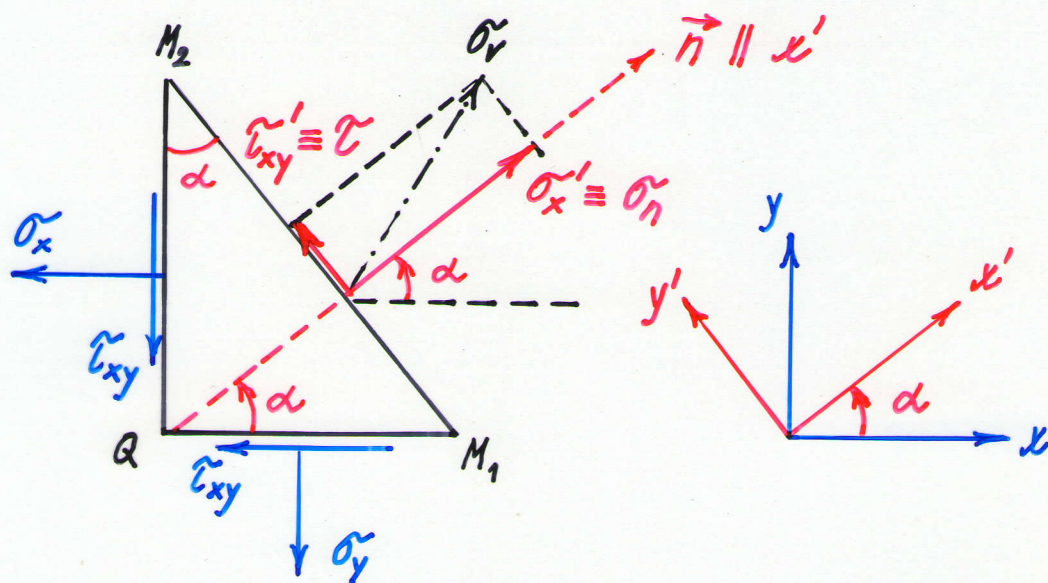


Hlavní napětí v bodě při rovinné napjatosti

Rov. napjatost v rovině x,y ... $\sigma_x, \sigma_y, \tau_{xy}$

- Transformační vzorce

(analogie s transformačními vzorci pro momenty setrvačnosti)



Z podmínek rovnováhy elementu plyne:

$$\sigma'_x = \sigma_n = \sigma_x \cos^2 \alpha + \sigma_y \sin^2 \alpha + \tau_{xy} \sin 2\alpha$$

$$\sigma'_y = \sigma_x \sin^2 \alpha + \sigma_y \cos^2 \alpha - \tau_{xy} \sin 2\alpha$$

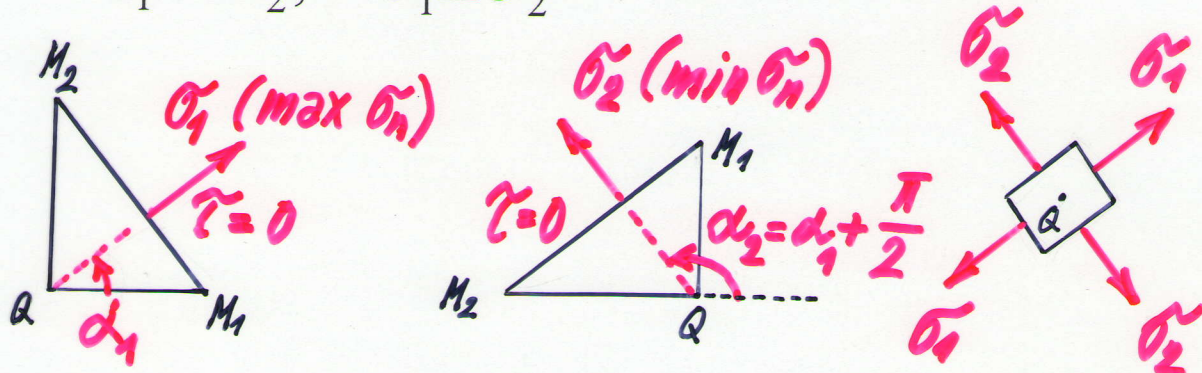
$$\tau'_{xy} = \tau = \frac{1}{2} (\sigma_y - \sigma_x) \sin 2\alpha + \tau_{xy} \cos 2\alpha$$

- Hlavní normálová napětí

(analogie s hlavními momenty setrvačnosti)

Při otáčení elementu QM_1M_2 kolem Q se mění složky σ_n, τ . Je-li na ploše M_1M_2 $\tau = 0$, nabývá σ_n extrémní hodnoty. Takové plošky jsou v každém bodě dvě \Rightarrow hlavní plochy, na nich vznikají hlavní normálová napětí σ_1, σ_2 .

Platí: $\sigma_1 \geq \sigma_2, \quad \sigma_1 \perp \sigma_2$

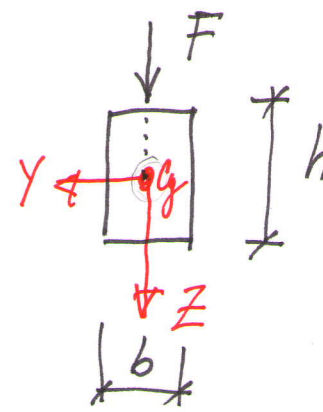
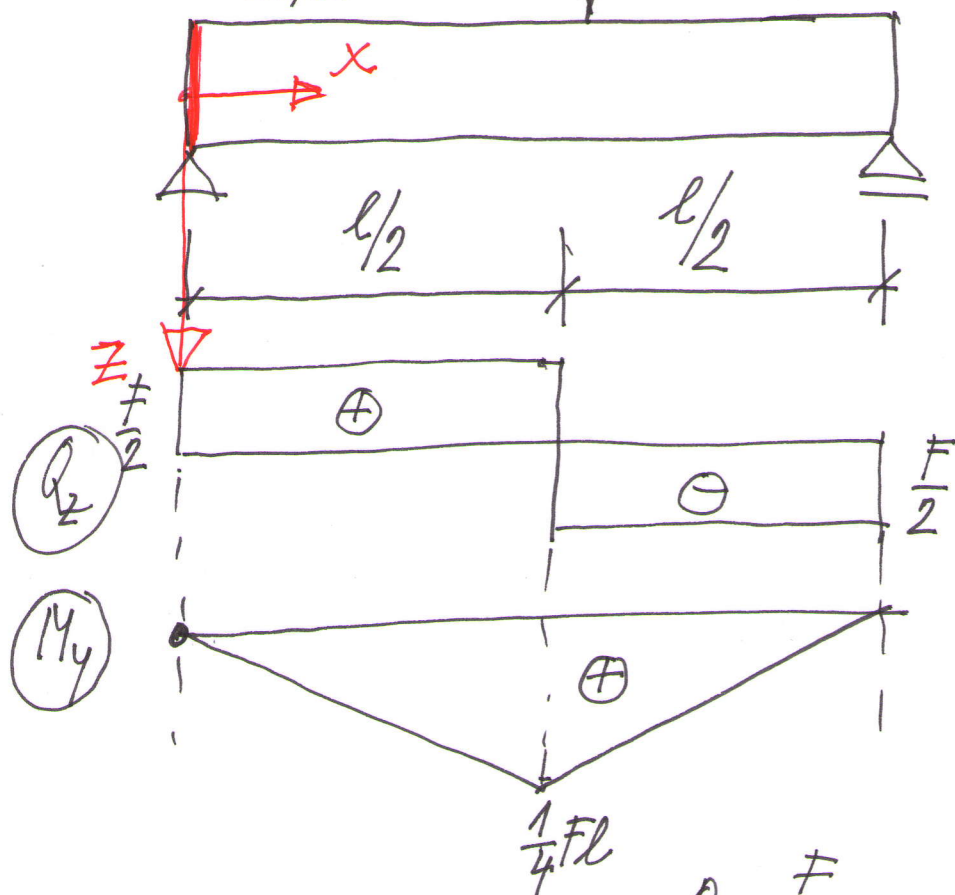


$$\sigma_{1,2} = \frac{\sigma_x + \sigma_y}{2} \pm \sqrt{\left(\frac{\sigma_x - \sigma_y}{2}\right)^2 + \tau_{xy}^2}$$

$$\tan \alpha_i = \frac{\sigma_i - \sigma_x}{\tau_{xy}} = \frac{\tau_{xy}}{\sigma_i - \sigma_y}, \quad i = 1, 2$$

nebo $\tan 2\alpha = \frac{2\tau_{xy}}{\sigma_x - \sigma_y}$

Príklad: Urieť $\sigma_{1/2}$ v príčezoch nad podporou a uprostred rozpráti.



rovinná napätosť:
v rovine XZ:
 $(\tilde{\sigma}_x, \tilde{\sigma}_z, \tilde{\tau}_{xz})$

$$\tilde{\sigma}_z = 0 \text{ (nachádza sa)}$$

$$\tilde{\tau}_{xz} = \frac{Q_z \cdot S_z}{b \cdot I_z} + \boxed{\frac{Q_z \cdot S_y}{b \cdot I_y}}$$

prípr. nad podporou: $Q_z = \frac{F}{2} \dots \dots \tilde{\tau}_{xz} = \frac{Q_z \cdot S_z}{b \cdot I_z} + \boxed{\frac{Q_z \cdot S_y}{b \cdot I_y}}$

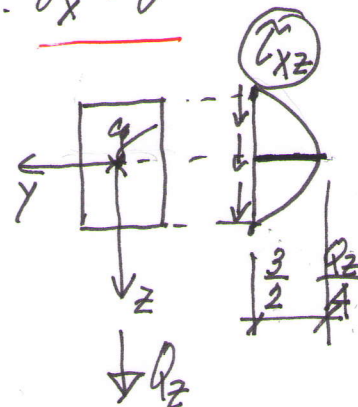
$$M_y = 0 \dots \dots \tilde{\sigma}_x = 0$$

v težišti: $\tilde{\sigma}_x = 0$

$$\tilde{\tau}_{xz} = \frac{3}{2} \frac{Q_z}{bh} = \frac{3}{2} \frac{F}{2bh}$$

$$\tilde{\sigma}_{1/2} = \frac{\tilde{\sigma}_x + \tilde{\sigma}_z}{2} \pm \sqrt{\frac{(\tilde{\sigma}_x - \tilde{\sigma}_z)^2}{4} + \tilde{\tau}_{xz}^2} =$$

$$= \pm \tilde{\tau}_{xz} \Rightarrow \boxed{\tilde{\sigma}_1 = + \tilde{\tau}_{xz} \quad \tilde{\sigma}_2 = - \tilde{\tau}_{xz}}$$



$$\tilde{\sigma}_1 = + \frac{3}{4} \frac{F}{bh}$$

$$\tilde{\sigma}_2 = - \frac{3}{4} \frac{F}{bh}$$

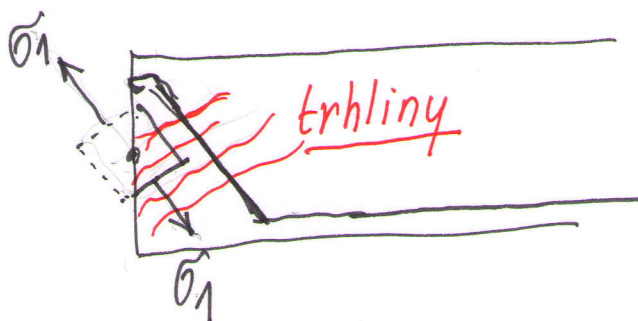
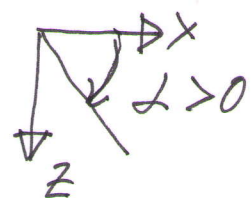
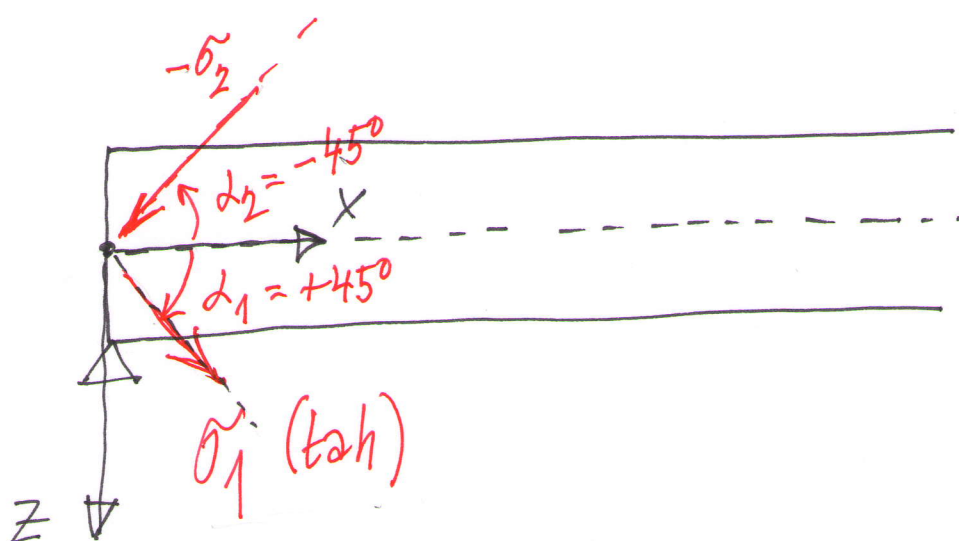
$$\boxed{\tilde{\sigma}_1 \dots \text{tah}}$$

$$\tilde{\sigma}_2 \dots \text{tlač}$$

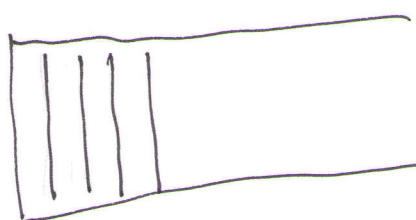
Směry hlav. napětí $\tilde{\sigma}_1, \tilde{\sigma}_2$:

$$\operatorname{tg} \alpha_1 = \frac{\tilde{\sigma}_1 - \tilde{\sigma}_x}{\tilde{\epsilon}_{xz}} = \frac{\frac{3}{4} \frac{F}{bh}}{\frac{3}{4} \frac{F}{bh}} = 1 \dots \underline{\underline{\alpha_1 = 45^\circ}}$$

$$\operatorname{tg} \alpha_2 = \frac{\tilde{\sigma}_2 - \tilde{\sigma}_x}{\tilde{\epsilon}_{xz}} = \frac{-\frac{3}{4} \frac{F}{bh}}{\frac{3}{4} \frac{F}{bh}} = -1 \dots \underline{\underline{\alpha_2 = -45^\circ}}$$



vzniky trhlin v betonu
zabráni vhodná
ocelová výztuž

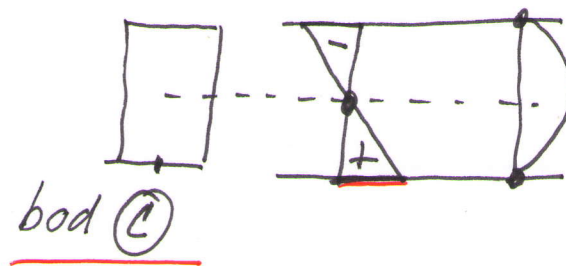


průřez uprostřed rozpětí:

(6)

$$M_y = \frac{1}{4} Fl$$

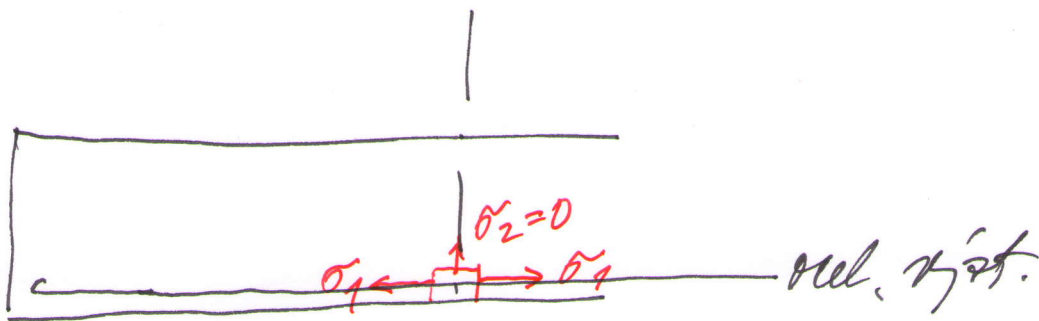
$$Q_2^l = +\frac{F}{2}$$



$$\tilde{\sigma}_x^c = \frac{M_y}{I_y} \cdot z = \frac{\frac{1}{4} Fl}{\frac{1}{12} bh^3} \cdot \frac{h}{2} = \frac{3}{2} \frac{Fl}{bh^2}$$

$$\tilde{\epsilon}_{xz}^c = 0$$

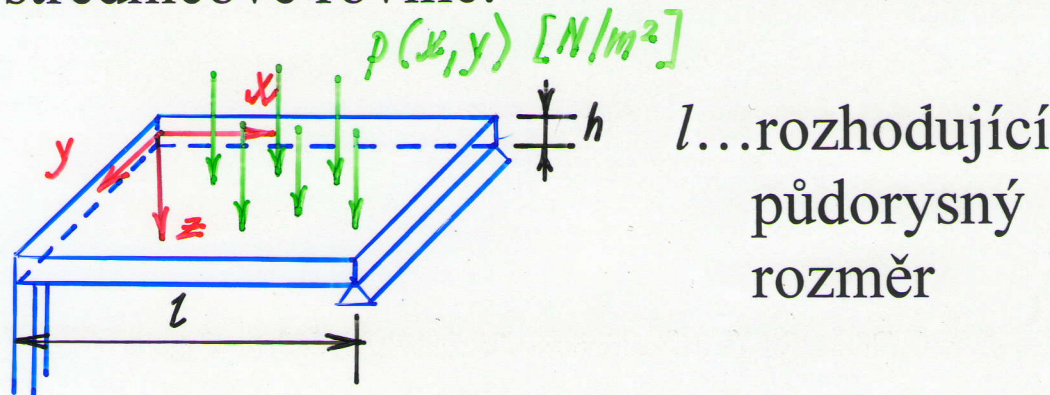
$$\tilde{\sigma}_{12} = \frac{\frac{3}{2} \frac{Fl}{bh^2}}{2} \pm \sqrt{\left(\frac{\frac{3}{2} \frac{Fl}{bh^2}}{2}\right)^2 + \vartheta} = \begin{cases} \frac{3}{2} \frac{Fl}{bh^2} = \tilde{\sigma}_1 \\ \vartheta = \tilde{\sigma}_2 \end{cases}$$



$$\tilde{\sigma}_1^c = \tilde{\sigma}_x^c$$

DESKY

Rovinné konstrukce zatížené kolmo ke střednicové rovině.



Tenké desky – Kirchhoffova teorie

$$\text{kritérium: } \frac{1}{100} \leq \frac{h}{l} \leq \frac{1}{10}$$

Pozn. tlusté desky $\frac{h}{l} \geq \frac{1}{10}$ (Mindlinova teorie)

membrány $\frac{h}{l} \leq \frac{1}{100}$ (nepřenášeji
ohybové účinky)

Kirchhoffovy předpoklady:

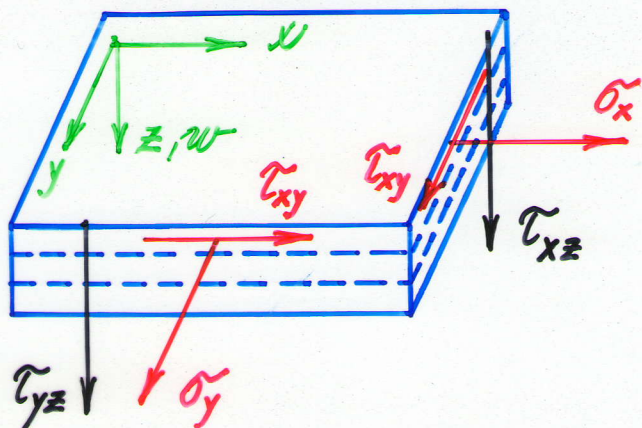
- 1) Normály ke střednicové rovině přejdou po deformaci opět v normály k deformované střednicové ploše. Vzdálenost bodů na normále se nemění.

$$2) \sigma_z = 0$$

Řeší se algoritmem deformační metody:

- neznámá... funkce průhybu $w(x)$
- výchozí rovnice... podmínky rovnováhy

Vrstvičkový model



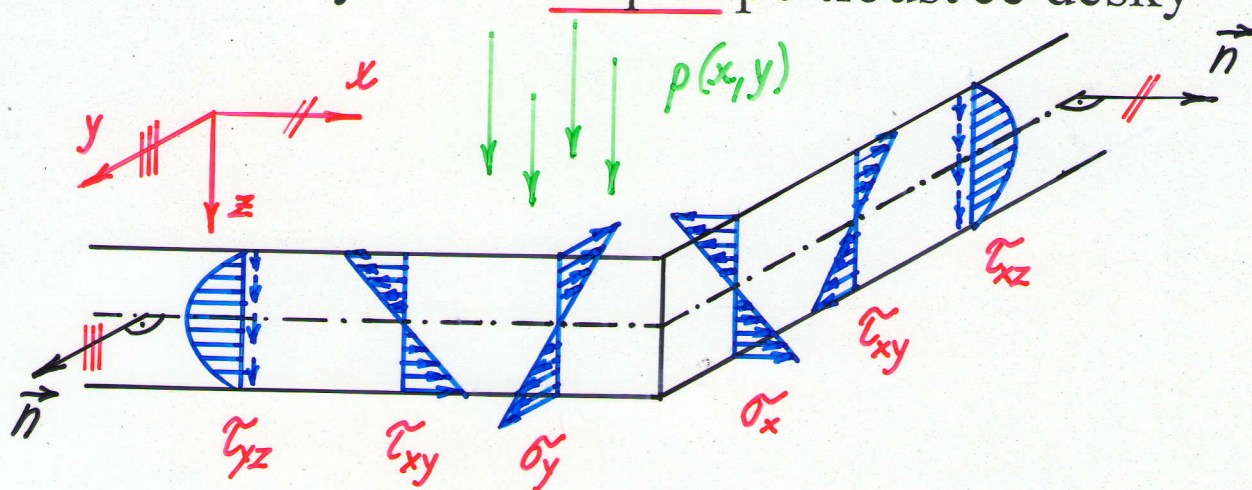
V každé vrstvě vzniká rovinná napjatost

$$\sigma_x, \sigma_y, \tau_{xy}$$

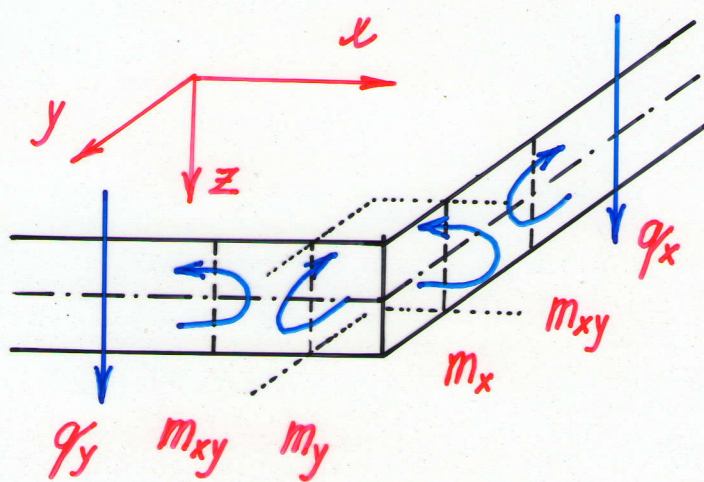
spolupůsobení vrstev zajistí

$$\tau_{xz}, \tau_{yz}$$

- Průběhy složek napětí po tloušťce desky



- Odpovídající měrné vnitřní síly (vztažené na 1m délky svislého řezu):



Význam indexů:

$$\left. \begin{aligned} m_x &= \int_{-h/2}^{h/2} \sigma_x z dz \\ m_y &= \int_{-h/2}^{h/2} \sigma_y z dz \\ m_{xy} &= \int_{-h/2}^{h/2} \tau_{xy} z dz \\ q_x &= \int_{-h/2}^{h/2} \tau_{xz} dz \\ q_y &= \int_{-h/2}^{h/2} \tau_{yz} dz \end{aligned} \right\} \begin{aligned} \frac{Nm}{m} &= N \\ \left[\frac{N}{m} \right] & \quad \left[\frac{N}{m} \right] \end{aligned}$$

- Z podmínek rovnováhy deskového elementu vyplývá desková rovnice:

$$\Delta\Delta w = \frac{P}{D}$$

$$D = \frac{Eh^3}{12(1-\nu^2)} \text{ [Nm]}$$

$p(x, y)$...funkce zatížení D ... desková tuhost

Vztah mezi měrnými vnitřními silami a funkcí průhybu $w(x,y)$:

$$m_x = -D \left(\frac{\partial^2 w}{\partial x^2} + \nu \frac{\partial^2 w}{\partial y^2} \right)$$

$$m_y = -D \left(\frac{\partial^2 w}{\partial y^2} + \nu \frac{\partial^2 w}{\partial x^2} \right)$$

$$m_{xy} = -D(1 - \nu) \left(\frac{\partial^2 w}{\partial x \partial y} \right)$$

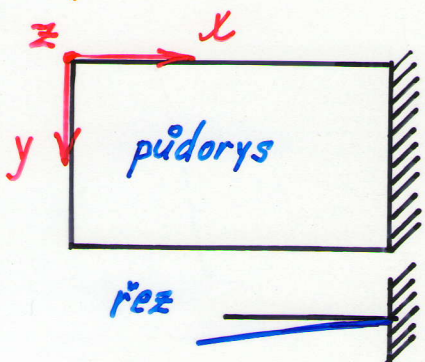
$$q_x = -D \frac{\partial}{\partial x} (\Delta w)$$

$$q_y = -D \frac{\partial}{\partial y} (\Delta w)$$

Okrajové podmínky

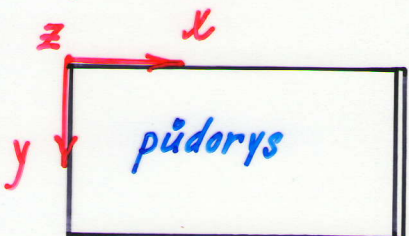
Na každém okraji lze splnit 2 podmínky (vzhledem ke 4. řádu diferenciální rovnice):

- vetknutí

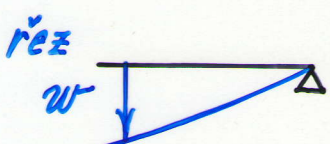


$$\begin{aligned} 1. \quad w &= 0 \\ 2. \quad \frac{\partial w}{\partial x} &= 0 \quad \left(\frac{\partial w}{\partial n} = 0 \right) \end{aligned}$$

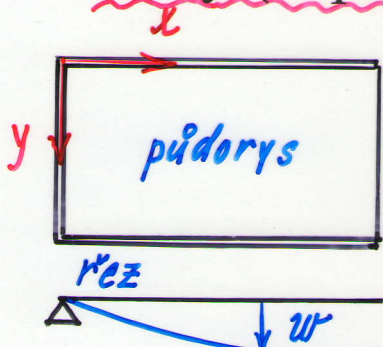
- prosté podepření (válcový kloub)



$$\begin{aligned} 1. \quad w &= 0 \\ 2. \quad m_x &= 0 \quad (m_n = 0) \end{aligned}$$



- volný (nepodepřený) okraj



$$1. \quad m_x = 0$$

$$2. \quad \left. \begin{aligned} q_x &= 0 \\ m_{xy} &= 0 \end{aligned} \right\} \bar{q}_x = q_x + \frac{\partial m_{xy}}{\partial y} = 0$$

\bar{q}_x ... doplněná (Kirchhoffova) posouvající síla

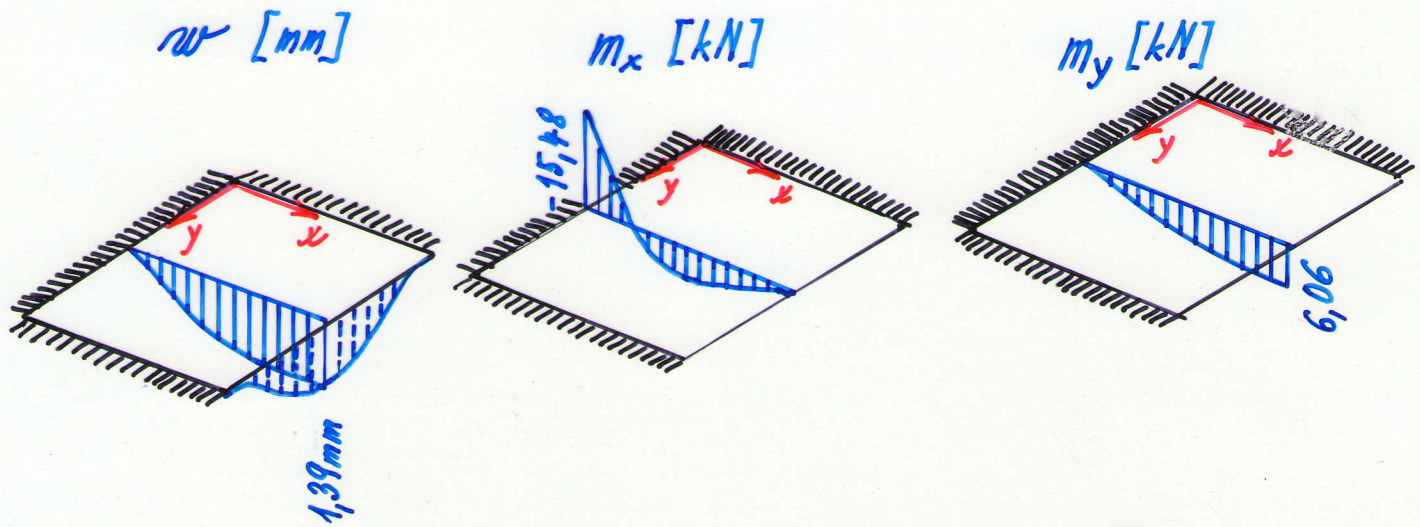
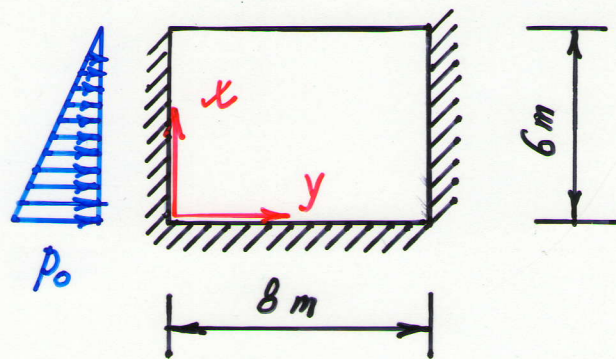
Příklad

(skriptum PP20 – příklady, J. Bittnarová a kol.)

Obdélníková deska je po třech stranách vетknutá a na jedné straně volná. Zatížení je způsobeno hydrostatickým tlakem.

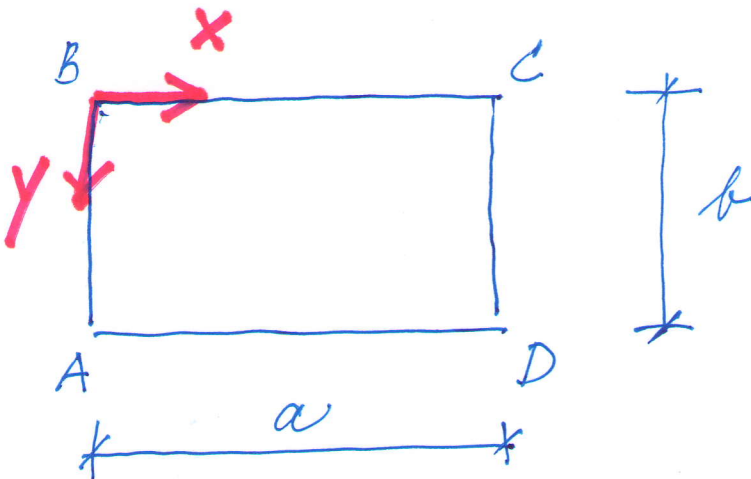
$$p_0 = 10 \text{ kNm}^{-2}, E_b = 26 \text{ GPa}, \nu = 0,2, h = 0,2 \text{ m}.$$

(Výpočet metodou konečných prvků pomocí programu FEAT 98.)



Príklad: Zjistěte způsob podeprení desky, je-li známa funkce průhybu $w(x,y)$.

$$w(x,y) = A \sin \frac{\pi x}{a} \cdot \sin \frac{\pi y}{b}$$



okraj AB: $x=0$

$w=0$?

$$w(0; y) = A \sin(0) \cdot \sin \frac{\pi y}{b} = 0 \quad \text{je podeprén}$$

jak? $(x=0)$

$$\frac{\partial w}{\partial x} = A \frac{\pi}{a} \cos \frac{\pi x}{a} \cdot \sin \frac{\pi y}{b} = A \cdot \frac{\pi}{a} \cdot 1 \cdot \sin \frac{\pi y}{b} \neq 0$$

není nulknut

je to kloak?

$$m_x = 0 \quad ? \quad m_x = -D \left(\frac{\partial^2 w}{\partial x^2} + 2 \frac{\partial^2 w}{\partial y^2} \right) = -D \frac{\partial^2 w}{\partial x^2} = 0$$

$$\frac{\partial^2 w}{\partial x^2} = A \left(\frac{\pi}{a} \right)^2 \sin \frac{\pi x}{a} \cdot \sin \frac{\pi y}{b} = 0 \quad \Rightarrow \underline{\text{kloak}}$$

$(x=0) \qquad (x=0)$

okraj BC: $y=0$

$$w=0 \quad ; \quad \frac{\partial w}{\partial y} \neq 0 \quad ; \quad \frac{\partial^2 w}{\partial y^2} = 0 \quad \Rightarrow \text{kloak}$$

okraj CD: $x = a$

$$w(a; y) = A \sin \frac{\pi a}{a} \sin \frac{\pi y}{b} = 0 =$$

$$\frac{\partial w}{\partial x} \neq 0$$

$$\frac{\partial^2 w}{\partial x^2} = 0 \quad \checkmark \rightarrow \text{klob}$$

okraj AD: $y = b$

$$w(x; b) = A \sin \frac{\pi x}{a} \cdot \sin \frac{\pi b}{b} = 0 =$$

$$\frac{\partial w}{\partial y} \neq 0$$

$$\frac{\partial^2 w}{\partial y^2} = 0 \quad \checkmark \rightarrow \text{klob}$$

